НАЦИОНАЛЬНАЯ АКАДЕМИЯ НАУК ТАДЖИКИСТАНА ИНСТИТУТ ХИМИИ ИМЕНИ В.И. НИКИТИНА НАУЧНО-ИССЛЕДОВАТЕЛЬСКИЙ ЦЕНТР ЭКОЛОГИИ И ОКРУЖАЮЩЕЙ СРЕДЫ ЦЕНТРАЛЬНОЙ АЗИИ (ДУШАНБЕ)

УДК 54.057:547

На правах рукописи

ББК 24.1+24.127+24.2 M-24

МАМАДШОЗОДА САКИНА САЛОМАТШО

СИНТЕЗ ПРОИЗВОДНЫХ 2-БРОМ -7- (ТРИФТОРМЕТИЛ)- 5- ОКСО-5*H*-1,3,4 ТИАДИАЗОЛО [3,2-А] ПИРИМИДИНА И ИХ ИНГИБИРУЮЩИЕ СВОЙСТВА В ОТНОШЕНИИ ЩЕЛОЧНЫХ ФОСФАТАЗ (АР)

ДИССЕРТАЦИЯ

на соискание учёной степени кандидата химических наук по специальности 02.00.03 – Органическая химия

> Научный руководитель: д.х.н. Сафаров Сайфидин Шахобидинович

ОГЛАВЛЕНИЕ

СПИСОК СОКРАЩЕНИЙ4
ВВЕДЕНИЕ6
ОБЩАЯ ХАРАКТЕРИСТИКА ИССЛЕДОВАНИЯ10
ГЛАВА 1. ЛИТЕРАТУРНЫЙ ОБЗОР16
1.1. Краткий обзор ключевых открытий и основных научных работ16
1.2. Исследование методов синтеза и биологической активности 5-оксо-1,3,4-
тиадиазолопиримидиновых производных17
1.3. Методы синтеза 5-оксо-1,3,4-тиадиазоло[3,2-а]пиримидинов18
1.4. Синтез 2-амино-7-метил-5Н-7-оксо-1,3,4-тиадиазоло[3,2-а]пиримидина
на основе ацетоуксусного эфира21
1.5. Реакция кросс-сочетания Сузуки, синтез гетероциклических систем31
1.6. Палладий-катализируемые реакции: синтез, механизмы и применение
в химии гетероциклов
1.7. Щелочные фосфатазы (Alkiline Phosphates AP)39
ГЛАВА 2. ЭКСПЕРИМЕНТАЛЬНАЯ ЧАСТЬ 56
2.1. Материалы и методы исследования 56
2.2. Синтез 2-бром-7-(трифторметил)-5-оксо-5H-1,3,4-тиадиазоло[3,2-
а]пиримидина
2.3. Методика синтеза 2-аминозамещенных 7-(трифторметил)-5-оксо-5H-1,3,4-
тиадиазоло[3,2-а]пиримидина (5a–n)59
2.4. Общая методика синтеза 2-арил-7-(трифторметил)-5-оксо-5H-1,3,4-
тиадиазоло[3,2-а]пиримидина (6a–t)76
ГЛАВА 3. ОБСУЖДЕНИЕ РЕЗУЛЬТАТОВ102
3.1. Ингибирующие, биологические свойства изученных гетероциклических
соединений и их молекулярный докинг102
3.2. Синтез соединения 7-(трифторметил)-5-оксо-5H-1,3,4-тиадиазоло[3,2- а]
пиримидина и исследование его ингибирующих свойств105
3.3. Влияние структуры на биологическую активность соединений119
3.4. Молекулярное моделирование взаимодействий (докинг) соединений

ба и бq	124
ВЫВОДЫ	130
Рекомендации по практическому использованию результатов	131
СПИСОК ЛИТЕРАТУРЫ	133

СПИСОК СОКРОЩЕНИЙ

АДФ – аденозиндифосфат

АМФ – аденозинмонофосфат

(АР) ЩФ- щелочные фосфатазы

Ar – арильная группа

D – дублет

δ (дельта) – химический сдвиг (в ЯМР), ppm

DMF – диметилформамид

DMSO – диметилсульфоксид

Et – этильная группа

GCAP – щелочная фосфатаза зародышевых клеток

Het – гетероцикл

Het-Ar – гетероариль

HTS – высокопроизводительный скрининг (High-Throughput Screening)

ІАР – кишечная щелочная фосфатаза

ІС50 — полумаксимальная ингибирующая концентрация

ИК – инфракрасная спектроскопия

m/z — отношение массы к заряду

M-мультиплет

Ме – метильная группа

 $\mu M-микромоль$

nBu – нормальный бутил

nPr – нормальный пропил

Ph – фенильная группа

PLAP – плацентарная щелочная фосфатаза

Q – квартет

S – синглет

SAR – соотношение структура–активность (Structure–Activity Relationship)

SEM – стандартная ошибка среднего

 cm^{-1} — волновое число (обратные сантиметры)

Т – триплет

tBu – трет-бутильная группа

TNAP – тканеспецифическая щелочная фосфатаза

т.пл. – температура плавления

ТСХ – тонкослойная хроматография

ЯМР – ядерный магнитный резонанс

ВВЕДЕНИЕ

Актуальность темы исследования. За последние два-три десятилетия усиление процессов глобализации соправождается нарастающей деградацией природных экосистем и активизацией миграционных потоков. Эти изменения способствуют возрастанию воздействие на организм человека комплекса неблагоприятных факторов как внешнего, так и внутренного происхождения. Рост заболеваний населения обусловлени совокупным действием физических, химических и биологических агентов, а также, активацией предрасположенных В патологических механизмов. результате наблюдается увелечение заболеваний распростроненности включая психические различных расстройства, сердечно-сосудистие, онкологические И инфекционные актуализировалась потологии. В сложившейся ситуации необходимость создания новых лекарственных средств, обладающих высокой эффективностью и минимальной токсичностью, которые могли бы применяться как в терапевтических, так и в диагностических целях. Это требует развития новых методов синтеза и разработки современных подходов в данной области исследований. Настоящее исследование подчёркивает ключевую гетероциклических соединений В создании фармакологических новых препаратов, которые составляют свыше 90 % всех современных лекарственных средств. Особое внимание уделено изучению механизмов их действия, что способствует углублению понимания биохимических процессов и стимулирует развитие таких научных направлений, как органическая химия и биохимия. В современной фармацевтической науке и практике ключевое значение приобретают технологии высокопроизводительного скрининга (High-Throughput Screening, HTS) и комбинаторной химии, которые позволяют ускорить процессы поиска и оптимизации биологически активных соединений, позволяют проводить масштабный анализ тысяч химических соединений в кратчайшие сроки. Благодаря этим технологиям были идентифицированы перспективные молекулы среди серо- и азотосодержащих гетероциклических структур. Полученные соединения послужили фундаментом для создания

инновационных лекарственных препаратов, часть из которых уже внедрена в клиническую практику. Современный этап развития химии в значительной степени базируется на достижениях химической науки, которая обеспечивает фундамент для создания новых фармакологических средств. Эффективная разработка лекарственных препаратов требует детального понимания химических свойств и взаимодействий между молекулами. В этом контексте особую научную ценность представляют азотсодержащие гетероциклы, в частности пиримидины. Эти соединения служат важными структурными элементами биомолекул и играют ключевую роль в регуляции биохимических процессов, происходящих в живых организмах.

Пурины - это важные органические молекулы, выполняющие ключевые функции в организме. Они необходимы для хранения и передачи генетической информации, выработки энергии и многих других процессов. Однако дисбаланс в метаболизме пуринов может привести к различным заболеваниям, таким как подагра. Понимание роли пуринов в организме является важным для современной медицины.

Индольный фрагмент представляющий собой бициклическую гетероароматическую систему, является структурным мотивом, обнаруживаемым в широком спектре биогенных молекул. К ним относятся аминокислота триптофан, фитогормон гетероауксин (индолилуксусная кислота), а также различные биологически активные триптамины и миндальные алкалоиды. Биологическая значимость индольного фрагмента обусловлена его способностью к разнообразным взаимодействиям и конформационным изменениям в структуре биомолекул.

Тиазольное ядро - структурно представляющее собой гетероциклическое соединение с атомом серы и атомом азота в пятичленном кольце, обнаруживается в ряде биогенных молекул. Тиазольное кольцо входит в состав витамина B_1 , пенициллина и фермента карбоксилазы, которые играют важную роль в метаболических и физиологических процессах. Производные тиазола,

такие как сульфатиазолы, также имеют значительное фармакологическое значение и используются в медицине как противомикробные средства.

Хиназолины также представляет собой важный класс соединений. Известные природные алкалоиды, такие как пеганин, который используется как антихолинэстеразное фебрифугин, обладающий средство, И мощным противомалярийным действием. Синтетические производные хиназолина, такие как метаквалон (психотропное средство), хинетазон (диуретик) празозин сердечно-сосудистых заболеваний) и (для лечения аналог эфавиренца (противовирусный препарат), также широко применяются в медицине.

Степень разработанности Ha научной изучаемой проблемы. гетероциклические особенности сегодняшний день соединения, азотсодержащие гетероциклы, представляют собой один наиболее изученных и востребованных классов соединений в области органической и медицинской химии, а также в фармакологии. Их высокая биологическая активность обуславливает широкое применение в качестве структурных фрагментов в составе лекарственных препаратов. В то же время, несмотря на высокий уровень разработанности направления в целом, определённые структурные классы гетероциклов остаются недостаточно охваченными В системными исследованиями. частности, производные 2-бром-7-(трифторметил)-5-оксо-5H-1,3,4-тиадиазоло[3,2-а]пиримидина И ИХ замещённые аналоги изучены ограниченно. Биологическая активность данной группы соединений, в том числе их потенциал в качестве ингибиторов щелочных фосфатаз, также остаётся недостаточно исследованной. Несмотря на значительный прогресс в изучении гетероциклических структур, область тиадиазолопиримидинов сохраняет высокую научную практическую значимость, требуя дальнейших комплексных исследований, направленных на оптимизацию методов их синтеза и выявление перспективных направлений применения в качестве биологически активных соединений.

Таким образом, химия азотсодержащих гетероциклических соединений имеет большое значение для медицины, поскольку многие из этих молекул

являются основой ДЛЯ разработки эффективных И разнообразных лекарственных препаратов. В данном фрагменте акцентируется внимание на важности созданных И сложных производных азотсодержащих гетероциклических соединений. Эти молекулы, будучи структурно схожими с веществами, демонстрируют более широкий природными диапазон биологического действия. Разнообразие их свойств делает эти производные многообещающими кандидатами для разработки новых соединений, способных влиять на физиологические процессы в организме.

Процесс аннелирования, когда разные гетероциклические структуры объединяются более В сложные, приводит образованию К поликонденсированных молекул. Эти соединения, обладающие планарной геометрией и особой электронной структурой, демонстрируют уникальные физико-химические И биологические характеристики. Комбинирование фармакофорных мотивов различной природы создаёт потенциал для получения веществ, обладающих свойствами, отличающиеся от таковых у исходных компонентов.

Таким образом, можно утверждать, что синтетические и конденсированные производные гетероциклов представляют собой ключевые молекулярные структуры для разработки новых лекарственных препаратов. Их уникальные свойства позволяют создавать лекарства, чьи характеристики выходят за рамки возможностей существующих медикаментов, открывая тем самым новые перспективы для лечения различных заболеваний.

Связь проведенного исследования с программами, проектами и научной тематикой. Проведённое исследование непосредственно связано с приоритетными научными направлениями В области медицинской химии, а также фармакологии. В частности, работа соответствует актуальным задачам, обозначенным в рамках специальности 02.00.03 отражает Органическая химия, И современные методы разработке биологически активных соединений на основе гетероциклических систем.

Создание новых производных 2-бром-7-(трифторметил)-5-оксо-5H-1,3,4-тиадиазоло[3,2-а]пиримидина и исследование их ингибирующей активности в отношении щелочных фосфатаз напрямую связано с актуальными направлениями фундаментальных и прикладных исследований.

Таким образом, данное исследование интегрируется в общенаучный контекст современных химико-фармацевтических разработок и вносит вклад в развитие методологических основ получения и оценки новых лекарственно-перспективных молекул гетероциклической природы.

Настоящая диссертационная работа представляет собой интеграцию результатов, полученных в процессе синтеза и биологического тестирования производных азотсодержащих гетероциклических соединений, с особым 2-бром-7-трифторметил-5-оксо-5H-1,3,4производные акцентом тиадиазоло[3,2-а] пиримидине. В данной работе проведена систематизация и анализ полученных данных, направленных на установление взаимосвязи между структурой и биологической активностью указанных соединений. соединения были функционализированы с целью исследования их свойств. Выбранная тема исследования «Синтез производных 2-бром-7-(трифторметил)-5-оксо-5H-1,3,4-тиадиазоло[3,2-а] пиримидина и их ингибирующие свойства в отношении щелочных фосфатаз (AP)», является как актуальной, так и Исследование выполнялось в процессе обоснованной в научном плане. реализации НИР ГНУ «Институт химии им. В.И. Никитина Национальной академии наук Таджикистана» на тему: «Синтез и исследование физикохимических свойств производных тиадиазолопиримидинов, содержащих атом фтора в шестом положении, являющихся перспективными для создания новых лекарственных средств» (номер гос. регистрации ГР 0116TJ 00546).

ОБЩАЯ ХАРАКТЕРИСТИКА ИССЛЕДОВАНИЯ

Цель исследования: разработка высокоэффективных и универсальных методов синтеза новых производных 5-оксо-1,3,4-тиадиазоло[3,2-а]пиримидина, содержащих пиримидиновое кольцо, поиск соединений с потенциальной биологической активностью.

Задачи исследования:

- 1. Проведение молекулярного докинга синтезируемых структур с целевыми ферментами для прогнозирования их пространственной ориентации и локализации в активных центрах, способствующей формированию стабильных лиганд-ферментных комплексов.
- 2. Разработка и совершенствование новых подходов к синтезу недостаточно изученных тиадиазолопиримидиновых скаффолдов с целью повышения эффективности и воспроизводимости методов их получения с наибольшем выходом.
- 3. Комплексное исследование биологической активности полученных соединений, зависимости их биологических свойств от структуры молекул, проведение биотестирования для определения их потенциальной фармакологической ценности.
- 4. Оценка эффективности предложенных методов синтеза и углублённого анализа результатов по синтезу и биологическим свойствам производных тиадиазолопиримидинового ряда, разработка рекомендаций по практическому применению перспективных экологически чистых соединений на основе данного скаффолда.

Объектами исследования являются синтезируемые производные 2бром-7-(трифторметил)-5-оксо-5H-1,3,4-тиадиазоло[3,2-а]пиримидина, включая амин- и арилзамещённые соединения; молекулярные модели ферментов семейства щелочных фосфатаз, используемые в качестве биологических мищеней для in vitro оценки ингибирующей активности; структуры лигандов и комплексов лиганд-мищень, полученные в результате молекулярного докинга.

Предметом исследования являются выявление закономерностей синтеза, особенностей, структурных электронных a также потенциальной биологической активности новых азотсодержащих гетероциклических 2-бром-7-(трифторметил)-5-оксо-5H-1,3,4соединений на основе тиадиазоло[3,2-а]пиримидина. Детально исследовано влияние различных аминных и арильных заместителей в положении 2 изученного гетероцикла на пространственную организацию и способность к ингибированию ферментов семейства щелочных фосфатаз. Предметом исследования также являются методы молекулярного моделирования (докинг) для установления зависимостей структуры исследуемых соединений и активными центрами целевых ферментов. Анализ полученных теоретических данных позволит выявить ключевые факторы, определяющие прочность и селективность взаимодействий лиганд-мищень. Это имеет большое значение для дальнейшей направленной модификации и оптимизации структуры соединений.

Методы исследования. В работе использован комплексный подход, включающий синтез новых производных тиадиазолопиримидина на основе реакций Сузуки-Мияуры и нуклеофильного замещения. Структура и чистота соединений исследованы методами ЯМР, ИК-спектроскопии, хромато-масс-спектрометрии и ВЭЖХ/ГХ, а биологическая активность определенна с помощью молекулярного докинга и in vitro скрининга.

Научная новизна исследования.

- 1. Впервые получен ряд из 34 новых производных 2-бром-7-трифторметил-5-оксо-5H-1,3,4-тиадиазоло[3,2-а]пиримидина, включающих амин- и арил-замещенные структуры.
- 2. Разработаны оптимальные условия наиболее эффективной методики получения 2-арилзамещенных тиадиазолпиримидинов, основанных на применении 2-бром-7-трифторметил-5H-5-оксо-1,3,4-тиадиазоло[3,2-а] пиримидина в качестве ключевого интермедиата, обеспечивающего высокие выходы целевых продуктов.
- 3. Впервые в исследованной гетероциклической системе применена реакция нуклеофильного ароматического замещения (S_nAr) на использованном интермедиате, что значительно расширяет синтетические возможности и количество вариантов базисных взаимодействий.
- 4. Структура полученных впервые органических соединений доказана с использованием комплекса современных физико-химических методов: масс-спектрометрии, ИК и ЯМР спектроскопий (¹H, ¹³C и ¹⁹F), что

обеспечивает высокий уровень достоверности и воспроизводимости эксприментальных результатов.

Теоретическая И практическая значимости исследования. При разработке оптимальных условий получения 34 новых соединений амин- и зависимости условий синтеза арилпроизводных, OT теоретические основы формирования указанных гетероциклических систем. Определённые базисные параметры: состав, пространственная структура полученных соединений, биологическая активность и возможная область применения составляет широкий спектр теоретических данных по тематике диссертационной работы. Исследование имеет большую практическую значимость, т.к полученные впервые соединения могут быть основой новых, эффективных лекарственных средств без побочного действия. Кроме того, они способствовать адресной доставке препаратов. По результатом проведенных исследований можно создать библиотеку новых перспективных соединений-кандидатов для разработки лекарственных средств, направленных на лечение патологий, ассоциированных с повышенной активностью щелочных фосфатаз (заболевания костей, онкологические другие патологии). Разработанные методики синтеза могут быть использованы при тонком органическом синтезе, а также выполнении дипломных, магистерских, кандидатских, и докторских научно-исследовательскоих работ. Предложенные основы синтеза гетероциклических соединений могут быть использованы в образовательном процессе при чтении лекций и проведение лабораторных занятий.

Положения, выносимые на защиту:

- 1. Разработанные и экспериментально обоснованные эффективные методики синтеза производных 2-бром-7-(трифторметил)-5-оксо-5H-1,3,4-тиадиазоло[3,2-а]пиримидина обеспечивающие высокий выход целевых соединений и упрощённые условия получения;
- 2. Установленные структурно-активностные зависимости (SAR) для амин- и арил-замещённых производных тиадиазолопиримидинов, характеризующие

- влияние замещений на ингибиторную активность в отношении щелочных фосфатаз;
- 3. Результаты проведённого молекулярного докинга синтезированных соединений с активными центрами щелочных фосфатаз, выявленные ключевые взаимодействия, определяющие связывание и потенциал ингибирования ферментов;
- 4. Обоснованная перспективность тиадиазолопиримидиновых структур как основы для разработки новых ингибиторов щелочных фосфатаз.

Степень достоверности результатов подтверждается тем, что структуры всех целевых соединений и ключевых интермедиатов определены с помощью полного спектрального анализа (¹H-, ¹³C-, ¹9F-ЯМР, ИК-спектроскопии), хромато-масс-спектрометрии и элементного анализа (CHNS). Чистота соединений подтверждена методами ВЭЖХ/ГХ.

Соответствие диссертации паспорту научной специальности. Основные диссертационного результаты исследования соответствуют требованиям паспорта специальности 02.00.03 – Органическая химия и охватывают положения пунктов 1, 2, 3, 4, 5 и 7 (п.1. Выделение и очистка новых соединений; п.2, 3. Синтез и изучение органических соединений и их производных; п.4. Создание новых методов установления структуры молекулы; Выявление закономерностей типа «структура – свойство» и п.7. Моделирование структур и свойств биологически активных веществ).

ученой Личный соискателя вклад степени проведение исследования заключается в самостоятельной постановке научной работы, формулировании цели и задач, а также в проведении всего комплекса экспериментальных и аналитических работ. Автором лично разработаны и эффективные 2-бром-7реализованы методы синтеза производных (трифторметил)-5-оксо-5H-1,3,4-тиадиазоло[3,2-а]пиримидина, выполнена оптимизация условий протекания реакций. Результаты исследования обобщены и интерпретированы автором, подготовлены научные публикации и оформлен текст диссертационной работы.

Апробация и реализация результатов диссертации. Апробация основных была езультатов диссертационного исследования осуществлена Международном симпозиуме по инновационному развитию науки (Душанбе, 2020); Международных научно-практических конференциях, посвящённых роли женщин-учёных в развитии науки, инноваций и технологий (Душанбе, 2020 и Гулистан, 2021); Международной научно-практической конференции по развитию химической науки И eë применения (Душанбе, 2021); научно-практической конференции, посвящённой Международной перспективам развития исследований в области химии координационных соединений (Душанбе, 2022); Международной научно-практической конференции «Роль искусственного интеллекта в промышленности, энергетике, строительстве, транспорте, медицине, сельском хозяйстве, цифровизации экономики инновационном развитии Таджикистана», посвящённой объявлению 2025–2030 годов «Годами развития цифровой экономики и 2025); инноваций» Куляб, Международной научно-практической конференции «Большие данные и искусственный интеллект в развитии науки, промышленности и общества» (Куляб, 2025).

Публикации по теме диссертации. По результатам диссертации опубликовано 14 научных трудов, из них 7 статей в рецензируемых научных журналах, изданиях, рекомендуемых ВАК при Президенте Республики Таджикистан, 7 тезисах докладов на Международных и Республиканских научных конференциях.

Объём и структура диссертации. Данное диссертационное исследование, представленное в объёме 157 страниц компьютерного набора, охватывает все необходимые аспекты и имеет следующую структуру: введение, обзор литературы, экспериментальную часть, обсуждение результатов, выводы. Текст иллюстрирован 31 схемой, 7 рисунками и 5 таблицами. Библиографический список включает 184 источника.

ГЛАВА 1. ЛИТЕРАТУРНЫЙ ОБЗОР

1.1. Краткий обзор ключевых открытий и основных научных работ

Исследования в области химии 2-бром-7-(трифторметил)-5H-5-оксо-1,3,4тиадиазоло[3,2-а] пиримидина получили значительное развитие благодаря обнаружению широкого спектра биологически активных соединений среди производных азотсодержащих гетероциклов. Обширный ЭТИХ массив публикаций, включая обзоры и монографии ведущих специалистов [1-4, 6-9, 28, 61], посвящён химии и биологической активности этих соединений. В связи с изложенным, в рамках настоящего обзора представляется уместным кратко осветить основные особенности строения, химических свойств и методов рассматриваемых гетероциклических соединений. синтеза Литературные отдельные гетероциклических данные, охватывающие группы данных соединений, представляют собой важную теоретическую основу проведения научных исследований в области органического синтеза и химии публикаций, Анализ посвящённых гетероциклов. различным получения, модификации и структурной характеристике азотсодержащих гетероциклов, позволяет выявить общие закономерности в их химическом поведении, реакционной способности и спектральных свойствах. Особое внимание уделяется современным направлениям в синтезе таким, как каталитические, многостадийные экологически безопасные И методы, обеспечивающие получение целевых продуктов с высокой селективностью и выходом. Изучение физико-химических характеристик и структуры известных соединений создаёт предпосылки для обоснованного выбора реагентов, условий реакции и методов очистки, что в дальнейшем способствует разработке рациональных подходов к конструированию и синтезу новых производных с заданными свойствами. Таким образом, систематизация и анализ литературных данных становятся необходимым этапом, обеспечивающим научную обоснованность экспериментальных исследований и направленным на создание перспективных азотсодержащих структур потенциальной биологической или функциональной активностью.

1.2. Исследование методов синтеза и биологической активности 5-оксо-1,3,4-тиадиазолопиримидиновых производных

Разработка новых лекарственных препаратов, средств защиты растений и регуляторов их роста является одной из приоритетных задач современной органической химии, и в частности, химии гетероциклических соединений. На сегодняшний день большинство новых лекарственных средств представляют собой производные гетероциклических систем. В этом контексте, 5-оксо-1,3,4тиадиазоло[3,2-а] пиримидин, как представитель этого класса соединений, привлекает значительное внимание благодаря широкому спектру биологической активности, подтверждённому многочисленными исследованиями [5, 13, 43, 61, 62, 77, 95, 133, 155-158]. Соединение I было выделено в качестве перспективного соединения для разработки ингибиторов карбоангидразы, обладающих потенциалом применения при терапии глаукомы [61,62,77]. Производные II [13] и III [14] проявили различную биологическую активность, выступая, соответственно, В эффективных качестве герметизирующих агентов и ингибиторов бактериального роста. В то же время, соединение IV продемонстрировало выраженное противоопухолевое действие, проявляемое в отношении клеток асцитной карциномы (линии Е) и опухолей молочной железы у мышей, достигая степени ингибирования до 99% при введении в дозе 10 мкг. Кроме того, наблюдалось угнетение пролиферации эмбриональных легочных фибробластов крысы (RFL) на 98% при аналогичной концентрации [156-158]. В целях выяснения молекулярных основ высокой противоопухолевой активности соединения IV был проведён ряд исследований ПО взаимодействию c различными биологически значимыми низкомолекулярными соединениями, включая спирты, амины, L-цистеин, а (ДНК И РНК). Установлено, нуклеиновые кислоты также взаимодействии с L-цистеином происходит замещение сульфонилэтильной группы ($-SO_2C_2H_5$) на функциональную группу HOOC(CHNH₂)CH₂S-, в то время как при обработке спиртами на соответствующую алкоксигруппу (-OR, где R = CH₃, C₂H₅). Изучение биологической активности образующегося

производного LC VI показало его способность ингибировать ДНК-зависимую РНК-полимеразу, выделенную из клеток. При этом установлено, что ингибирование происходит независимо от наличия нуклеозидтрифосфатов (НТФ) и сохраняется после процедуры диализа, что указывает на прочную и специфичную связь с мишенью.

Эти результаты позволяют предположить, что IV оказывает непосредственное воздействие на фермент, а не конкурирует с НТФ. Предполагается, что реакционная активность, наблюдаемая в положении 2 соединения IV, может быть ключевым фактором, определяющим его биологическую активность. Это явление, вероятно, обусловлено уменьшением электронной плотности в данной позиции, что способствует повышению его реакционной способности [156-158].

Схема 1.1. - Синтез и функционализация производных 5-оксо-5H-1,3,4-тиадиазоло[3,2-а]пиримидина

1.3. Методы синтеза 5-оксо-1,3,4-тиадиазоло[3,2-а] пиримидина

Первый эффективный метод получения 5-оксо-1,3,4-тиадиазоло[3,2-а] пиримидинового ядра был разработан Алленом и соавторами в 1959 году. В основе предложенного подхода лежала конденсация производных 2-амино-5R-1,3,4-тиадиазола с этоксиметиловым эфиром малоновой кислоты [5]. Данный метод заложил основу для дальнейшего развития синтетических стратегий, направленных на модификацию и функционализацию указанного гетероциклического ядра.

$$R \xrightarrow{N-N}_{N}_{N}_{H_2} + H_3CO \underbrace{COOC_2H_5}_{COOC_2H_5} \xrightarrow{H_5C_2COO}_{N}_{N} \xrightarrow{N}_{N}$$

Схема 1.2. - Циклоконденсация 2-амино-1,3,4-тиадиазолов с этоксиметиловым эфиром малоновой кислоты, приводящая к образованию 5-оксо-1,3,4-тиадиазоло[3,2-а]пиримидинов

В процессе воспроизведения метода синтеза соединения VII, предложенного в работе [5], Левин с коллегами 1964 г. выделили промежуточный продукт VIa, который в ходе последующей циклизации преобразуется в целевое соединение VII. Авторы также установили, что для получения конденсированных аналогов требуются более жёсткие реакционные условия [5]. Этот химический путь впоследствии был предметом исследований и в ряде других научных работ [133, 52].

R = H, Алкилы

Схема 1.3. - Синтез производных 5-оксо-1,3,4-тиадиазоло[3,2-а] пиримидина (VII)

В ранних работах, посвящённых синтезу 7-оксо-1,3,4-тиадиазоло [3,2-а]пиримидинов (X), в качестве исходного соединения применялся доступный 3-амино-6-метил-4(3H)-оксо-2(1H)-пиримидинтион (также известный как 3-амино-6-метил-2-тиоурацил, VIII), который стал объектом систематического исследования в работах Тсуи и соавторов. В этих исследованиях были предложены различные подходы к синтезу указанных гетероциклов на основе соединения VIII с использованием различных реакционных условий [166, 167, 164]. Среди исследованных направлений конденсация 3-амино-6-метил-2-тиоурацила с производными пиразола в присутствии тиосемикарбазида и

ацетоуксусного эфира в среде алкоголята натрия. Также изучалась реакция тиосемикарбазона ацетона с дикетеном в уксусной кислоте с последующим этапом гидролиза. Кроме того, было установлено, что при нагревании с кислотой 3-амино-6-метил-2-тиоурацил муравьиной образует формилпроизводные, которые при воздействии оксихлорида фосфора 7-метил-5H-7-оксо-1,3,4-тиадиазоло[3,2-а]пиримидин трансформируются В [166, 167].

$$\begin{array}{c} \text{CH}_3\text{COCH}_2\text{COOC}_2\text{H}_5 \\ + \\ \text{NH}_2\text{NHNHSNH}_2 \\ + \\ \text{H}_3\text{C} \\ \times \\ \text{X} \end{array} \begin{array}{c} \text{H}_2\text{C} = \begin{array}{c} \text{O} \\ \text{O} \\ \text{N} \\ \text{N$$

Схема 1.4. - Многоступенчатый синтез 7-оксо-1,3,4-тиадиазоло[3,2-а]пиримидина из 3-амино-6-метил-2-тиоурацила

В последующих работах те же исследователи продемонстрировали возможность получения 7-метил-5H-7-оксо-1,3,4-тиадиазоло[3,2-а]пиримидина путём термической обработки 3-формимидо-6-метил-2-тиоурацила с этилортоформиатом. Кроме того, было установлено, что взаимодействие натриевой соли указанного формимидопроизводного (IX) с цианогенбромидом приводит к образованию 2-амино-7-метил-5H-7-оксо-1,3,4-тиадиазоло[3,2-а]пиримидина (XI). Альтернативный синтетический путь включал обработку 3-формимидо-6-метил-2-тиоурацила дисульфидом углерода в щелочной среде (гидроксид калия), что приводило к образованию 2-меркапто-7-метил-5H-7-оксо-1,3,4-тиадиазоло[3,2-а]пиримидина (XII).

Схема 1.5. - Синтез 2-меркапто-7-метил-5H-7-оксо-1,3,4тиадиазоло[3,2-а]пиримидина (XII).

В работе [125] рассматриваются различные подходы к синтезу производных 1,3,4-тиадиазоло[3,2-а] пиримидина, включая подробный анализ методологических аспектов их получения. Особое внимание уделено синтезу 2-амино-7-метил-5H-7-оксо-1,3,4-тиадиазоло[3,2-а] пиримидина (XI) с применением ацетоуксусного эфира и дикетена в качестве реагентов. Представленные методики демонстрируют высокую эффективность формирования указанных гетероциклических систем и представляют интерес для дальнейшего развития органического синтеза, в том числе в контексте поиска новых биологически активных соединений.

1.4. Синтез 2-амино-7-метил-5Н-7-оксо-1,3,4-тиадиазоло [3,2 а] пиримидина на основе ацетоуксусного эфира

Одним из эффективных подходов к построению 1,3,4-тиадиазоло[3,2-а] пиримидинового фрагмента его синтез использованием является ацетоуксусного эфира. В частности, реакция между 2,5-диамино-1,3,4-(XIII) собой тиадиазолом И ацетоуксусным эфиром представляет 2-амино-7-метил-5H-7-оксо-1,3,4перспективный ПУТЬ получения тиадиазоло[3,2-а] пиримидина (XI). Проведение этой реакции в горячем этаноле приводит к образованию целевого продукта с выходом около 19%, что указывает на необходимость оптимизации условий. При выдерживании реагентов в метаноле в течение продолжительного времени (несколько месяцев) выход увеличивается до 54 %, что, вероятно, связано с более полной реализацией реакции за счёт пролонгированного контакта исходных веществ. Наиболее высокий выход (до 90 %) достигается при безрастворной активации нагревании смеси реагентов без участия растворителя. Это подчёркивает важность термического фактора и указывает на потенциальные преимущества безрастворных методик в синтезе подобных гетероциклических систем. Кроме того, выбор среды влияет не только на выход, но и на чистоту целевого продукта. В условиях этанольного или метанольного раствора возможно образование побочных продуктов за счёт взаимодействия промежуточных соединений с растворителем. Напротив, реакция в отсутствие растворителя способствует более направленному протеканию синтеза и минимизации побочных процессов.

Таким образом, ацетоуксусный эфир, применённый в качестве реагента, проявил высокую синтетическую ценность. и может быть успешно применено для получения широкого спектра производных тиадиазолопиримидинов, обладающих потенциальной биологической активностью.

Реакция с дикетеном. В качестве альтернативного подхода к синтезу 2амино-7-метил-5H-7-оксо-1,3,4-тиадиазоло[3,2-а]пиримидина (XI) предложено дикетена. Реакция 2,5-диамино-1,3,4-тиадиазола (XIII) с использование количеством дикетена в водной среде при комнатной эквимолярным температуре приводит к образованию промежуточного соединения, которое было идентифицировано как 5-амино-2-имино-3-ацетоацетил-1,3,4-тиадиазол образованию (XIII b). Этот метод предоставляет новый ПУТЬ функционализированных производных, что может быть полезно дальнейшего расширения библиотеки тиадиазолопиримидиновых соединений, обладающих возможными биологическими свойствами. Для превращения XIII b в конечный продукт XI было использовано нагревание в воде или в смеси диметилформамида (ДМФ) с водой в течение 30 минут, что привело к количественному образованию XI. Это демонстрирует эффективность реакции в воде или при использовании полярных растворителей, таких как ДМФ, для преобразования промежуточных соединений в целевые. Таким образом, для синтеза 2-амино-7-метил-5H-7-оксо-1,3,4-тиадиазоло[3,2-а]пиримидина (XI) могут быть использованы два основных подхода:

- Реакция с ацетоуксусным эфиром, где оптимизация времени реакции и температуры значительно влияет на выход целевого продукта (до 90 %).
- Реакция с дикетеном, которая требует эквимолярного соотношения реагентов и завершается количественным образованием целевого продукта при нагревании в воде или смеси растворителей. Эти методы открывают пути для синтеза других производных тиадиазолопиримидинов, а также могут быть полезны для разработки более эффективных синтетических стратегий в органической химии.

Схема 1.6. - Синтез 2-амино-7-метил-5Н-7-оксо-1,3,4-тиадиазоло [3,2 а] пиримидина на основе ацетоуксусного эфира

В исследовании, проведённом авторами [119], рассмотрена реакция 2-амино-5-замещённых 1,3,4-тиадиазолов (V) с β - кетоэфирами, направленная на получение 2,7-замещённого 5H-5-оксо-1,3,4-тиадиазоло[3,2-а] пиримидина (XV). Этот подход представляет собой важный шаг в разработке новых производных тиадиазолопиримидина с изменённой структурой, что может расширить возможности их дальнейшего применения в различных областях, включая биомедицину и фармацевтику. Реакция с β - кетоэфирами в среде

полифосфорной кислоты (ПФК). В исследовании, проведённом авторами, 2,7-замещённых 5Н-5-оксо-1,3,4-тиадиазоло[3,2-а] показано, что синтез (XV) быть эффективно осуществлён пиримидинов может путём взаимодействия 2-амино-5-замещённых 1,3,4-тиадиазолов (V) с β-кетоэфирами в присутствии полифосфорной кислоты (ПФК). Этот метод позволяет получить целевые соединения с высоким выходом, что может быть полезно для дальнейшего исследования их биологической активности и применения в химии органических соединений. Данный метод обеспечивает эффективное замыкание цикла и формирование целевых гетероциклических структур, что подтверждает его применимость для синтеза производных тиадиазоло[3,2-а] пиримидинов. Использование ПФК в качестве реакционной среды способствует повышению выхода целевых соединений и упрощает процесс их выделения. В альтернативном варианте эксперимента, реакция 2-амино-5-замещённых 1,3,4тиадиазолов (V) с ацетоуксусным эфиром была проведена в толуоле с использованием каталитического количества моногидрата паратолуолсульфоновой кислоты. В результате реакции была получена смесь продуктов, включающая этиловый эфир 3-[(1,3,4-тиадиазол-2-иламино)]-2бутеновой кислоты (XIVb) и целевой продукт 5H-5-оксо-1,3,4-тиадиазоло[3,2-а] пиримидина (XVf). Этот метод позволяет эффективно синтезировать 5H-5оксо-1,3,4-тиадиазоло[3,2-а] пиримидины с использованием ацетоуксусного эфира в качестве важного реагента. Продукты реакции включают следующие XIVb этиловый эфир 3-[(1,3,4-тиадиазол-2-иламино)]-2соединения: бутеновой кислоты, который образуется наряду с основным продуктом и XVf -5Н-5-оксо-1,3,4-тиадиазоло[3,2-а] пиримидин, являющийся целевым продуктом реакции. На основе полученных данных можно сделать вывод, что реакция 2амино-5-замещённых 1,3,4-тиадиазолов β-кетоэфирами \mathbf{c} (например, ацетоуксусным эфиром) в присутствии полифосфорной кислоты или в толуоле добавлением паратолуолсульфоновой представляет собой кислоты эффективный метод синтеза 2,7-замещённых 5H-5-оксо-1,3,4-тиадиазоло[3,2а]пиримидинов и их производных. Этот метод демонстрирует высокую

селективность и хороший выход целевых соединений, что делает его перспективным для дальнейшего применения в органическом синтезе.

Схема 1.7. - Синтез 2,7-замещённых 5H-5-оксо-1,3,4-тиадиазоло[3,2-а] пиримидинов из 2-амино-5-замещённых 1,3,4-тиадиазолов с использованием β-кетоэфиров

Синтез производных 2-R-7-оксо-1,3,4-тиадиазоло[3,2-а] пиримидина был подробно изучен группой исследовалей под руководством Шукурова С.С. и Куканиева М.А [2, 144, 145, 81]. В их работах рассматривалась реакция 2-R-5амино-1,3,4-тиадиазолов ацетоуксусным эфиром присутствии полифосфорной кислоты (ПФК) при температуре 120-130 °C. Целевой продукт (XVI) был получен с выходом 80-85 %, что подтверждает высокую эффективность предложенного метода. Этот подход существенно расширяет 2-замещённых-5-оксо-1,3,4-тиадиазоло[3,2-а] возможности синтеза новых пиримидина, предлагая перспективные пути для разработки соединений с возможными фармакологическими свойствами. Целевой продукт (XVI) получают в результате реакции 2-R-5-амино-1,3,4-тиадиазола с ацетоуксусным эфиром в присутствии полифосфорной кислоты (ПФК) при температуре 120-130 0 С. Этот процесс приводит к образованию 2-R¹-7-оксо-1,3,4-тиадиазоло[3,2а] пиримидина с выходом 80-85 %, который служит важным промежуточным соединением в дальнейшем синтезе функционализированных производных. Для получения различных производных 2-замещённых-5-оксо-1,3,4-тиадиазоло[3,2-

а] пиримидина использовалась реакция электрофильного замещения. В частности, бромирование целевого продукта (XVI) проводилось с применением молекулярного брома в уксусной кислоте, а нитрование с помощью концентрированной азотной кислоты в присутствии 20 %-го олеума. Для введения фтора в молекулу и получения фторзамещённых производных (XVI → XVII) использовались соответствующие кетоэфиры. Хлор или бром в составе хлорметильной группы на позиции 2 (XVI — XIX) легко подвергаются нуклеофильному замещению с участием различных агентов, таких как алкоксиды, аминокислоты или спирты. При этом галоген или нитрогруппа на позиции 6 остаются неизменными, что позволяет избирательно модифицировать 2. Такой только позицию подход открывает новые 2-замещенных-5-оксо-1,3,4-ДЛЯ производных возможности синтеза тиадиазоло[3,2-а] пиримидинов c разнообразными функциональными группами. Эти новые соединения могут найти применение в различных областях, создание новых фармацевтических включая препаратов, агрохимикатов и материалов с полезными свойствами. Разработанные методы синтеза и функционализации 2-R-7-оксо-1,3,4-тиадиазоло[3,2-а] пиримидинов открывают новые перспективы в органическом синтезе, материаловедении и химии биологически активных соединений применения ДЛЯ В фармацевтической и агрохимической промышленности.

Схема 1.8. - Синтез производных 2-R-7-оксо-1,3,4-тиадиазоло[3,2-а] пиримидина

В 1971 году Пилграм и его коллеги [128] впервые опубликовали информацию о синтезе 7-оксо-1,3,4-тиадиазоло[3,2-а] пиримидина (XXI). Это соединение было получено в результате циклоконденсации 2,3-дихлоро-N-5[5-(метилтио)-1,3,4-тиадиазоло-2-ил]-ацетиламида (XX) при кипячении в тетрагидрофуране.

Схема 1.9. - Синтетические пути к 7-оксо-1,3,4-тиадиазоло[3,2-а] пиримидину и его производным

В указанный период Окабе с соавторами [119, 165] разработали альтернативный подход к синтезу 7-оксо-1,3,4-тиадиазоло[3,2-а] пиримидина использующую дикетен или ацетоацетат для реакции с 2-амино-1,3,4-тиадиазолом. Реакция с дикетеном проводилась в кипящем бензоле, а взаимодействие с ацетоуксусным эфиром в присутствии натриевого метилата в безводном метаноле, который также подвергался кипячению. В результате образовывался промежуточный продукт XXI 2-ацетоацетиламино-1,3,4-

тиадиазол с приемлемым выходом. После проведения циклизации этого промежуточного соединения XXI в серной или полифосфорной кислоте был целевой 2R-5-метил-7-оксо-7H-1,3,4-тиадиазоло[3,2-а] получен продукт пиримидин (XXII) с высокой эффективностью. Этот подход демонстрирует высокую гибкость И практическую ценность ДЛЯ синтеза сложных гетероциклических структур, что способствует его применению в дальнейших исследованиях органической химии.

Схема 1.10. - Синтез 2R-5-метил-7-оксо-7H-1,3,4-тиадиазоло[3,2-а] пиримидин (XXII)

В работе Шафеи А. с соавторами [140] был предложен способ синтеза соединения XXII, основанный на реакции 2-амино-1,3,4-тиадиазола с производными пропионовой кислоты ($R^1 = H$) или ацетиленовыми дикарбоксилатами ($R^1 = COOCH_3$) в метанольной среде, что обеспечивало образование целевого соединения с высоким выходом.

$$R^{1}C \equiv CCOOC_{2}H_{5}$$

$$V$$

$$XXII$$

$$XXII, e, R^{1} = H, R = H$$

$$f, R^{1} = COOC_{2}H_{5}, R = CH_{3}$$

Схема 1.11. - Синтез 7-оксо-1,3,4-тиадиазоло[3,2-а]пиримидина (XXII) из 2-амино-1,3,4-тиадиазола

В другом исследовании [90] был предложен альтернативный метод синтеза соединения XXII с использованием новых подходов к конденсации. В этом случае реакция проводилась с участием 2-амино-1,3,4-тиадиазолов и производных ацетоуксусной кислоты, частности, ацетилацетона, В последующей циклизацией в кислых или нейтральных условиях. Были опробованы различные каталитические системы, включая кислоты, такие как уксусная хлористоводородная, также использовались растворители (например, толуол и ацетон). В итоге, метод оказался эффективным для получения целевого продукта с выходами от 60 % до 85 %, при этом наиболее высокие результаты были достигнуты в растворе уксусной кислоты с небольшими добавками воды, что способствовало улучшению реакции.

$$\begin{array}{c|cccccc} R^1 & & & & \\ N & N & N & N \\ \hline N & N & N \\$$

Схема 1.12. - Конденсация 2-амино-1,3,4-тиадиазола с ацетилацетоном (или дикетеном) \rightarrow циклизация \rightarrow 7-оксо-тиадиазолопиримидин (XXII)

При проведении исследования было установлено, что нуклеофильное замещение 2-бром-5-(трифторметил)-7-оксо-7H-1,3,4-тиадиазоло[3,2-а] пиримидина с аллиламином в метанольной среде при комнатной температуре приводит к быстрому образованию целевого продукта XXII с выходом 62 % за 5 минут.

Схема 1.13. - Нуклеофильное замещение 2-бром-5-(трифторметил)-7-оксо-тиадиазолопиримидина аллиламином

В ходе исследования было продемонстрировано синтезирование серии соединений XXIII, который проводился в одном реакторе из 2-бром-5-амино-1,3,4-тиадиазола (V) и этилового эфира 4,4,4-трифторбутиновой кислоты (или соответствующего амина). Для этого смесь V и этилового эфира 4,4,4-трифторбутиновой кислоты выдерживали в метаноле при комнатной температуре в течение 40 часов. После этого добавляли амин, и перемешивая смесь от 5 минут до 3 часов, получали целевые соединения с выходами от 13 % до 36 %. Продукты синтеза включают: XXIIIa ($R^1 = H, R_2 = CH_2CHCH_2$), XXIIIb ($R^1 = H, R_2 = CH_2CCH)$, XXIIIc ($R^1 = H, R^2 = CH_2CHCH_2$), XXIIId ($R^1 = H, R^2 = CH_2CHCH_2$), XXIIII ($R^1 = H, R^2 = CH_2CHCH_2$), XXIIII ($R^1 = H, R^2 = CH_2CHCH_2$) и XXIIII ($R^1 = H, R^2 = CH_2CHCH_2$) и XXIIII ($R^1 = H, R^2 = CH_2CHCH_2$).

Схема 1.14.- Синтез производных XXIII из 2-бром-5-амино-1,3,4-тиадиазола и этилового эфира 4,4,4-трифторбутиновой кислоты с аминогруппой

Помимо вышеописанных методов, другие исследователы также внесли вклад в разработку методов получения новых производных 2-R-7-оксо-1,3,4тиадиазоло[3,2-а]пиримидина XXII, в которых R может быть представлен водородом, алкильными, арильными или тиольными группами. Например, авторы [147] установили возможность синтеза данного цикла посредством реакции конденсации 2-R-5-амино-1,3,4-тиадиазола (V) с диэфиром малоновой кислоты. Кроме того, авторы [37] использовали реакцию конденсации V с 1,3-дикарбоксильнатом, что также позволяло получить аллен 2-R-7-оксо-1,3,4-тиадиазоло[3,2-а]пиримидины. соединения Эти метолы расширяют возможности синтеза различных производных и могут быть полезны для дальнейших исследований и разработки, новых биологически активных соединений.

Схема 1.15. - Синтез производных 2-R-7-оксо-1,3,4-тиадиазоло[3,2-а]пиримидина конденсацией 2-R-5-амино-1,3,4-тиадиазола с диэфирами малоновой кислоты и аллен-1,3-дикарбоксилатами

1.5. Реакция кросс-сочетания Сузуки, синтез гетероциклических систем

Реакция кросс-сочетания Сузуки, названная в честь японского исследователя Акиры Сузуки, является одним из важнейших методов в органической химии для формирования углерод-углеродных (С–С) связей [111-113, 159, 161]. В этой реакции органогалиды (арильные, алкенильные и алкинилгалогениды) вступают в реакцию с органоборатами (боровыми кислотами, их сложными эфирами или трифторбората калия), используя

палладиевый катализатор и основание. Реакция Сузуки-Мияуры включает несколько основных этапов катализаторного цикла:

Окислительное присоединение — палладиевый катализатор окисляется до более высокозаряжённой формы, которая затем взаимодействует с органогалидами.

Трансметаллирование это процесс обмена металлами между палладием и органоборатом, где палладий передает органическую группу (например, арильную группу) бору.

Восстановительное элиминирование на последнем этапе палладий восстанавливается, и образуется новая углерод-углеродная связь С - С, а также восстанавливается исходный катализатор [113, 111, 159, 15, 16, 39]. Этот процесс делает реакцию очень гибкой и эффективной для создания сложных органических молекул с углерод-углеродными связями. Важнейшими особенностями реакции Сузуки-Мияуры являются высокая селективность, хорошая совместимость с различными функциональными группами и возможность получения молекул с высокими выходами и чистотой.

В последние годы реакция Сузуки-Мияуры приобрела огромное значение в органической химии, так как она позволяет синтезировать как простые, так и функционализированные органические молекулы, что делает её незаменимой в нахождение широкое практическое применение при получении фармацевтических препаратов и агрохимических соединений, а также при разработке новых материалов с уникальными свойствами. Палладиевый катализ, осуществляемый как в гомогенных, так и в гетерогенных системах, позволяет проводить реакции в условиях, характеризующихся низкими температурами и давлениями, что совместимо с различными чувствительными функциональными группами. Кроме того, в последние годы наблюдается развитие реакции Сузуки с участием новых борорганических соединений, таких как боровые кислоты, сложные эфиры и другие компоненты, доступные в торговле, что делает реакцию ещё более удобной и доступной для синтезов. Это также открыло новые возможности для функционализации молекул и получения более разнообразных продуктов, что делает её важным инструментом в современных синтетических стратегиях. В целом, реакция кросс-сочетания Сузуки-Мияуры продолжает оставаться одним из самых мощных и широко применяемых методов синтеза в органической химии, предлагая исследователям и химикам новые способы создания сложных молекул с уникальными функциональными свойствами [181, 23, 75, 10, 129].

1.6. Палладий-катализируемые реакции: синтез, механизмы и применение в химии гетероциклов

При проведении синтезов с использованием реакции кросс-сочетания типа Сузуки важным элементом являются палладиевые катализаторы, лиганды и основания. Среди наиболее применяемых катализаторов палладия можно выделить следующие: Pd(OAc)₂, Pd₂(dba)₃ (трис(дибензилиденацетон) дипалладий (0)), Pd(dppf)(OAc)₂ (комплекс [1,1'-бис(дифенилфосфино)феросиндиацетат палладия (II)]), PdCl₂; Лиганды: XantPhos (4,5-бис(дифенилфосфино)-9,9-диметилксантин), DavePhos (2-дициклогексильнфосфино-2'-(N,N-диметиламино)бифенил), а также BINAP (2,2'-бис(дифенилфосфино)-1,1'-бинафтил); Основания: K₂CO₃, KOH, NaOH, K₃PO₄. Tl₂CO₃, TlOH, Cs₂CO₃ [51].

Окислительное присоединение это первый и ключевой этап в реакции кросс-сочетания Сузуки, который включает взаимодействие органогалида с катализатором (в данном случае палладием). Этот процесс можно описать следующим образом:

Введение палладия в связь R-X. На первом этапе происходит взаимодействие органогалида (R-X, где R это органическая группа, а X - галоген (например, хлор, бром или йод)) с катализатором, который обычно представлен палладием в окисленной степени (например, Pd(0)).

Разрыв связи о. Взаимодействие с палладием приводит к разрыву связи о (сигма-связи) между углеродом (R) и галогеном (X). Это происходит за счёт образования промежуточного комплекса, в котором палладий взаимодействует с атомом галогена, что способствует разрыву углерод-галогеновой связи.

Образование двух новых освязей. В результате этого разрыва образуются две новые освязи: одна между палладием и атомом углерода, а другая между палладием и атомом галогена. Этот процесс приводит к образованию палладиевого комплекса с органогалидами и является основой для дальнейшего синтеза новой углерод-углеродной связи. Схема 1.16.

$$Pd(0)L_{n} + R - Hal \longrightarrow L_{n}Pd(II)$$

$$1 \qquad 2 \qquad \qquad Hal$$

$$R = Ar ; \quad Br \longrightarrow N \qquad \qquad N \longrightarrow N$$

$$CF_{3} : Cl \longrightarrow N \longrightarrow N$$

Схема 1.16. - Окислительное присоединение Pd(0)Ln к R-Hal

Этот процесс назван так из-за увеличения степени окисления металла, которая возрастает на два. Это сопровождается увеличением координационного числа, при котором новые скоординированные частицы располагаются в цисконфигурации [17, 32, 64]. Следовательно, для того чтобы происходило окислитеьное присоединение, предварительный комплекс металла должен степени окисления быть находиться В низкой И координационно ненасыщенным, где и обычно равно 2 или 1 [151]. Известно также, что стадия окислительного присоединения облегчается за счёт повышения электронной плотности в металлическом центре. При этом доказано, что о-донорные лиганды, такие как третичные фосфины, увеличивают эту электронную плотность [151, 37]. Считается, что точный механизм окислительного присоединения немного отличается В зависимости OT природы галогенидорганического субстрата. Предполагается, что реакция протекать через один из двух различных процессов [151, 177, 80, 139, 18]. Первый (показанный пример механизма ниже) онжом сравнить

нуклеофильным ароматическим заместителем, где металл действует как нуклеофил. Схема 1.17.

$$Pd(0)L_{n} + \bigvee_{1}^{X} \bigvee_{2}^{H} \bigvee_{3}^{H} \bigvee_{4}^{H} \bigvee_{3}^{H} \bigvee_{3}^{H} \bigvee_{1}^{H} \bigvee_{1}^{H} \bigvee_{2}^{H} \bigvee_{3}^{H} \bigvee_{1}^{H} \bigvee$$

Схема 1.17. - Механизм окислительного присоединения SnAr

Было обнаружено, что данные, собранные из нескольких избранных исследований [139, 148], подтверждают этот механизм. При этом расщепление арилгалогенидной связи с образованием карбаниона в промежуточном соединении 4, как полагают, является стадией, определяющей скорость реакции. Это согласуется с наблюдаемой реакционной способностью арилгалогенидов в окислительном присоединении, при которой реакционная способность уменьшается с увеличением прочности связи R-X. Было показано, что скорость окислительного присоединения значительно увеличивается за счёт присутствия электроноакцепторных групп в ароматическом кольце, что является отличительной чертой реакций типа S_nAr. Другой возможный механизм включает формирование трёхцентрового переходного состояния 5, в котором металл взаимодействует со связью R-X, происходит как прямой согласованный процесс [139, 19]. Схема 1.18.

$$Pd(0)L_{n} + \bigvee_{3}^{X} \bigvee_{5}^{Pd(II)L_{n}X}$$

Схема 1.18. - Согласованный механизм окислительного присоединения

Было обнаружено, что данный механизм согласуется с большинством данных, собранных в ходе исследований стадии окислительных присоединений [37, 177, 139, 76, 57, 57]. В случае окислительного присоединения с участием

3Pd(0)L₂ прямое образование окислительного аддукта в транс-конфигурации обычно считается запрещённым по симметрии [19]. Это было недавно доказано в которых теоретическими исследованиями, было подтверждено, образование транс-комплексов непосредственно из дифосфина палладия (0) невозможно [32, 64]. Таким образом, полученный четырёхкоординатный квадратно-плоский комплекс изначально имеет цис-конфигурацию Ожидается, что изомеризация его транс-изомера 7 будет происходить быстро. Схема 1.19.

$$L \xrightarrow{Pd}_{\stackrel{}{\underset{\stackrel{}{\bigcup}}{\bigcup}}} X \qquad \xrightarrow{\qquad \qquad} \qquad R \xrightarrow{Pd}_{\stackrel{}{\underset{\stackrel{}{\bigcup}}{\bigcup}}} X$$

Схема 1.19. - Изомеризация окислительного аддукта из цис-геометрии в транс-геометрию

Эта изомеризация протекает легко, поскольку транс-изомер термодинамически более стабилен, [17, 57] что подтверждается тем, что комплексы транс-палладия (II) обычно наблюдаются и выделяются на этой стадии [37, 14, 57], в отличие от цис-комплексов [169, 40]. Были предложены три возможных механизма этой изомеризации: прямая перегруппировка через квазитетраэдрическое переходное состояние, возникающее в результате четырёхкоординатного искажения комплекса; расщепление лиганда перераспределением образующихся трехкоординированных комплексов последующей повторной рекомбинацией лиганда и начальное включение дополнительного лиганда в координационную сферу палладия с образованием пятикоординированного интермедиата, последующее псевдовращение и потеря лиганда. В теоретических исследованиях, проведённых учёнными [30-32, 148], было обнаружено, что первый механизм обладает высоким энергетическим барьером из-за неблагоприятного образования квазитетраэдрического переходного состояния [32]. Второй механизм показал значительно меньший энергетический барьер и оказался более предпочтительным. Плавный энергетический профиль также был получен для третьего механизма, что позволяет рассматривать образование пятикоординатного промежуточного как возможное. Тем не менее, расчётные компонента исследования, проведённые работах [64, 66], подтвердили стабильность В не пятикоординатных промежуточных соединений [65]. Экспериментальные данные [40] поддерживают второй механизм как более вероятный, хотя кинетические результаты оказались усложнены образованием димерных частиц в среде и влиянием координирующих растворителей. В то время как трансизомеризация традиционно рассматривается как необходимое условие для вычислительные трансметаллирования, исследования показали, трансметаллирование может эффективно протекать, начиная с цисизомера [32, 66].

Трансметаллирование это процесс, при котором металлорганические соединения реагируют с окислительным аддуктом, образовавшимся на предыдущей стадии, приводя к переносу второй органической группы на комплекс палладия [111, 110, 38, 31, 30]. Трансметаллирование рассматривается как центральный этап реакции кросс-сочетания Сузуки. В соответствии с исходной моделью каталитического цикла, этот процесс заключается во взаимодействии между активированным арилборатанионом 8 и трансокислительным аддуктом 7, что приводит к формированию трансдиарилпалладиевого (II) комплекса 10, а также неорганической боратной соли 9, как побочного продукта. Схема 1.20.

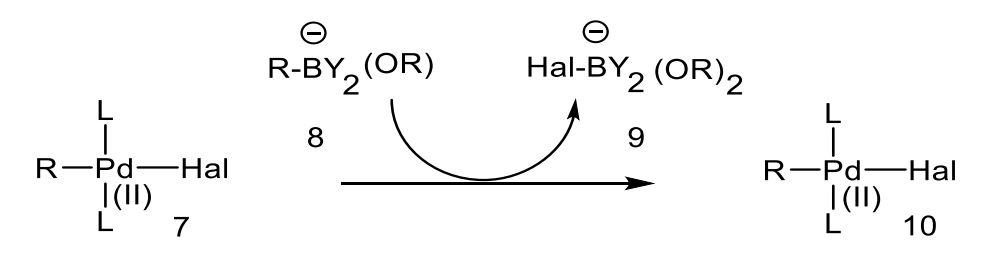


Схема 1.20. - Стадия трансметаллирования с участием отрицательно заряжённого арилборат-иона

В этой версии процесса, роль основания заключается в образовании отрицательно заряжённого арилборат-иона 8. Считается, что образование этой четвертичной разновидности увеличивает нуклеофильность, отличие ОТ ранее описанной модели, альтернативный вариант каталитического цикла включает замещение галогенидиона в окислительном 7 аддукте основанием (RO^{-}) предшествующую как стадию, трансметаллированию. За этим замещением следует перенос арильной группы от нейтрального арилборного субстрата 11 к комплексу (оксо) палладия (II) 12. В данном случае, основание способствует формированию комплекса (оксо) палладия (II) 12, а не четвертичного боратаниона 8. Эти (оксо) палладиевые (II) более считается, являются реакционноспособными комплексы, как трансметаллированию, чем галогенидные отношению арилпалладия (II) из-за повышенной полярности связи Pd-0, которая делает палладиевый центр более электрофильным [101, 141] Схема 1.21.

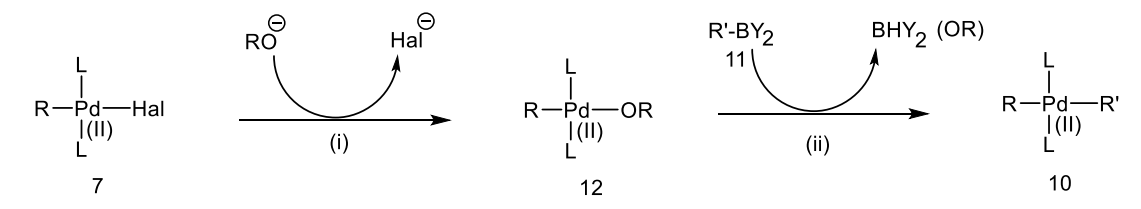


Схема 1.21. - Стадия трансметаллирования

Ф. Масерасом и его коллегами [31, 30, 32, 148] были проведены недавние вычислительные исследования, направленные на изучение сложных механизмов каталитического цикла. В частности, DFT-моделирование стадии трансметаллирования показало, что контрольная реакция между нейтральной фенилбороновой кислотой и бромидным комплексом фенилпалладия (II) (в условиях отсутствия основания) чрезмерно сталкивается высоким энергетическим барьером, что препятствует её практической реализации [30].

Восстановительное элиминирование можно рассматривать как мономолекулярный процесс, в котором палладий (II) восстанавливается обратно до палладия (0) с одновременным удалением связанного биарильного продукта [159, 104] **Схема 1. 22.**

Схема 1. 22. - Изомеризация транс-изомера в цис-изомер.

Затем регенерированная форма палладия (0) (1) может повторить стадию окислительного присоединения, завершая каталитический цикл. Этот процесс возможен только через цисконфигурацию комплекса диорганопалладия (II) (13) и протекает благодаря пониженной электронной плотности в центре палладия, а также увеличенному пространственному объёму вокруг металла. Было утверждено, что теоретически, если используются объёмные, менее богатые электронами фосфиновые лиганды, барьеры для окислительного присоединения возрастут, в то время как барьеры для восстановительного элиминирования, напротив, уменьшатся [64].

Схема 1.23. - Согласованный процесс образования связи С-С

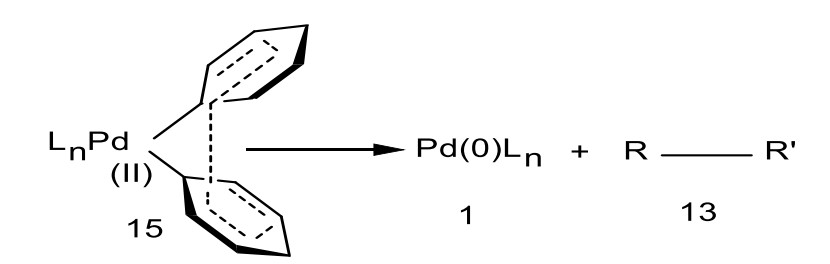


Схема 1.24. - π -орбитали в восстановительном элиминировании

1.7. Щелочные фосфатазы (Alkiline Phosphates AP)

Щелочные фосфатазы встречаются у различных живых существ и играют ключевую роль во множестве важнейших биологических процессов, таких как гидролиз фосфатсодержащих соединений, участие в синтезе ДНК, кальцификация костей и регуляция воспалительных процессов. Нарушение экспрессии этих генов может привести к ряду серьезных заболеваний. В связи с

этим в последние годы значительно возрос интерес к разработке новых ингибиторов этих ферментов. В данном обзоре мы стремимся рассмотреть роль щелочной фосфатазы при физиологических состояниях и в развитии различных заболеваний а также проанализировать связь «структура - активность» недавно разработанных ингибиторов. Щелочные фосфатазы АР представляют собой металлоферменты, принадлежащие к семейству эктонуклеотидаз [153]. Это семейство состоит из ферментов, метаболизирующих нуклеотиды, которые плазматической мембране экспрессируются на И имеют внешне активные центры. Щелочные фосфатазы АР ориентированные широко распространены в природе от бактерий до человека [42]. Эти ферменты катализируют гидролитическое удаление фосфатных групп из различных молекул, например, метаболизируют нуклеотиды до нуклеозидов, также ответственны за образование клеточной сигнальной молекулы аденозина посредством гидролиза аденозинмонофосфата (АМФ). Кроме того, их можно считать важными модуляторами передачи сигналов пуринергических клеток [92]. Другая важная роль АР заключается в дифференциации адипоцитов и остеобластов путях созревания [12]. Щелочные фосфатазы экспрессируются в адипоцитах, преадипоцитах и разлиных типах жировой ткани, учавствуя в регуляцииадипогенеза [97]. Щелочная фосфатаза (alkaline phosphatase, AP) представлена четырьмя изоформами, различающимися по тканевой специфичности. К тканеспецифическим формам относятся: плацентарная щелочная фосфатаза (PLAP, Placental Alkaline Phosphatase), кишечная щелочная фосфатаза (IAP, Intestinal Alkaline Phosphatase) и щелочная фосфатаза зародышевых клеток (GCAP, Germ Cell Alkaline Phosphatase). Четвёртая изоформа тканенеспецифическая щелочная фосфатаза (TNAP, Tissue-Nonspecific Alkaline Phosphatase) - экспрессируется в различных тканях организма и играет ключевую роль в ряде физиологических процессов, включая минерализацию костной ткани, особенно он распространён в тканях печени, скелета и почек. Каждый из этих ферментов имеет значительную гомологию. Уровень PLAP в плаценте, этот фермент сверхэкспрессируется у

беременных курящих женщин, а также при раке яичников и яичек, тогда как он недостаточно экспрессируется у беременных женщин с болезнью Шагаса [122, 134, 95]. Этот фермент сверхэкспрессируется у пациентов с болезнью Альцгеймера [53], тогда как при гипофосфатазии он экспрессируется недостаточно [108]. Фермент ІАР в основном доступен в желудочно-кишечном особенно тракте (ЖКТ), В двенадцатиперстной кишке, И является потенциальной мишенью для лечения воспалительного синдрома кишечника, сепсиса и антибиотикоассоциированной диареи [168, 11], может привести к различным болезненным состояниям, а новые исследования показывают корреляцию между высокими уровнями АР и некоторыми заболеваниями, такими как злокачественные новообразования и заболевания костей, таким образом, их можно лечить, ингибируя этот фермент [82, 131]. Исследователи приложили усилия, чтобы внедрить новые методы лечения этих состояний, синтезируя соединения, которые действуют как ингибиторы различных щелочных фосфатаз АР.

АР представляют собой субстратнонеспецифические гомодимерные металлосодержащие ферменты. Каждый мономер содержит три иона металлов: два Zn^{2+} и один Mg^{2+} , а также пять остатков цистеина (Cys101, Cys121, Cys183, Cys467 и Cys474 в PLAP). Между Cys121-Cys183 и Cys467-Cys474 образуются две дисульфидные связи, тогда как остаток Cys101 остаётся в свободной форме. В PLAР за каталитический механизм отвечают определённые аминокислотные остатки, включая Ser92, Asp42, His153, Ser155, Glu311, Asp316, His320, Asp357, His358, His360 и His432 [91]. В активном центре PLAP находятся два иона Zn^{2+} : один них непосредственно, каждый ИЗ которых имеет свою Zn^{2+} характеристическую координационную структуру. Первый ион тетраэдрически связан с тремя аминокислотными остатками His320, His432, Asp316, а также с молекулой воды, связь с которой является динамичной и способной подходящий субстрат. Второй Zn^{2+} замещаться на ион демонстрирует пятикоординационную геометрию, с формированием связей с аминокислотами His358, Asp357, Asp42, Ser92, а также с молекулой воды или субстратом. Mg^{2+} имеет гексакоординационную структуру, где он связан с тремя аминокислотными остатками Asp42, Ser155, Glu311, а также ещё три связи с тремя молекулами воды, которые могут быть заменены субстратным связыванием. Более того, во всех AP млекопитающих наличие иона Ca^{2+} имеет решающее значение для нормального функционирования фермента [146]. AP распространены во всех организмах и имеют примерно 25–30 % сходства между человеком и Escherichia coli [36]. Каталитическая функция AP представлена трансфосфорилированием и гидролизом различных моноэфиров фосфатов. AP высвобождают неорганический фосфат путём образования ковалентного промежуточного фосфосерина [117].

Плацентарная щелочная фосфатаза PLAP. Плацентарная щелочная фосфатаза PLAP в основном экспрессируется в плаценте на высоких уровнях. Однако в сыворотке крови можно обнаружить низкие уровни PLAP [152]. Кроме того, в небольших количествах он присутствует в шейке матки небеременных женщин, яичниках и пневмоцитах 1 типа [117]. PLAP считается неэффективным ферментом, поскольку он обладает низкой каталитической константой по сравнению с другими изоферментами. Эта неэффективность объясняется разницей между рН плаценты, составляющим около 7, и оптимальным pH PLAP, равным 11. PLAP является уникальным изоферментом термостабильности, благодаря своей поскольку подвергается ОН не инактивации при температуре ниже 75 0 C в присутствии 10^{-2} М магния. Однако остальные изоферменты теряют более 50 % своей первоначальной активности при воздействии температуры 56 ^оС в течение 30 мин. Термостойкость PLAP обусловлена источником фермента и отсутствием белка, что делает фермент устойчивым к нагреванию Изофермент PLAP имеет вариант, известный как «Реган», который выявляется в плазме крови примерно у 15 % пациентов с карциномой печени, кишечника или лёгких [103]. PLAP выполняет несколько функций включая передачу антител иммуноглобулина G (IgG) от матери плоду. В присутствии ионов цинка, инсулина и кальция PLAP стимулирует синтез ДНК и пролиферацию клеток фибробластов. PLAP является

модулятором роста плода, поскольку он синтезируется уникальной тканью, называемой синцитиотрофобластом, которая отвечает за перенос необходимых веществ, таких как питательные вещества и кислород. Более того, PLAP является потенциальным маркером различных типов рака [130, 93]. PLAP состоит из двух мономеров, в которых N-концевая а-спираль занимает один из мономеров, образуя рычажную структуру, удерживающую другой мономер. PLAP содержит два сайта гликозилирования Asn122 и Asn249, причем степень гликозилирования различна в зависимости от плацентарного образца. Кроме структуру PLAP образуют два дисульфидных мостика первый того, стабилизирует **PLAP** вблизи ориентацию ИЛИ его гликозилфосфатидилинозитолового якоря, который прикреплен к Asp481, в то время как второй придает жёсткость кольцу, несущему углеводную цепь, и расположен рядом с первой частью гликозилирования. В активном центре каталитическая аминокислота серин, два иона Zn^{2+} , один ион Mg^{2+} и их лиганды важны для катализа. В верхней части активного центра присутствует большое количество гидрофильных остатков. Однако нижняя часть содержит гидрофобные остатки [74]. Гидрофильный карман содержит Arg166 и Glu429: они имеют тенденцию стабилизировать гидрофильную часть моноэфирного фосфатного лиганда, а Glu 429 специфически стабилизирует молекулы воды. Вода имеет решающее значение для проведения катализа, поскольку она участвует в нуклеофильной атаке фосфосерина [141]. PLAP обладает способностью дефосфорилировать некоторые например вещества, фенилфосфат. Каталитический механизм реализуется в активном центре, в котором фенилфосфатный субстрат поворачивается рядом с Ser92, что способствует нуклеофильной атаке. Zn_1 активном центре координируется с кислородом уходящей сложноэфирной группы, тогда как Zn₂ координируется с несвязывающим атомом кислорода. Другой несвязывающий атом кислорода образует водородную связь с гуанидиниевой группой Arg166. Во-первых, кислород аминокислоты серин атакует фенилфосфат и образует с ним ковалентную связь, образуя феноксид в качестве уходящей группы. Эта уходящая группа стабилизирует координацию с Zn1, затем вода вытесняет феноксиданион, образуя гидроксидион. После этого гидроксильнымая группа атакует фосфосерин, и нуклеофильная оксигенация серина восстанавливается. На последнем этапе протон переносится с Glu429, и конечным продуктом является ион дигидрофосфата [141]. Беременные женщины с преэклампсией, диабетом или задержкой внутриутробного развития имеют более низкие уровни PLAP по сравнению со здоровыми женщинами, и это может способствовать дефектам развития и роста плода [162]. PLAP играет фундаментальную роль в регуляции белка, связывающего фактор роста инсулина, посредством дефосфорилирования. Фермент PLAP также присутствует клетках трофобласта, которые отвечают за передачу питательных веществ и иммуноглобулинов плоду. В случаях заражения Trypanosoma cruzi, паразитом, вызывающим болезнь Шагаса, уровни PLAP изменяются у беременных женщин, что влияет на здоровье плода. Инфекционная форма паразита T. cruzi, называемая трипомастиготом, связывается с внешней мембраной клеток хозяев, что приводит к перестройке их микрофиламентной системы и мобилизации ионов кальция. Эти события активируют протеинкиназу клеток хозяев и концентрацию **PLAP** [134]. Кроме снижают τογο, присутствие нейраминидазы/транс-сиалидазы и фосфолипазы на поверхности паразита усиливает высвобождение свободного PLAP, который связывается с IgG, образуя комплекс PLAP-IgG в сыворотки крови. Уровень PLAP в сыворотке крови индуцируется у курильщиков, но обычно возвращается к нормальному диапазону через 1–2 месяца после прекращения курения [117]. Повышенные уровни PLAP в сыворотке крови у курильщиков обусловлены увеличением проницаемости эндотелиальных и альвеолярных эпителиальных клеток [74]. Кроме того, уровень PLAP в сыворотке крови увеличивается у пациентов с раком яичников и яичек [117].

Кишечная щелочная фосфатаза ІАР. Кишечная щелочная фосфатаза ІАР может быть обнаружена в ЖКТ, особенно в двенадцатиперстной кишке, а также в тощей, ободочной и подвздошной кишке, но на более низких уровнях

(таблица 1.1). ІАР проявляет наибольшую активность при рН 9,7 (щелочная среда). Он частично стабилен при нагревании, поскольку имеет углеводную боковую цепь, которая не оканчивается сиаловой кислотой, в отличие от другого изофермента АР [88]. Во время развития плода ІАР имеет сиалилированную версию, которая имеет другую белковую часть по сравнению с ІАР взрослого человека. ІАР играет защитную роль в организме, включая абсорбцию липидов и уменьшение воспаления. ІАР ослабляет воспаление, особенно модифицируя В кишечнике, микрофлору кишечника И дефосфорилируя нуклеотиды эндотоксины бактерий И виде липополисахаридов (ЛПС) [29]. Любое изменение уровня и активности кишечной фосфатазы (IAP) приводит щелочной К повышению восприимчивости к воспалению. Воспалительное заболевание кишечника (ВЗК) является примером патологии, при которой у пациента наблюдается снижение синтеза и активности эндогенной ІАР. Введение экзогенной кишечной щелочной фосфатазы представляет собой перспективный подход к лечению воспалительных заболеваний кишечника и других состояний, связанных с нарушением кишечной микробиоты, поскольку может оказывать защитное действие против орхита (воспаления яичника) и системного воспаления [152, 117, 34, 130, 93, 73, 162, 83, 88, 29, 124, 63].

взаимодействия IAP Исследования И диеты показали высокую корреляцию между семейством генов ІАР и рационом питания. Пища способствует изменению численности комменсальных бактерий и структуры желудочно-кишечного тракта. Синтез (экспрессия) **IAP** регулируется потребляемыми макронутриентами, также состоянием a голодания. Эксперименты показали, что голодание у мышей резко снижает выработку ІАР дефосфорилирующей уровень eë активности. Было высказано И предположение, что подавление IAP во время голодания отвечает за снижение защитных механизмов против бактерий. Следовательно, для снижения риска воспаления и поддержания нормального баланса микробиоты кишечника следует применять модификации диеты, усиливающие активность IAP [170].

Сепсис это опасное для жизни состояние, которое возникает, когда неконтролируемо реагирует на инфекцию, повреждению тканей и органов организма. Это основная причина острого повреждения почек (ОПП), которое является одной из ведущих причин хронической почечной недостаточности у выживших. Два двойных слепых клинических исследования были рандомизированных проведены ДЛЯ иллюстрации положительного эффекта введения ІАР у пациентов с сепсисом и ОПП. Исследователи пришли к выводу, что ІАР проявляет защитные эффекты за счёт дефосфорилирования ЛПС и повышения внеклеточных уровней АМФ [55]. Поэтому недавно был разработан рекомбинантный человеческий ІАР, и в эксприметнтах изучалась его безопасность, абсорбция, распределение выведение. Полученные результаты являются многообещающими использование [121]. Было проведено поддерживают его несколько исследований, чтобы продемонстрировать корреляцию между пероральным приёмом ІАР и профилактикой инфекций, связанных с приёмом антибиотиков, и диареи, вызванной микроорганизмами видами Salmonella и Clostridium difficile. Чрезмерное применение антибиотиков приводит к нарушению численности и состава микробиоты ЖКТ, повышая риск развития условно патогенных бактериальных инфекций. В эксприментах на животных изучался эффект сочетания введения ІАР с антибиотиками по сравнению с применением только антибиотиков. В первой группе мышей, принимавших антибиотики, наблюдалось лишь уменьшение количества и типов кишечной микрофлоры, тогда как во второй группе, получавшей ІАР в дополнение к антибиотикам, наблюдалась быстрая регенерация микрофлоры кишечника, утраченной под антибиотика. Подобные эксприменты дают возможность предпологать использование ІАР в качестве нового подхода для защиты тканы кишечника от кишечных патогенных инфекций и диареи во время приема антибиотиков.

Тканевая неспецифическая щелочная фосфатаза TNAP. TNAP синтезируется в нескольких тканях организма, но главным образом в тканях

печени, скелета и почек (таблица 1.1). Это термолабильный изофермент, и его электрофоретическая подвижность и термостабильность отличаются аналогичных свойств других АР из-за различий в посттрансляционных подобно модификациях [73]. TNAP, тканеспецифическим щелочным фосфатазам (АР), является гомодимером, в котором каждая субъединица характеризуется наличием трёх ионов металлов (одного катиона магния и двух катионов цинка) и одного фосфат аниона. Мономер TNAP имеет трёхмерную структуру, включающую центральное ядро, протяжённую β-цепь, окружённую α-спиралями, и N-концевую область с удлинённой α-спиралью и «коронкой до главной», Краун домен, который можно описать как свободную межфазную аминокислотные остатки, которые реагируют петлю, содержит неконкурентными ингибиторами фермента и стабилизируют их [100].

Роль TNAP при болезни Альцгеймера. Недавно было высказано предположение, что экспрессия и активность TNAP коррелируют с БА, поскольку он обнаруживается в сыворотке крови больных и отсутствует в сыворотке крови здоровых людей. Кроме того, было обнаружено, что интеллектуальные способности снижаются по мере увеличения активности TNAP, что указывает на обратную зависимость между активностью TNAP и когнитивными функциями. При БА отложение пептидов β- амилоида образует амилоидные бляшки [60]. Нейрофибриллярные клубки образуются гиперфосфорилированным таубелком, который представляет собой белок, ассоциированный с микротрубочками. Во время гибели нейрональных клеток TNAP дефосфорилирует таубелок, что приводит к его связыванию с мускариновыми рецепторами M_1 и M_3 . В конечном счете, это способствует постоянному увеличению внутриклеточного кальция, что приводит к усилению гибели нейронов. Более того, TNAP вызывает проблемы с нейронами, изменяя метаболизм АТФ и вызывая нейровоспаление [69].

Роль TNAP при гипофосфатии (ГФФ). TNAP кодируется геном ALPL, мутации в этом гене приводят к недостаточной активности TNAP, что приводит к накоплению ингибитора минерализации PPi. Это приводит к генетическому

заболеванию, известному как гипофосфатазия ГФФ, которое проявляется переломами костей и болью, проблемами с зубами, рахитом и остеомаляцией [137]. Эти проявления различаются в зависимости от времени начала, и соответственно, данное заболевание классифицируют как на пренатальную, младенческую, детскую, взрослую И одонтогипофосфатазию [71]. Поддерживающее лечение было единственным вариантом для пациентов с ГФФ до тех пор, пока в некоторых странах не была одобрена и внедрена заместительная ферментная терапия, нацеленная на восстановление структурой костной ткани. Недавние исследования показывают, что ГФФ контролировать путем повторных внутривенных инфузий плазмы крови, богатой TNAP [105].

Таблица 1.1. - Краткие характеристики изофермента щелочной фосфатазы

Изофермент	PLAP	TNAP	IAP	GCAP
Расположение	Высокий уровень в	Высокая	Высокая экспрессия в	Половые клетки,
(локация)	плаценте	экспрессия в	желудочно-кишечном	эмбриональные
		печени, костях и	тракте, особенно в	ткани,
		почках	двенадцатиперстной	некоторые
			кишке	опухолевые
				ткани и
				плацента
Функция	1.Передача	1.Минерализация	1. Абсорбция липидов	-
	антитела к	костной ткани.	2.Уменьшение	
	иммуноглобулину	2.Дифференцировк	воспаления.	
	G матери плоду.	а нейронов	3.Дефосфорилирование	
	2 Синтез ДНК	3.Развитие нервной	нуклеотидов и	
	3.Пролиферация	системы плода	липополисахаридов	
	клеток в			
	фибробластах			
Высокий	1.Курящие	Болезнь	-	-
уровень	беременные	Альцгеймера		
фермента	женщины			
	2. Рак яичников			
	3. Рак яичка			
Низкий	Беременные	Гипофосфатазия	-	-
уровень	женщины с			
фермента	болезнью Шагаса			

Значение АР при некоторых физиологических состояниях и заболеваниях

Пациенты с нарушением функции почек, которые проходят диализ, нуждаются в очистке крови от избытка воды, токсичных веществ и растворённых солей. Установлено, что высокий уровень алькалинфосфатазы (АР) в сыворотке крови у таких пациентов ассоциируется с развитием сердечно-сосудистых заболеваний и более высоким риском смерти. Это связано с тем, что повышенный уровень АР способствует накоплению минералов в стенках сосудов, что может привести к кальцификации, особенно в коронарных артериях. В результате, эти изменения увеличивают вероятность сердечно-сосудистых заболеваний и могут ухудшить прогноз для пациентов, находящихся на диализе [68].

Заболевание церебоальных мельких сосудов ЗЦМС (cerebral small vessel disease CSVD)- это прогрессирующие сосудистое заболевание головного мозга, которое становятся жесткими, кровообращение в этом отделе мозга, которое поражает мелкие артерии, артериолы, капилляры и венулы, что приводит к повреждению тканей мозга. ЗЦМС- неврологическое заболевание, вызывающее инсульт и деменцию. Когда артериальные сосуды головного мозга становятся жёсткими, кровообращение в этом отделе мозга ухудшается, развивается ишемический инсульт. Кальцификация стенок сосудов приводит к активации AP. Корреляция между концентрацией AP в сыворотке кровы и ЗЦМС (CSVD) подтверждает использование AP в качестве биомаркера данной потологии [89].

Пародонтит это хроническое воспалительное заболевание, возникающее в ответ на дисбиотическую бактериальную биоплёнку (зубной налёт) и характеризующееся прогрессирующей деструкцией опорных тканей зуба: десны, периодонтальной связки, цемента корня и альвеолярной кости. Заболевание сопровождается системной и локальной иммунно-воспалительной реакцией, и может быть связано с генетической предрасположенностью и факторами риска, такими как курение, стресс, несбалансированное питание и

системные заболевания (например, сахарный диабет 2 типа). Во время воспалительного процесса высвобождается фермент AP, играющий не поледнюю роль в возникновении заболевания, и может использоватся как биомаркер. Пациенты с сахарным диабетом, страдающие пародонтитом, имеют еще более высокий уровень AP из - за подавленной иммунной системы, что делает их более восприимчивыми к инфекции [49]. Гемолиз, то есть разрушение эритроцитов, приводит к снижению активности щелочной фосфатазы (AP). Это связано с повышением концентрации Mg²⁺, который является кофактором фермента AP и при избыточном количестве ингибирует его активность через механизм отрицательной обратной связи [102].

Остеосаркома. При остеосаркоме злокачественной опухоли костной ткани повышен уровень щелочной фосфатазы (ЩФ) в крови. Это связано с активным образованием незрелой костной ткани и остеоидов, характерных для данного типа опухоли. Повышенный уровень активности ЩФ отражает высокую остеобластическую активность и агрессивность опухолевого процесса. Кроме того, клинические исследования показали, что у пациентов с повышенным уровнем ЩФ прогноз менее благоприятный: такие показатели коррелируют с более низкой общей выживаемостью, что делает уровень ЩФ потенциальным прогностическим маркером при остеосаркоме [48].

ЩФ (АР), являясь мембранными белками, катализируют дефосфорилирование различных субстратов В щелочной К образованию среде, приводя неорганического фосфата (Рі) [53, 70, 174]. Эти белки, распространённые от архей [79] до человека [53], демонстрируют как функциональное разнообразие, консервативность [53, 70]. В геноме так и эволюционную человека присутствуют четыре гена, кодирующих изоформы AP, включая тканеспецифические (ALPI, ALPP и ALPPL2) и TNAP (ALPL) (таблица 1.2). Причём, функции ALPP и ALPPL2 изучены в недостаточной степени. В рамках настоящего обзора будут рассмотрены современные представления функциях TNAP и кишечной AP (IAP) в отношении здоровья и болезней человека. Таблица 1.2.

Таблица 1.2. - Изоферменты щелочной фосфатазы у человека

Ген АР	Белок АР	Тканевая экспрессия	Известные функции
ALPL	Тканенеспецифическая	Печень, почки, костная	Минерализация костей и
	ЩФ (TNAP)	ткань, нервная система	зубов
ALPP	Плацентарная ЩФ	Синцитиотрофобласты,	
	(PLAP)	опухоли репродуктивной	
		системы	
ALPPL2	Гонадоклеточная ЩФ	Яички, опухоли	
	(GCAP)	репродуктивной системы	
ALPI	Кишечная ЩФ (IAP)	Кишечник, энтероциты	Всасывание жирных
			кислот, детоксикация
			липополисахаридов

Тканевые неспецифические TNAP

Одной из наиболее ярких связей между тканевыми неспецифическими фосфатазами (TNAP) И патологией щелочными человека является гипофосфатазия (HPP) заболевание, вызванное мутациями гена ALPL, который кодирует TNAP, что приводит к снижению активности этого фермента в различных органах [67, 183]. Уменьшение активности TNAP вызывает широкий спектр клинических проявлений, варьирующих от перинатальной ГФФ, которая может приводить к мертворождению из-за выраженной гипоминерализации скелета [183, 35], и потенциально летальных судорог при инфантильной НРР [51, 85, 136], до более лёгких фенотипов, таких как переломы костей и пародонтоз у пациентов с ювенильной и взрослой формами ГФФ [163, 143]. Недавние исследования на мышиной модели ГФФ, в сочетании с клиническими лучше данными И генетическим анализом, позволили ПОНЯТЬ патофизиологические механизмы ГФФ, связанные с нарушением метаболизма по крайней мере двух субстратов TNAP внеклеточного пирофосфата (PPi) и пиридоксаль-5-фосфата (PLP) [178]. TNAP локализована на клеточных мембранах остеобластов и хондроцитов, а также присутствует в матриксных везикулах, где катализирует гидролиз пирофосфата (РРі) до неорганического фосфата (Рі). РРі, являясь ингибитором минерализации [25], регулируется

TNAP, обеспечивая тем самым необходимый уровень минерализации костной ткани кристаллами апатита. Недостаточность TNAP приводит к накоплению РРі и, как следствие, снижению внеклеточной минерализации. Данная патология наблюдается у пациентов с гипофосфатазией, у которых отмечается потеря фронтов минерализации [87]. Данные результаты подтверждаются исследованиями на мышиных моделях инфантильной ГФФ [116, 98, 109]. Нарушение процесса минерализации приводит к таким симптомам, как размягчение и деформация костей, спонтанные переломы, рахит и аномалии развития зубов [86]. В сыворотке крови пациентов с также наблюдается повышенный уровень пиридоксаль-5-фосфата (PLP), активной формы витамина В₆ [87], что, вероятно, связано с нарушением его метаболизма [182, 180]. ТNAP играет ключевую роль в транспорте пиридоксаля (PL) через клеточную мембрану, дефосфорилируя PLP до его неактивной формы пиридоксаля (PL). Далее PL повторно фосфорилируется до PLP. PLP участвует как кофактор в большом количестве ферментативных реакций [33]. Дефицит PLP и его метаболитов в головном мозге, обусловленный нарушением функции TNAP, является одной из причин развития неонатальных судорог при ГФФ [149, 96]. TNAP является многофункциональным белком, вовлеченным в различные физиологические процессы, а также патогенез состояний, не связанных с гипофосфатазией $(\Gamma \Phi \Phi)$ Эксперименты in vitro показали, ЧТО тканеспецифическая щелочная фосфатаза (TNAP), синтезируемая в ходе эмбриогенеза в нервной трубке и хорде, способствует росту аксонов и нейрогенезу во взрослом организме [114], что указывает на её роль в развитии и функционировании нервной системы. Повышение активности TNAP в нейронных клетках при нейродегенеративных заболеваниях, таких как болезнь Альцгеймера, указывает на важную роль этого фермента в патогенезе заболевания. Тау-белки, дефосфорилированные TNAP, могут способствовать образованию нейрофибриллярных клубков, которые нарушают нормальную функцию нейронов и приводят к их гибели [120]. Это подчёркивает возможность использования ингибиторов TNAP как потенциальной терапии для замедления прогрессирования болезни Альцгеймера. Дополнительно, наблюдения в случае синдрома Марби, связанного с гиперфосфатаземией, говорят о том, что аномалии в синтезе GPI-якоря, который регулирует активность щелочных фосфатаз, могут приводить к нарушению нормального функционирования клеток, что проявляется в различных клинических проявлениях, таких как умственная отсталость, судороги и выраженные лицевые аномалии [24]. Также показано, что повышенная активность TNAP в сосудистой сети вызывает кальцификацию сосудов, что приводит к их жёсткости и, в конечном счете, к сердечной недостаточности [118]. участвует в регуляции пуринергической передачи сигналов путём гидролиза внеклеточных АТФ и АДФ. В то время как АТФ и АДФ, связываясь с нуклеотидными рецепторами, являются про воспалительными медиаторами после повреждений или инфекций, их деградация до АМФ и аденина приводит К противовоспалительному ответу, опосредованному адениновыми рецепторами [115]. TNAP играет роль в защите от воспаления и поддержании гомеостаза кишечной микробиоты путём гидролиза внеклеточных АТФ и АДФ [59, 20, 63].

фосфатаза (ІАР) играет Кишечная щелочная важную В пищеварении и абсорбции питательных веществ. Она синтезируется в энтероцитах, клетках кишечной эпителиальной ткани, которые покрывают ворсинки кишечника, и участвует в регуляции абсорбции жирных кислот, влияя на их метаболизм. ІАР секретируется везикулами как на апикальной (стороной, обращённой к просвету кишечника), так и на базолатеральной (стороной, обращённой к капиллярам) поверхности энтероцитов, эффективно выполнять свои функции по регуляции различных биохимических процессов в кишечнике [56, 107] модулирует секрецию бикарбоната и рН поверхности двенадцатиперстной кишки [179], а также влияет на развитие ожирения, вызванного диетой [106, 176], и метаболического синдрома [171, 175]. Однако, одной из наиболее значимых функций ІАР является её защитное взаимодействие с бактериальными симбионтами, населяющими кишечник. ІАР

играет важную роль в защите организма от воспалительных процессов, регулируя взаимодействие между иммунной системой и бактериальными компонентами. Она дефосфорилирует липидный компонент липополисахарида, который структурным элементом внешней мембраны является грамотрицательных бактерий. Это дефосфорилирование способствует детоксикации и снижает его активность. Фосфатные группы играют ключевую роль в связывании с toll-подобным рецептором 4 (TLR4) / MD-2 рецепторным комплексом, который является важным элементом врождённого иммунитета и активируется при взаимодействии с патогенами [127, 45], запуская каскад передачи сигналов NF-kB и вызывая иммунный ответ [138, 21, 184]. Дефицит ІАР в кишечнике ассоциирован с развитием воспалительных процессов как у [78], экспериментальных моделях человека И В позвоночных, характеризующихся сниженным уровнем ІАР [78]. Экзогенное введение кишечной щелочной фосфатазы (IAP) животным с индуцированным оказывает значительное противовоспалительное воспалением кишечника действие. Это связано уменьшением воспалительной реакции, подтверждается исследованиями, в которых использовались как прямые, так и косвенные методы индукции воспаления, включая применение антибиотиков [78, 143, 135]. Также ІАР демонстрирует защитные свойства в моделях некротического энтероколита у мышей, что подчеркивает её важную роль в барьерной функции поддержании кишечника И предотвращении воспалительных заболеваний [72, 41, 100]. Эта защитная функция ІАР может включать участие в формировании [127] и поддержании гомеостаза микробиома кишечника. IAP, экспрессируемая энтероцитах, ассоциированных с ворсинками кишечника, регулирует абсорбцию жирных кислот через секрецию везикул как на апикальной, так и на базолатеральной поверхностях [56, 107]. Она регулирует секрецию бикарбоната и поддержание рН в двенадцатиперстной кишке [179], а также участвует в регуляции ожирения, вызванного диетой [106, 176], и метаболическом синдроме [171, 175]. Однако, наиболее важной функцией ІАР является её

взаимодействие с бактериальными симбионтами, которые населяют кишечную систему или могут вторгаться в неё. IAP дефосфорилирует (детоксифицирует) липидную составляющую липополисахарида (LPS) компонента внешней мембраны грамотрицательных бактерий [126]. Эти фосфаты важны для связывания LPS с toll-подобным рецептором 4 (TLR4) / MD-2 рецепторным комплексом врождённого иммунитета [45], что инициирует передачу сигналов через NF-kB и запуск иммунного ответа [138, 21, 184]. Дефицит IAP в кишечнике был связан с воспалением, что подтверждается исследованиями как у человека, так и в моделях позвоночных животных, где уровни AP снижены [78]. Введение IAP животным с индуцированным воспалением кишечника (например, с использованием антибиотиков) снижает воспаление [44, 143, 135]. Также IAP играет защитную роль в моделях некротического энтероколита у мышей [72, 41, 100], участвуя в гомеостазе микробиома [127].

ГЛАВА 2. ЭКСПЕРИМЕНТАЛЬНАЯ ЧАСТЬ

2.1. Материалы и методы

В синтетических процедурах использовались коммерчески доступные реагенты и растворители с содержанием основного вещества не менее 99,5 %. Контроль хода реакции осуществляли методом тонкослойной хроматографии (ТСХ) на пластинках Silica 60 F254 (алюминиевая подложка, производитель Macherey-Nagel). Для очистки продуктов применяли колоночную хроматографию с использованием силикагеля Fluka Silica gel 60 (размер частиц 0,063 – 0,200 мм, 70 – 320 mesh, производитель Fluka).

Спектры ЯМР 1Н, 13С и 19 Г были получены с использованием спектрометров Bruker (300, 400, 600 МГц) и Varian Mercury 400 и АХМ 400. В качестве внутреннего стандарта для ЯМР использовался тетраметилсилан (TMS, $\delta = 0.00$ м.д.). Для калибровки сигналов ЯМР применялись стандартные сигналы хлороформа (δ 7,260 м.д. для ¹H и δ 77,160 м.д. для ¹³C). Для описания использовались мультиплетности сигналов следующие обозначения: (синглет), д (дублет), т (триплет), дд (двойной дублет), ддд (тройной дублет), пт (псевдотриплет), к (квартет), п (пентет), гепт (гептет). Инфракрасные (ИК) спектры были записаны на спектрометре Bruker ALPHA-Р с использованием метода ослабленного полного отражения. Интенсивность ИК-сигналов была обозначена (слабый), (средний) как слаб сред И сильн (сильный). Рентгеноструктурный анализ монокристаллов был выполнен с использованием дифрактометра Bruker-Nonius Apex X8 CCD. Масс-спектральный анализ был проведён с использованием прибора Finigal MAT 95. Для регистрации спектров с высоким разрешением использовались аппараты QNOF ULTIMA 3 и технология электроспрейной ионизации (ESI) на масс-спектрометре Thermo Electron LCQ Deca (Сан-Хосе, США). Определение элементного состава синтезированных соединений было выполнено В микроаналитических лабораториях Университета Майнца и Университета Ростока.

2.2. Синтез 2-бром-7-(трифторметил)-5-оксо-5H-1,3,4-тиадиазоло[3,2-а]пиримидина (3)

Соединение 2-бром-5-амино-1,3,4-тиадиазол (1) было синтезировано посредством многостадийной реакции с участием полифосфорной кислоты (ПФК) и этилового эфира 4,4,4-трифторацетоацетата **(2)**. Методика подразумевает следующую последовательность стадий: 2-Бромо-5-амино-1,3,4тиадиазол диспергировали в полифосфорной кислоте (ПФК), реакционную среду с высокой кислотностью. ПФК, выступая в роли сильного кислотного катализатора и дегидратирующего агента, активировала реагенты за счёт протонирования функциональных групп. К полученной смеси капельно вводили этиловый эфир 4,4,4-трифторацетоацетата в течение 15 минут. В ходе этой стадии активированный карбонильный атом углерода эфира осуществлял нуклеофильную атаку на атом азота тиадиазольного ядра. Реакционную смесь нагревали до 80 °C с использованием обратного холодильника на протяжении 8 часов, что обеспечивало полное завершение реакции и предотвращало испарение летучих компонентов. По окончании реакции смесь охлаждали до 25 ^{0}C осторожно ледяную способствовало переливали В воду, что кристаллизации целевого продукта. Полученный осадок фильтровали, последовательно промывали дистиллированной водой и высушивали в вакуумном эксикаторе.

$$Br$$
 $N-N$
 $N+1$
 $N+1$

Схема 2.1. - Синтез 2-бром-7-(трифторметил)-5-оксо-5H-1,3,4-тиадиазоло[3,2а]пиримидина

2,3 г (75 Выход соединения 3 составил %) в виде жёлтого кристаллического вещества с температурой плавления 133–134 °C. ЯМР ¹Н (CDCl₃), δ , м. д., Γ ц.: 6.32 (c, 1H, CH_{Het-ar}). ЯМР ¹³С (CHCl₃), δ , м. д., Γ ц.: 108.42 $(\kappa, {}^{3}J = 3.17, CH_{Het-ar}), 120.02 (\kappa, {}^{1}J = 275.56, CF_{3}), 150.98 (\kappa, {}^{2}J = 36.52, 157.77)$ (C_{Ap}), 158.77 (C_{Ap}), C-CF₃), 163.97 (C_{Ap}). ИК-спектр, v, см⁻¹: 533 (сред), 563 (слаб), 682 (сред), 702 (сред), 793 (слаб), 855 (сред), 886 (сред), 965 (слаб), 1055 (сильн), 1145 (сильн), 1187 (сред), 1206 (слаб), 1282 (сильн), 1424 (сред), 1487 (сильн), 1524 (сильн), 1580 (слаб), 1651 (слаб), 1708 (сильн), 3066 (слаб). Масс спектр FD MS m/z (%):92 (47), 107(10), 122(24), 126(24), 138(16), 163(26), 165(100), 181(12), 272(22), 274(23), 298 (57), [М+,]. Масс-спектр высокого MS, ESI) (HR разрешения ДЛЯ соединения co структурной формулой C₆HON₃BrF₃S показал следующие значения: Расчётное значение (m/z): 298.89704, Экспериментально полученное значение (m/z): 298.89709. Элементный анализ (% массовой доли) продемонстрировал: Расчётные значения: C - 24.03, H - 0.35, N -14.01; Экспериментальные данные: C - 24.42, H - 0.26, N - 13.69.

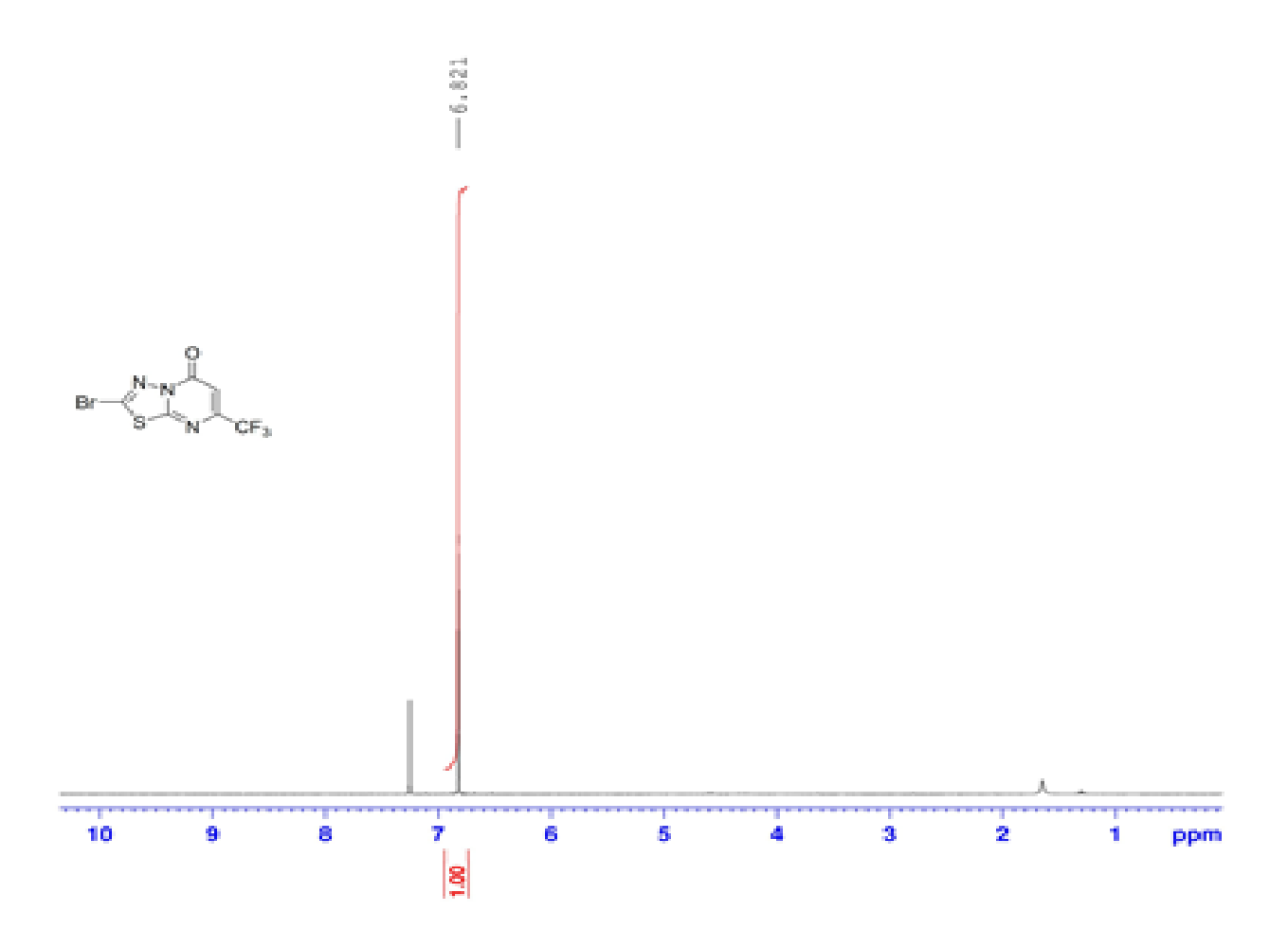


Рисунок 2.1. - ¹Н ЯМР спектр 2-бром-7-(трифторметил)-5-оксо-5H-1,3,4тиадиазоло[3,2-а]пиримидина

Незначительные расхождения между экспериментальными и теоретическими данными находятся в допустимых пределах погрешности аналитических методов, что свидетельствует о корректности структуры синтезированного соединения и её соответствии ожидаемой.

2.3. Методика синтеза 2-аминозамещенных 7-(трифторметил)-5-оксо-5H-1,3,4-тиадиазоло[3,2-а] пиримидин (5a-n)

Соединение 2-бромо-7-(трифторметил)-5-оксо - 5H-1,3,4 тиадиазоло[3,2-а] пиримидин (3) (1.0 экв., 0.333 ммоль) растворяли в метаноле, после чего добавляли 2 экв. анилина или соответствующих аминов (4). Реакционную смесь

оставляли при комнатной температуре и перемешивали в течение 5 часов, затем нагревали до кипения и поддерживали на кипении ещё 20 минут для завершения реакции. После завершения реакции смесь охлаждали до 25 °C и добавляли ледяную воду, что способствовало осаждению продукта. Полученный осадок отфильтровывали, промывали водой и высушивали в вакуумном эксикаторе.

Схема 2.2. - Получение 2-аминозамещенных 7-(трифторметил)-5-оксо-5H-1,3,4-тиадиазоло[3,2-а]пиримидина (5)

Синтез 2-фениламино-7-(трифторметил)-5-оксо-5H-1,3,4-тиадиазоло[3,2-а] пиримидина (5а). К раствору соединения 2-бромо-7-(трифторметил)-5-оксо-5H-1,3,4-иадиазоло[3,2-а] пиримидина (**3**) (0,333 ммоль, 1,0 экв.) в метаноле при комнатной температуре добавляли анилин (0,666 ммоль, 2,0 экв). Реакционную смесь перемешивали при комнатной температуре в течение 5 часов, после чего нагревали до кипения и продолжали нагревание еще 20 минут до завершения реакции. По окончании реакции смесь охлаждали до 25 °C и добавляли ледяную воду, способствуя осаждению продукта. Выпавший осадок отфильтровывали, промывали водой и высушивали в вакуумном эксикаторе.

Выход продукта составляет 94 мг (91 %), представляет жёлтое твёрдое вещество с температурой плавления 206–207 0 С. ЯМР 1 Н (CD₃SOCD₃), δ , м. д., Гц.: 6.87 (c, 1H, CH_{Het-ar}), 7.13 (т, 3 J = 7.36, 1H, CH_{Ap}), 7.44 (т, 3 J = 7.81, 2H, CH_{Ap}), 7.63(дд, 3 J = 8.75, 4 J = 1.12, 2H, CH_{Ap}), 10.86 (c, 1H, NH). ЯМР 13 С

(CD₃SOCD₃), δ , м. д., Гц.: 107.04 (к, ³J = 3.37, CH_{Het-ar}). 118.44 (CH_{Ap}), 120.77 (к, ¹J = 274.67, CF₃), 123.63 (CH_{Ap}), 129.44 (CH_{Ap}), 138.96 (C_{Ap}), 148.12 (к, ²J = 34.77, C-CF₃), 154.17 (С_{Ap}), 154.86 (С_{Ap}), 161.17 (С_{Ap}). ИК-спектр, v, см⁻¹: 585 (сред), 656 (сред), 691 (сред), 753 (сильн), 843 (сильн), 914 (сред), 1008 (сред), 1087 (сред), 1182 (сильн), 1267 (сред), 1275 (сред), 1334 (слаб), 1418 (сред), 1497 (сильн), 1555 (сред), 1615 (сред), 1657 (сильн), 1673 (сред), 1794, (слаб), 1954 (слаб), 3093 (слаб), 3205 (слаб), 3263 (слаб). Масс спектр FD MS m/z (%): 108(12), 117(9), 135(29), 165(12), 181(5), 242(3) 292(5), 313 (100). [M⁺,]. Массспектр высокого разрешения (HR MS, ESI) для соединения со структурной формулой $C_{12}H_7ON_4F_3S$ показал следующие значения: Расчётное значение (m/z): 312.02872, экспериментально полученное значение (m/z): 312.02858. Элементный анализ (% массовой доли) продемонстрировал: Расчётные значения: C, 46.17; H, 2.27; N, 17.95, экспериментальные данные: C, 45.98; H, 2.05; N, 17.81.

Синтез 2-(4-фторфенил) амино-7-(трифторметил)-5-оксо-5H-1,3,4-тиадиазоло[3,2-а]пиримидина (5b). К раствору соединения 2-бромо-7(трифторметил) 5-оксо-5H-1,3,4-тиадиазоло[3,2-а] пиримидина (3) (0,333 ммоль, 1,0 экв.) в метаноле при комнатной температуре добавляли 4-фторанилин (0,666 ммоль, 2,0 экв.). Реакционную смесь перемешивали при комнатной температуре в течение 5 часов, после чего нагревали до кипения (рефлюкс) и продолжали нагревание еще 20 минут для завершения реакции. По окончании реакции смесь охлаждали до 25 °C и добавляли ледяную воду, способствуя осаждению продукта. Выпавший осадок отфильтровывали, промывали водой и высушивали в вакуумном эксикаторе.

$$F = \left(\begin{array}{c} H \\ N \\ N \end{array}\right) \left(\begin{array}{c} O \\ N \\ S \\ Sb \end{array}\right) \left(\begin{array}{c} O \\ CF_3 \end{array}\right)$$

Выход продукта составляет 97 мг (90 %), представляет жёлтое твёрдое вещество с температурой плавления 321-322 0 C. ЯМР 1 H (CD₃SOCD₃), δ , м. д.,

 Γ ц.: 6.85 (s, 1H, CH_{Het-ar}), 7.23-7.33 (м, 2H, CH_{Ap}), 7.61-7.66 (м, 2H, CH_{Ap}), 10.86 (c, 1H, NH). SMP^{-13}C (CD₃SOCD₃), δ , M. J., Γ II.: 106.64 (K, $^{3}\text{J} = 3.10$, CH_{Het-ar}), 115.66 (μ , $^2J = 22.67$, $^2CH_{Ap}$), 119.88 (μ , $^3J = 7.96$, $^2CH_{Ap}$), 120.35 (μ , $^1J = 275.71$, CF_3), 136.01 (д, ${}^4J = 2.75$, C_{Ap}), 147.71 (к, ${}^2J - 35.21$, C-CF₃), 153.84 (C_{Ap}), 154.43 (C_{Ap}) , 157.78 (д. $^{1}J = 240.32$, C-F), 160.76 (C_{Ap}) . ИК-спектр, v, см⁻¹: 108(5), 126(11), 137(11), 155(29), 165(17), 196(3), 262(2), 303(2), 330(100), 538 (слаб). 684 (сред), ззтз775 (сред), 835 (сильн), 917(сред), 1010 (сред), 1085 (сред), 1134 (сред), 1195 (сред), 1237 (сред), 1277(сильн), 1320 (слаб), 1420 (сильн), 1494 (сильн), 1558 (сред), 1583 (сред), 3026 (слаб), 3265 (слаб), 3080 (сред), 3220 (слаб). Масс спектр FD MS m/z (%): $[M^+,]$. Масс-спектр высокого разрешения (HR MS, ESI) для соединения со структурной формулой $C_{12}H_6ON_4F_3S$ показал следующие значения: Расчётное значение (m/z): 330.01931, экспериментально полученное значение (m/z): 330.01927. Элементный анализ (% массовой доли) продемонстрировал: Расчётные значения: С, 43.65; Η, 1.84; N. экспериментальные данные: C, 43.38; H, 1.59; N, 16.73.

Синтез 2-(3-метоксифенил) амино-7-(трифторметил)-5-оксо-5H-1,3,4тиадиазоло[3,2-а]пиримидина (5с). К раствору 2-бромо-7-(трифторметил)-5оксо-5H-1,3,4-тиадиазоло[3,2-а] пиримидина (3) (0,333 ммоль, 1,0 экв.) в метаноле при комнатной температуре при перемешивании добавляли 3метоксианилин (0,666 ммоль, 2,0 экв.). Реакционную смесь выдерживали при перемешивании при комнатной температуре в течение 5 часов, после чего доводили до кипения и нагревали при обратном холодильнике в течение 20 минут. По завершении реакции смесь охлаждали до комнатной температуры $(25 \, {}^{\circ}\text{C})$, после чего приливали ледяную воду (20 мл), что приводило к осаждению целевого продукта. Образовавшийся осадок отделяли фильтрованием, промывали водой до нейтральной реакции промывных вод и высушивали в вакуумном эксикаторе над Р₂О₅ до постоянной массы.

Выход продукта составляет 90 мг (60 %), представляет собой белое твёрдое вещество с температурой плавления 296 - 297 °C. ЯМР ¹H (CD₃SOCD₃), δ , м. д., Γ ц: 3.77 (c, 3H, OCH₃, 6.73 (дд, ${}^{3}J = 8.13$, ${}^{4}J = 1.97$, 1H, CH_{Ap}), 6.85 (c, 1H, CH_{Het-ar}), 7.12 (дд, ${}^{3}J = 8.06$, ${}^{4}J = 1.43$, 1H, CH_{Ap}), 7.27-7.34 (м, 2H, CH_{Ap}), 10.86 (с, 1H, NH). ЯМР ¹³С (CD₃SOCD₃) δ, м. д., Гц.: 55.11 (OCH₃), 104.69 (С_{Ap}), 106.96 $(\kappa, {}^{3}J = 3.32, 108.57 \text{ (CH}_{Ap}), \text{CH}_{Het-ar}), 110.75 \text{ (CH}_{Ap}), 120.67 \text{ } (\kappa, {}^{1}J = 274.63, \text{CF}_{3}),$ 130.21 (CH_{Ap}), 139.92 (CH_{Ap}), 148.03 (κ , $^2J = 34.91$, C-CF₃), 154.05 (C_{Ap}), 154.76 (C_{Ap}), 159.93 (CAr_{Ap}), 161.04 (C_{Ap}), ИК-спектр, v, см⁻¹: 551 (слаб), 658 (сред), 704(сред), 818 (сред), 834 (сред), 954 (сред), 1043(слаб), 1088 (слаб), 1148 (сильн), 1272 (сильн), 1297 (слаб), 1336 (слаб), 1422 (сред), 1496 (сильн), 1566 (сильн), 1664 (сильн), 2955 (слаб), 3093 (слаб), 3223 (слаб), 3276 (слаб). Масс спектр FD MS m/z (%):106(12), 138(7), 167(21), 181(10), 313(5), 342(26), 343 (100), [M⁺,]. Масс-спектр высокого разрешения (HR MS, ESI) для соединения со структурной формулой $C_{13}H_9O_2N_4F_3S$ показал следующие значения: Расчётное значение (m/z): 342.03929, экспериментально полученное (m/z): 342.03928. Элементный анализ (% массовой доли) продемонстрировал: Расчётные значения: C, 45.61; H, 2.65; N, 16.38, экспериментальные данные: C, 45.55; H, 2.36; N, 16.06.

Синтез 2-(4-этоксифенил)амино-7-(трифторметил)-5-оксо-5H-1,3,4 тиадиазоло[3,2-а]пиримидина (5d). В круглодонную колбу вносили 2-бромо-7-(трифторметил)-5-оксо-5H-1,3,4-тиадиазоло[3,2-а] (3) пиримидин (0,333)ммоль, 1,0 экв.) и растворяли в метаноле при комнатной температуре. К полученному раствору при перемешивании добавляли 4-этоксианилин (0,666 ммоль, 2,0 экв.). Реакционную смесь перемешивали при комнатной температуре в течение 5 часов, после чего нагревали до кипения (рефлюкс) и продолжали нагревание ещё 20 минут. По завершении реакции смесь

охлаждали до 25 °C, затем добавляли ледяную воду, вызывая осаждение продукта. Образовавшийся осадок отфильтровывали, промывали холодной водой исушили в вакуумном эксикаторе до постоянной массы.

Выход продукта составляет 104 мг (90 %), представляет белое, желтое вещество с температурой плавления 287 - 288 ⁰C. ЯМР ¹H (CD₃SOCD₃), δ , м. д., Γ ц: 1.33 (т, ${}^{3}J = 6.95$, 3H, 4.01 (с, ${}^{3}J = 6.98$, 2H, CH_2), CH_3), 6.85 (с, 1H, CH_{Het-ar}), 6.97 (д, ${}^{3}J = 9.06$, 2H, CH_{Ap}), 7.50 (д, ${}^{3}J = 9.05$, 2H, CH_{Ap}), 10.65 (с, 1H, NH), ЯМР ¹³С (CD₃SOCD₃), δ , м. д., Γ ц.: 14.64 (CH₃), 63.24 (OCH₂), 106.86 (к, ³J = 3.28, $CH_{\Gamma e_{Tb}-Ap}$), 115.00 (CH_{Ap}), 120.28 (CH_{Ap}), 120.71 (κ , ${}^{1}J = 274.70$, CF_{3}), 131.98 (C_{Ap}), 147.92 (κ , $^2J = 35.21$, C-CF₃), 154.36 (C_{Ap}), 154.73 (C_{Ap}), 154.92 (C_{Ap}), 161.02 (C_{Ap}). ИК-спектр, v, cм⁻¹: 580 (сред), 660 (сред), 793(слаб), 835 (сильн), 917(сред), 1047 (сред), 1186 (сред), 1272 (сред), 1392 (слаб), 1430 (слаб), 1480 (сред), 1500 (сильн), 1587 (сред), 1662 (сильн), 3028 (слаб), 3074 (слаб), 3204 (слаб), 3264 (слаб). Масс спектр FD MS m/z (%): (100), 92(4), 108(6), 133(11), 135(12), 165(6), 181(12), 196(13), 326(20), 327(24), [М+,]. Масс-спектр высокого разрешения (HR MS. ESI) ДЛЯ соединения co структурной формулой $C_{14}H_{11}O_2N_4F_3S$ показал следующие значения: Расчётное значение (m/z): 356.05494, экспериментально полученное значение (m/z): 356.05397. Элементный анализ (% массовой доли) продемонстрировал: Расчётные значения: C, 47.18; H, 3.12; N, 15.73, экспериментальные данные: C, 47.33; H, 2.87; N, 15.46.

Синтез 2-(4-і-пропилфенил)амино-7-(трифторметил)-5-оксо-5H-1,3,4-тиадиазоло[3,2-а]пиримидина (5е). В круглодонную колбу снабжённую магнитной мешалкой и обратным холодильником, загружали 2-бромо-7-(трифторметил)-5-оксо-5H-1,3,4-тиадиазоло[3,2-а] пиримидин (3) (0,333 ммоль, 1,0 экв.) и растворяли в метаноле при комнатной температуре. К полученному

раствору при перемешивании добавляли 4-изопропиланилин (0,666 ммоль, 2,0 экв.). Реакционную смесь перемешивали при температуре 20 – 25 °C в течение 5 часов, затем нагревали до кипения (рефлюкс) и выдерживали при этой температуре ещё 20 минут. После завершения реакции смесь охлаждали до комнатной температуры (25 °C), приливали ледяную воду вызывая осаждение продукта. Образовавшийся осадок отфильтровывали под вакуумом, промывали холодной водой и сушили в вакуумном эксикаторе над P₂O₅ до постоянной массы.

$$i$$
Pr \sim
 N
 N
 N
 N
 CF_3

Выход продукта составляет 102 мг (87 %), представляет коричневое твёрдое вещество с температурой плавления 242 — 243 ⁰C. ЯМР ¹Н (CD3SOCD3), δ , M. A., Γ II: 2.82-2.94 (M, 1H, CHi-Pr), 1.21 (A, 3J = 6,91, 6H, CH₃). 6.85 (c, 1H, CH _{Het-ar}), 7.28 (μ , 3J = 8.48, 2H, CHAp), 7.53 (μ , 3J = 8.59, 2H, CHAp), 10.77 (c, 1H, NH). ЯМР ¹³С (CD₃SOCD₃) δ, м. д., Гц.: 23.87 (CH3), 32.84 (CHiпр), 106.88 (к, 3J = 2.85, CH _{Het-Ar}), 118.64 (CH_{Ap}), 120.71 (к, 1J = 274.85, CF₃), 127.07 (CHAp), 136.67 (C_{Ap}), 143.85 (C_{Ap}), 147.96 (κ , 2J = 34.92, C-CF₃), 154.18 (САр), 154.76 (С_{Ар}), 161.06 (С_{Ар}). ИК-спектр, v, см-1: 3262 (слаб), 542 (сред), 658 (слаб), 761 (слаб), 841 (сред), 914 (сред), 1012 (слаб), 1138 (сильн), 1184 (сред), 1276 (сред), 1417 (сред), 1501 (сильн), 1613(сред), 1662 (сильн), 2966 (слаб), 3200 (слаб). Масс спектр FD MS m/z (%): 92(9), 104(4), 117(9), 118(8), 143(7), 146(9), 158(3), 176(5) 338(100), 355 (49). [М+,]. Масс-спектр высокого (HR MS. ESI) разрешения ДЛЯ соединения co структурной формулой $C_{15}H_{13}ON_4F_3S$ показал следующие значения: Расчётное значение (m/z): 354.07568, экспериментально полученное значение (m/z): 354.07544. Элементный анализ (% массовой доли) продемонстрировал: Расчётные значения C, 58.85; H, 3.71; N, 15.82, экспериментальные данные: C, 58.45; H, 3.57; N, 15.37.

2-(4-аминофенил)амино-7-(трифторметил)-5-оксо-5H-1,3,4-Синтез тиадиазоло[3,2-а]пиримидина (5f). В круглодонную колбу оснащённую магнитной мешалкой и обратным холодильником, загружали 2-бромо-7-(трифторметил)-5-оксо-5H-1,3,4-тиадиазоло[3,2-а] пиримидин (3) в количестве 0,333 ммоль (1,0 экв.) и растворяли в метанола при комнатной температуре. К полученному раствору при интенсивном перемешивании добавляли 1,4фенилендиамин в количестве 0,666 ммоль (2,0 экв.). Реакционную смесь выдерживали при температуре окружающей среды (20 – 25 °C) в течение 5 часов, обеспечивая гомогенность и эффективный контакт реагентов. Для завершения реакции смесь подвергали нагреванию до кипения с обратным холодильником и выдерживали при данной температуре в течение 20 минут. По окончании реакции реакционную смесь охлаждали до комнатной температуры (около 25 °C) и к ней медленно добавляли предварительно охлаждённую воду что способствовало осаждению целевого продукта. Выпавший осадок отделяли фильтрованием под вакуумом, промывали холодной дистиллированной водой до удаления растворимых примесей и сушили в вакуумном эксикаторе над фосфорным ангидридом до постоянной массы.

Выход продукта составляет 72 мг (65 %), представляет зелёное твёрдое вещество с температурой плавления 313-314 $^{\circ}$ C. ЯМР 1 H (CD₃SOCD₃), δ , м. д., Γ ц: 5.08 (c, 2H, NH₂), 6.56 (д, 3J = 8.87, 2H, CH_{Ap}), 6.78 (c, 1H, CH $_{Het-Ar}$), 7.18 (д, 3J = 8.76, 2H, CHAp), 10.37 (c, 1H, 10.37 (c, 1H, 10.37 (CD3SOCD3), 10.37 (CD3SOCD3), 10.37 (CHAp), 10.37 (CHAp), 10.37 (CHAp), 10.37 (CHAp), 10.37 (CHAp), 10.37 (CHAp), 10.37 (CAp), 10.37 (CAP

3477 (слаб). Масс спектр FD MS m/z (%): 93(20), 108(12), 118(5), 125(10), 133(58), 132(19), 135(5), 166(3), 180(4), 327 (100), [M+,]. Масс-спектр высокого разрешения (HR MS, ESI) для соединения со структурной формулой $C_{12}H_8ON_5F_3S$ показал следующие значения: Расчётное значение (m/z): 328.04745, экспериментально полученное значение (m/z): 328.04826. Элементный анализ (% массовой доли) продемонстрировал: Расчётные значения C, 44.03; H, 2.47; N, 21.41, экспериментальные данные: C, 43.88; H, 2.07; N, 21.17.

Синтез 2-аллиламино-7-(трифторметил)-5-оксо-5H-1,3,4тиадиазоло[3,2-а]пиримидина (5g). В круглодонную колбу оснащённую магнитной мешалкой и обратным холодильником, загружали 0,333 ммоль (1,0 экв.) 2-бромо-7-(трифторметил)-5-оксо-5H-1,3,4-тиадиазоло[3,2-а]пиримидина (3). К соединению добавляли метанол и полученный раствор тщательно перемешивали ДО полного растворения. Затем при интенсивном перемешивании вводили аллиламин в количестве 0,666 ммоль (2,0 экв.). Реакционную смесь выдерживали при температуре 20 - 25 0 C в течение 5 часов для обеспечения полного взаимодействия реагентов. По окончании выдержки реакционную смесь нагревали до кипения с обратным холодильником и кипятили в течение 20 минут для завершения реакции замещения. После охлаждения смеси до комнатной температуры (25 ⁰C) к ней медленно добавляли охлаждённую дистиллированную воду (около 20 мл). способствовало выпадению осадка целевого продукта. Полученный осадок отделяли вакуумной фильтрацией, промывали холодной дистиллированной водой до удаления растворимых примесей и сушили в вакуумном эксикаторе над фосфорным ангидридом до постоянной массы.

Выход продукта составляет 70 мг (75 %), представляет твёрдое белое вещество с температурой плавления 248 - 250 °C. ЯМР ¹H (CDCl₃), δ , м. д., Γ ц: 3.98 (μ , J = 5.07, 2H, CH₂), 5.16-5.35 (μ , 2H, CH=CH₂), 5.86-6.00 (μ , 1H, CH=CH₂), 6.75 (c, 1H, CH_{Het-ar}), 8.55 (c, 1H, NH). ЯМР ¹³С (CDCl₃), δ, м. д., Гц.: 48.87 (CH₂), 106.95 (κ , ³J = 1.78, CH_{Het-ar}), 118.84 (CH), 120.48 (κ , ¹J = 274.31, CF₃), 132.15 (CH₂), 150.03(κ , ²J = 35.21, C-CF₃), 156.10 (C_{Ap}), 160.17 (C_{Ap}), 161.15 (С _{Ар}). ИК-спектр, v, см⁻¹: 3318 (сильн), 3104 (слаб), 2913 (слаб), 2845 (слаб), 1657 (сильн), 1582 (сильн), 1497 (сильн), 1422 (сильн), 1278 (сильн), 1175 (сильн), 1133 (сильн), 1084 (сред), 916 (сред), 852 (сред), 759 (сред), 661 (сред), 531 (сред). Macc спектр FD MS m/z (%): 277 (100), 276(9), 258(13) 195(26), 181(29), 167(19), 164(12), 137(17), 122(9), 100(8), 94(19), [М⁺,]. Масс-спектр высокого разрешения (HR MS, ESI) для соединения со структурной формулой $C_9H_7ON_4F_3S$ показал следующие значения: Расчётное значение (m/z): 276.02872, экспериментально полученное значение (m/z): 276.02867. Элементный анализ (% массовой доли) продемонстрировал: Расчётные значения С, 39.14; Н, 2.56; N, 20.29, экспериментальные данные: С, 38.97; H, 2.44; N, 19.86.

Синтез 2-н-пропиламино-7-(трифторметил)-5-оксо-5H-1,3,4-тиадиазоло[3,2-а]пиримидина (5h). К раствору 2-бромо-7-(трифторметил)-5-оксо-5H-1,3,4-тиадиазоло[3,2-а]пиримидина (3) (0,333 ммоль, 1,0 экв.) в метаноле при комнатной температуре добавляли п-пропиламин (0,666 ммоль, 2,0 экв.). Реакционную смесь перемешивали при комнатной температуре в течение 5 часов, после чего нагревали до кипения и продолжали нагревание ещё 20 минут для завершения реакции. По окончании реакции смесь охлаждали до 25 °C и добавляли ледяную воду, способствуя осаждению продукта. Выпавший осадок отделяли фильтрованием, промывали холодной водой и сушили в вакуумном эксикаторе до постоянной массы.

$$n$$
Pr $-$ N N N CF_3

Выход продукта составляет 52 мг (30 %), представляет твёрдое белое вещество с температурой плавления 253 - 255 ⁰C. ЯМР ¹H (CDCl₃), δ , м. д., Γ ц: 1.00 (T, ${}^{3}J = 7.25$, 3H, CH₃), 1.66-1.81 (M, 2H, CH₂), 3.41 (K, ${}^{3}J = 6.64$, 2H, CH₂), 6.74 (c, 1H, CH_{Het-ar}), 6.87 (c, 1H, NH). ЯМР ^{13}C (CDCl₃), δ , м. д., Γ ц.: 11.33 (CH₃), 48.55 (CH₂), 22.83 (CH₂), 107.18 (κ , ³J = 2.84, CH_{Het-ar}), 120.55 (κ , ¹J = 274.33, CF₃), 149.36 (κ , ²J = 36.15, C-CF₃), 156.02 (C_{Ap}), 160.25 (C_{Ap}), 162.86 (C_{Ap}). ИК-спектр, v, см⁻¹: 572 (слаб), 704 (сильн), 855 (сред), 928 (слаб), 1006 (слаб), 1082 (слаб), 1084 (сред), 1125 (сильн), 1278 (сред), 1505 (сильн), 1662 (сильн), 1596 (сильн), 2871 (слаб), 2974 (слаб), 3101 (слаб), 3280 (сред). Масс спектр FD MS m/z (%):93(12), 107(3), 122(5), 164(12), 167(13), 181(14), 195(19), 237(100), 248(39), 251(22), 258(10), 279 (50), [М+,]. Масс-спектр высокого разрешения (HR MS, ESI) для соединения со структурной формулой $C_9H_9ON_4F_3S$ показал следующие значения: Расчётное значение (m/z): 278.04438, экспериментально полученное значение (m/z): 278.04426. Элементный анализ (% массовой доли) продемонстрировал: Расчётные значения С, 38.86; Н, 3.27; N, 20.15, данные: C, 38.83; H, 3.13; N, 19.58.

Синтез 2-п-бутиламино-7-(трифторметил)-5-оксо-5H-1,3,4-тиадиазоло[3,2-а]пиримидина (5і). К раствору 2-бромо-7-(трифторметил)-5-оксо-5H-1,3,4-тиадиазоло[3,2-а]пиримидина (3) (0,333 ммоль, 1,0 экв.) в метаноле при комнатной температуре добавляли п-бутиламин (0,666 ммоль, 2,0 экв.). Полученную реакционную смесь перемешивали при комнатной температуре в течение 5 часов, затем нагревали до кипения и продолжали кипячение ещё 20 минут для завершения реакции. По окончании реакции смесь охлаждали до 25 °C и медленно добавляли ледяную воду, способствуя осаждению продукта. Выпавший осадок отделяли фильтрованием, промывали холодной водой и сушили в вакуумном эксикаторе до постоянной массы.

$$n$$
Bu $-$ N N N CF_3

Выход продукта составляет 64 мг (66 %), представляет твёрдое белое вещество с температурой плавления 232 - 233 ⁰C. ЯМР ¹H (CDCl₃), δ , м. д., Γ ц: $0.96 \text{ (T, }^{3}\text{J} = 7.28, 3\text{H}, \text{CH}_{3}), 1.34-1.48 \text{ (M, 2H, CH}_{2}), 1.63-1.72 \text{ (M, 2H, CH}_{2}), 3.44 \text{ (K, CH}_{3}), 1.84-1.48 \text{ (M, 2H, CH}_{2}), 1.63-1.72 \text{ (M, 2H, CH}_{3}), 1.84-1.48 \text{ (M, 2H,$ $^{3}J = 6.35$, 2H, CH₂), 6.74 (c, 1H, CH_{Het-ar}), 6.79 (c, 1H, NH). ^{13}C (CDCl₃), δ , M. д., Γ ц.: 160.16 (C_{Ap}), 160.07 (C_{Ap}), 155.91 (C_{Ap}), 149.79 (к, 2 J = 36.08, CCF₃), 120.42 (κ , ¹J = 274.97, CF₃), 107.01 (κ , ³J = 3.21, CH_{Het-ar}), 44.56 (CH₂), 31.37 (CH₂), 19.91 (CH₂), 13.66 (CH₃). ИК-спектр, v, см⁻¹: 3305 (сред), 2961 (слаб), 2937 (слаб), 1660 (сильн), 1590 (сильн), 1463 (сред), 1422 (сред), 1274 (сильн), 1143 (сильн), 1084 (сред), 1012 (сред), 848 (сильн), 704(сред), 657 (слаб), 615 (слаб), 534 (слаб). Масс спектр FD MS m/z (%): 293 (39), 272(20), 265(61), 237(76), 220(12), 195(100), 180(26), 167(18), 164(26), 161(15), 147(10), 137(25), 220(12), 107(6), 97(24), 94(23), [М+,]. Масс-спектр высокого разрешения (НК MS, ESI) для соединения со структурной формулой $C_{10}H_{11}ON_4F_3S$ показал следующие значения: Расчётное значение (m/z): 292.06002, экспериментально полученное значение (m/z): 292.06002. Элементный анализ (% массовой доли) продемонстрировал: Расчётные значения С, 41.08; Н, 3.78; N, 19.16, экспериментальные данные: C, 40.84; H, 3.43; N, 18.95.

Синтез 2-п-пентиламино-7-(трифторметил)-5-оксо-5H-1,3,4-тиадиазоло[3,2-а]пиримидина (5j). К раствору 0,333 ммоль (1,0 экв.) 2-бромо-7-(трифторметил)-5-оксо-5H-1,3,4-тиадиазоло[3,2-а]пиримидина (3) в метаноле при комнатной температуре добавляли 0,666 ммоль (2,0 экв.) п-пентиламина. Реакционную смесь перемешивали при 20 – 25 °C в течение 5 часов. Затем смесь нагревали до кипения с обратным холодильником и выдерживали при кипении 20 минут для завершения реакции. После охлаждения до комнатной температуры (25 °C) к смеси медленно добавляли охлаждённую воду, что вызывало выпадение осадка. Осадок отделяли фильтрацией под вакуумом, промывали холодной водой и сушили в вакуумном эксикаторе до постоянной массы.

$$n$$
Pent N
 N
 N
 N
 CF_3

Выход продукта составляет 74 мг (72 %), представляет твёрдое белое вещество с температурой плавления 219 - 220 °C. ЯМР ¹H (CDCl₃), δ , м. д 6.74 (c, 1H, CH_{Het-ar}), 3.43 (κ , $^{3}J = 6.52$, 2H, CH_{2}), 1.64-1.75 (κ , 2H, CH_{2}), 1.32-1.38 (κ , 4H, CH₂), 0.92 (т, ^{3}J = 7.12, 3H, CH₃). ЯМР 13 С (CDCl₃), δ , м. д., Γ ц.: 160.31 (C_{Ap}) , 160.13 (C_{Ap}) , 155.93 (C_{Ap}) , 149.8 $(\kappa, {}^{2}J = 36., \Gamma_{H}: 6.95 (c, 1H, NH), 08, CCF_{3})$, 120.40 (κ , $^{1}J = 274.85$, CF_{3}), 106.92 (κ , $^{3}J = 3.01$, CH_{Het-ar}), 46.94 (CH_{2}), 29.05 (CH₂), 28.76(CH₂), 22.28 (CH₂), 13.92 (CH₃). ИК-спектр, v, см⁻¹: 3312 (сред), 2960 (слаб), 2935 (слаб), 1661 (сильн), 1589 (сильн), 1500 (сильн), 1423 (сред), 1391 (сред), 1275 (сред), 1143 (сильн), 1082 (сред), 1013 (слаб), 846 (сильн), 748 (слаб), 705(сильн), 656 (сред), 533 (слаб). Масс спектр FD MS m/z (%): 307 (27), 292(13), 286(17) 277(46), 272(15), 262(10), 251(40), 248(72), 236(16), 235(100), 220(10), 195(88), 180(22), 148(32), 165(15), 164(20), 163(13), 137(20), 112(20), 94(19), $[M^+,]$. Масс-спектр высокого разрешения (HR MS, ESI) для соединения со структурной формулой $C_{11}H_{13}ON_4F_3S$ показал следующие значения: Расчётное значение (m/z): 306.07567, экспериментально полученное значение (m/z): 306.07526. Элементный анализ (% массовой доли) продемонстрировал: Расчётные значения C, 43.12; H, 4.27; N, 18.28. экспериментальные данные: C, 43.17; H, 4.04; N, 18.14.

Синтез 2-[2-(диметиламино)-этил]амино-7-(трифторметил)-5-оксо-5H-1,3,4-тиадиазоло[3,2-а]пиримидина (5k). К раствору 0,333 ммоль (1,0 экв.) 2-бромо-7-(трифторметил)-5-оксо-5H-1,3,4-тиадиазоло[3,2-а]пиримидина (3) в метаноле при комнатной температуре добавляли 0,666 ммоль (2,0 экв.) 2-(диметиламино)этаноламина. Реакционную смесь перемешивали при $20-25\,^{\circ}$ C в течение 5 часов. Затем смесь нагревали до кипения с обратным холодильником и выдерживали при кипении 20 минут для завершения реакции. После охлаждения до комнатной температуры (25 $^{\circ}$ C) к смеси медленно

добавляли охлаждённую воду, что приводило к выпадению осадка. Осадок отделяли фильтрацией под вакуумом, промывали холодной водой и сушили в вакуумном эксикаторе до постоянной массы.

$$Me_2N$$
 N
 S
 N
 CF_3

Выход продукта составляет 46 мг (45 %), представляет твёрдое жёлтое вещество с температурой плавления 243 - 244 0 C. ЯМР 1 H (CDCl₃), δ , м. д., Γ ц: 8.94 (T, ${}^{3}J = 5.17$, ${}^{1}H$, NH), 6.72 (c, ${}^{1}H$, CH_{Het-ar}), 4.01 (K, ${}^{3}J = 5.33$, 2H, CH₂), 3.45 $(T, ^3J = 5.21, 2H, CH₂), 2.95 (c, 6H, CH₃). ЯМР ¹³С (CDCl₃), <math>\delta$, м. д., Γ ц.: 161.35 (C_{Ap}) , 158.15 (C_{Ap}) , 155.92 (C_{Ap}) , 149.42 $(\kappa, {}^{2}J = 36.14, C-CF_{3})$, 120.30 $(\kappa, {}^{1}J =$ 276.16, CF₃), 107.21 (κ , ³J = 3.20, CH_{Het-ar}), 57.11 (CH₂), 43.85 (CH₃), 39.01 (CH₂). ИК-спектр, v, см⁻¹: 3278 (сред), 2983 (слаб), 2953 (слаб), 2882 (слаб), 2861 (слаб), 2780 (слаб), 1675 (сильн), 1570 (сильн), 1485 (сред), 1426(сред), 1340 (слаб), 1274 (сред), 1141 (сильн), 1011 (слаб), 918 (слаб), 844 (сильн), 702 (сильн), 657(слаб), 678 (слаб). Масс спектр FD MS m/z (%): 306 (2), 264(5), 248(2), 197(2), 180(2), 161(4), 94(6). Macc-спектр высокого разрешения (HR MS, ESI) для соединения со структурной формулой $C_{11}H_{13}ON_4F_3S$ показал следующие значения: Расчётное значение (m/z): 308.07875, экспериментально полученное значение (m/z): 308.07907, (ESI, M + Na) вычислен для $C_{10}H_{12}ON_5F_3S$: 330.06068, найдено: 330.06071. Элементный анализ (% массовой доли) продемонстрировал: Расчётные значения: С, 39.08; Н, 3.93; N, 22.78, экспериментальные данные: C, 39.05; H, 3.67; N, 22.36.

Синтез 2-метилгидразинил-7-(трифторметил)-5-оксо-5H-1,3,4-тиадиазоло[3,2-а]пиримидина (5I). К раствору 0,333 ммоль (1,0 экв.) 2-бромо-7-(трифторметил)-5-оксо-5H-1,3,4-тиадиазоло[3,2-а]пиримидина (3) в метаноле при комнатной температуре добавляли 0,666 ммоль (2,0 экв.) метилгидразина. Реакционную смесь перемешивали при 20-25 $^{\circ}$ C в течение 5 часов. Затем реакционную смесь нагревали до кипения с обратным холодильником и выдерживали при кипении 20 минут для завершения реакции. После

охлаждения до комнатной температуры (25 °C) к смеси медленно добавляли охлаждённую воду, что приводило к выпадению осадка. Осадок отделяли фильтрацией под вакуумом, промывали холодной водой и сушили в вакуумном эксикаторе до постоянной массы.

Выход продукта составляет 47 мг (51 %), представляет твёрдое жёлтое вещество с температурой плавления 272 - 273 ⁰C. ЯМР ¹H (CD₃SOCD₃), δ , м. д., Γ ц: 6.72 (c, 1H, CH_{Het-ar}), 5.76 (c, 2H, NH_2), 3.25 (c, 3H, CH_3). ЯМР ^{13}C (CD_3SOCD_3) , δ , м. д., Γ ц.: 165.21 (C_{Ap}) , 162.43 (C_{Ap}) , 154.77 (C_{Ap}) , 147.34 (K_{Ap}) 34.65, C-CF₃), 120.65 (κ , ¹J = 274.8, CF₃), 106.25 (κ , ³J = 3.03, CH_{Het-ar}), 39.87 (СН₃). ИК-спектр, v, см⁻¹: 3283 (слаб), 3236 (слаб), 3196 (слаб), 1650 (сильн), 1505 (сильн), 1409 (сильн), 1384 (сред), 1292 (сред), 1181 (сильн), 1124 (сильн), 1058 (сред), 1000 (слаб), 849 (сред), 737 (сред), 646 (слаб), 623 (слаб). Масс спектр FD MS m/z (%): 266 (99), 245(13), 221(10), 180(25), 163(92), 147(5), 121(8), 94(18), [M⁺,]. Масс-спектр высокого разрешения (HR MS, ESI) для соединения со структурной формулой С₇H₆ON₅F₃S показал следующие значения: Расчётное значение (m/z): 265.02397, экспериментально полученное 265.2408. Элементный (% значение (m/z): анализ массовой доли) продемонстрировал: Расчётные значения С, 31.70; H, 2.27; N, 26.42, экспериментальные данные: C, 31.65; H, 2.07; N, 25.96.

Синтез 2-ди-п-бутиламино-7-(трифторметил)-5-оксо-5H-1,3,4-тиадиазоло[3,2-а]пиримидина (5m). К раствору 0,333 ммоль (1,0 экв.) 2-бромо-7-(трифторметил)-5-оксо-5H-1,3,4-тиадиазоло[3,2-а]пиримидина (3) в метаноле при комнатной температуре добавляли 0,666 ммоль (2,0 экв.) ди-п-бутиламина. Реакционную смесь перемешивали при 20–25 ^оС в течение 5 часов. Затем смесь нагревали до кипения с обратным холодильником и выдерживали при кипении 20 минут для завершения реакции. После охлаждения до

комнатной температуры (25 °C) к смеси медленно добавляли охлаждённую воду, что способствовало выпадению осадка. Осадок отделяли фильтрацией под вакуумом, промывали холодной водой и сушили в вакуумном эксикаторе до постоянной массы.

Выход продукта составляет 77 мг (67 %), представляет твёрдое жёлтое вещество с температурой плавления 94 - 96 °C. ЯМР ¹H (CD₃SOCD₃), δ , м. д., Γ ц: 6.77 (c, 1H, CH_{Het-ar}), 3.42 (т, ${}^{3}J = 7.44$, 4H, CH₂), 1.55-1.66 (м, 4H, CH₂), 1.24-1.37 (м, 4H, CH₂), 0.91 (т, ${}^{3}J = 7.32$, 6H, CH₃). ЯМР 13 С (CD₃SOCD₃), δ , м. д., Γ ц.: 161.31 (C_{Ap}), 159.01 (C_{Ap}), 154.71 (C_{Ap}), 147.44 (κ , $^2J = 34.15$, CCF₃), 120.72 (κ , 1J = 274.57, CF₃), 106.54 (κ , ^{3}J = 3.15, CH_{Het-ar}), 50.84 (CH₂), 28.73 (CH₂), 19.36(CH₂), 13.68 (CH₃). ИК-спектр, v, см⁻¹: 2963 (слаб), 2936 (слаб), 2871 (слаб), 1698 (сильн), 1569 (сильн), 1518 (сильн), 1466 (слаб), 1432 (слаб), 1274 (сред), 1175 (сред), 1145 (сильн), 1110 (слаб), 1005 (слаб), 846 (сред), 701(сред), 528 (сред). Масс спектр FD MS m/z (%): 349 (20), 265 (22), 264(33), 251(19), 248(100), 181(13), 154(27), 112(12), 98(8), [М+,]. Масс-спектр высокого разрешения (HR MS, ESI) для соединения со структурной формулой $C_{14}H_{19}ON_4F_3S$ показал следующие значения: Расчётное значение (m/z): полученное 348.12262, экспериментально значение (m/z): 348.12238. Элементный анализ (% массовой доли) продемонстрировал: Расчётные значения С, 50.78; Н, 6.66; N, 14.80, экспериментальные данные: С, 50.93; Н, 6.48; N, 14.46.

Синтез 2-метилфениламино-7-(трифторметил)-5-оксо-5H-1,3,4-тиадиазоло[3,2-а]пиримидина (5n). К раствору 0,333 ммоль (1,0 экв.) 2-бромо-7-(трифторметил)-5-оксо-5H-1,3,4-тиадиазоло[3,2-а]пиримидина (3) в метаноле при комнатной температуре добавляли 0,666 ммоль (2,0 экв.) 2-метилфениламина. Реакционную смесь перемешивали при 20-25 °C в течение

5 часов. Далее смесь нагревали до кипения с обратным холодильником и выдерживали при кипении 20 минут для завершения реакции. После охлаждения до комнатной температуры (25 °C) к смеси медленно добавляли охлаждённую воду, что способствовало выпадению осадка. Осадок отделяли фильтрацией под вакуумом, промывали холодной водой и сушили в вакуумном эксикаторе до постоянной массы.

$$\begin{array}{c}
 & \stackrel{\text{Me}}{\longrightarrow} & \stackrel{\text{N}}{\longrightarrow} & \stackrel{\text{O}}{\longrightarrow} \\
 & \stackrel{\text{N}}{\longrightarrow} & \stackrel{\text{N}}{\longrightarrow} & \stackrel{\text{O}}{\longrightarrow} & \\
 & \stackrel{\text{S}}{\longrightarrow} & \stackrel{\text{N}}{\longrightarrow} & \stackrel{\text{N}}{\longrightarrow} & \stackrel{\text{N}}{\longrightarrow} & \\
 & \stackrel{\text{S}}{\longrightarrow} & \stackrel{\text{N}}{\longrightarrow} & \stackrel{\text{N}}{\longrightarrow} & \stackrel{\text{N}}{\longrightarrow} & \\
 & \stackrel{\text{S}}{\longrightarrow} & \stackrel{\text{N}}{\longrightarrow} & \stackrel{\text{N}}{\longrightarrow} & \stackrel{\text{N}}{\longrightarrow} & \stackrel{\text{N}}{\longrightarrow} & \\
 & \stackrel{\text{S}}{\longrightarrow} & \stackrel{\text{N}}{\longrightarrow} & \stackrel{\text{N}}{\longrightarrow} & \stackrel{\text{N}}{\longrightarrow} & \stackrel{\text{N}}{\longrightarrow} & \stackrel{\text{N}}{\longrightarrow} & \\
 & \stackrel{\text{S}}{\longrightarrow} & \stackrel{\text{N}}{\longrightarrow} & \stackrel{\text{N}$$

Выход продукта составляет 54 мг (50 %), представляет твёрдое белое вещество с температурой плавления 166 - 168 ⁰C. ЯМР ¹H (CD₃SOCD₃), δ , м. д., Γ ц: 7.56 (д, ${}^{3}J = 4.15$, 4H, CH_{Ap}), 7.42-7.50 (м, 1H, CH_{Ap}), 6.84 (с, 1H, CH_{Het-ar}), 3.52 (c, 3H, CH₃). ЯМР ¹³С (CD₃SOCD₃), δ, м. д., Гц.: 162.05 (С_{Ар}), 159.81 (С_{Ар}), 154.68 (C_{Ap}), 147.87 (κ , 2J = 34.81, C- CF_3), 143.96 (C_{Ap}), 130.45 (CH_{Ap}), 128.64(CH_{Ap}), 125.53(CH_{Ap}), 120.61 (κ , ¹J = 274.54, CF₃), 106.94 (κ , ³J = 2.72, CH_{Het-ar}), 40.07 (CH₃). ИК-спектр, v, см⁻¹: 1702 (сильн), 1597 (слаб), 1565 (сильн), 1511(сильн), 1491 (сред), 1397 (сред), 1361 (слаб), 1273 (сильн), 1151 (сильн), 1073 (сред), 845 (сильн), 772 (сред), 703 (сильн), 696 (сильн), 624 (слаб), 544 (сред). Масс спектр FD MS m/z (%): 325 (100), 150(22), 134(12), 133(14), 108(13), 106(13), 94(6), [M⁺,]. Масс-спектр высокого разрешения (HR MS, ESI) для соединения со структурной формулой $C_{13}H_9ON_4F_3S$ показал следующие значения: Расчётное значение (m/z): 326.04437, экспериментально полученное 326.04445. Элементный анализ (% значение (m/z): массовой доли) продемонстрировал: Расчётные значения С, 47.84; Н, 2.77; N, 17.18, экспериментальные данные: C, 47.95; H, 2.62; N, 17.16.

2.4. Общая методика синтеза 2-арил-7-(трифторметил)-5-оксо- 5H-1,3,4-тиадиазоло[3,2-а]пиримидина (6a-t)

Для осуществления реакции Сузуки в колбу вносили 2-бромо-7- (трифторметил)-5H-1,3,4-тиадиазоло[3,2-а]пиримидин-5-он (1.0 экв., 0.334 ммоль), соответствующую арилбороновую кислоту (1.1 экв.), ацетат палладия(II) (0.1 экв.), лиганд Хаптрhos (0.2 экв.) и карбонат калия (2.0 экв.). Смесь реактивов перемешивали в сухом 1,4-диоксане (2 мл) и подвергали нагреванию при температуре 100 °C в течение 16 часов при интенсивном перемешивании. По окончании реакции смесь охлаждали до комнатной температуры, добавляли воду и проводили экстракцию целевого соединения органическим растворителем (этил / ацетат). Органическую фазу сушили над безводным сульфатом натрия и упаривали растворитель под вакуумом. Образовавшийся твёрдый остаток подвергали очистке методом колоночной хроматографии на силикагеле, используя смесь этилового ацетата и гептана в качестве элюента с варьированием их соотношений.

$$Br \xrightarrow{N-N} CF_3$$

$$Ar-B(OH)_2$$

$$Ar \xrightarrow{N-N} CF_3$$

$$6a - t$$

$$(35-90\%)$$

Схема 2.3. - Синтез 2-арилпроизводных 7-трифторметил-5-оксо-5Н-[1,3,4]тиадиазоло[3,2-а]пиримидина

Синтез 2-фенил-7-(трифторметил)-5-оксо-5H-[1,3,4]тиадиазоло[3,2-а]пиримидина (**6а**). В сухую колбу, снабжённую магнитной мешалкой и обратным холодильником, помещали 2-бромо-7-(трифторметил)-5H-[1,3,4]тиадиазоло[3,2-а]пиримидин-5-он (0,334 ммоль, 100 мг, 1,0 экв.), фенилбороновую кислоту (0,367 ммоль, 45 мг, 1,1 экв.), Pd(OAc)₂ (0,033 ммоль, 7,4 мг, 0,1 экв.), лиганд Хаптрhos (0,067 ммоль, 38 мг, 0,2 экв.) и карбонат калия (0,668 ммоль, 92 мг, 2,0 экв.). К смеси добавляли предварительно дегазированный сухой 1,4-диоксан (2 мл). Реакционную массу нагревали при

100 °C в течение 16 ч с интенсивным перемешиванием. После окончания реакции смесь охлаждали до комнатной температуры, добавляли 10 мл воды и экстрагировали продукт этилацетатом (3 × 10 мл). Объединённые органические экстракты сушили над безводным сульфатом натрия, фильтровали и упаривали растворитель под вакуумом.Полученный твёрдый остаток очищали методом колонночной хроматографии на силикагеле с использованием системы растворителей гептан/этилацетат.

$$N-N$$
 CF_3

6a, 90%

Выход продукта составляет 89 мг (90 %), представляет твёрдое оранжевое вещество с температурой плавления 186 - 187 ⁰C. ЯМР ¹H (CDCl₃), δ , м. д., Γ ц: 7.96 (д, ${}^{3}J = 7.85$, 2H, CH_{Ap}), 7.55-7.65 (м, 3H, CH_{Ap}), 6.87 (с, 1H, CH_{Het-ar}). ЯМР ¹³С (CDCl₃), δ , м. д., Γ ц.: 163.42 (C_{Ap}), 160.84 (C_{Ap}), 156.15(C_{Ap}), 151.12 (к, ² J = 36.3, C-CF₃), 130.66 (C_{Ap}), 129.75 (CH_{Ap}), 128.04 (CH_{Ap}), 127.91 (CH_{Ap}), 120.41 (K, 1 J = 275.1, CF₃), 107.8 (к, 3 J = 3.04, CH_{Het-ar}). ИК-спектр, v, см⁻¹: 3088 (слаб), 3026 (слаб), 2921 (слаб), 1702 (сильн), 1512 (сильн), 1418 (сильн), 1277 (сильн), 1136 (сильн), 1074 (сред), 1017 (сред), 997 (слаб), 843 (сильн), 762 (сильн), 714 (слаб), 692 (сред), 604 (сильн). Macc спектр FD MS m/z (%): 298 (100), 277(7), 181(12), 167(88), 138(7), 122(53), 104(17), 98(34), [М+,]. Масс-спектр высокого разрешения (HR MS, ESI) для соединения со структурной формулой $C_{12}H_6ON_3F_3S$ показал следующие значения: Расчётное значение (m/z): 297.01782, экспериментально полученное значение (m/z): 297.01739. Элементный анализ (% массовой доли) продемонстрировал: Расчётные значения C, 48.48; H, 2.02; N, 14.13, экспериментальные данные: C, 48.26; H, 2.17; N, 14.57.

Синтез 2-(4-метилфенил)-7-(трифторметил)-5-оксо-5Н [1,3,4]тиадиазоло[3,2-а]пиримидин (6b). В сухую колбу с магнитной

мешалкой загружали 2-бромо-7-(трифторметил)-5H-[1,3,4]тиадиазоло[3,2-а]пиримидин-5-он (0,334 ммоль, 100 мг, 1,0 экв.), 4-метилфенилбороновую кислоту (0,367 ммоль, 1,1 экв.), ацетат палладия(II) (0,033 ммоль, 0,1 экв.), Хаптрhos (0,067 ммоль, 0,2 экв.) и карбонат калия (0,668 ммоль, 2,0 экв.). Смесь перемешивали в 2 мл сухого 1,4-диоксана. Реакционную смесь нагревали при 100 °С в течение 16 ч при интенсивном перемешивании. По завершении реакции смесь охлаждали до комнатной температуры, разбавляли водой (10 мл) и экстрагировали этилацетатом (3 × 10 мл). Объединённые органические экстракты сушили над безводным сульфатом натрия, фильтровали и упаривали растворитель под вакуумом. Остаток очищали колонночной хроматографией на силикагеле с использованием градиента элюентов гептан/этилацетат.

Выход продукта составляет 86 мг (81 %), представляет твёрдое оранжевое вещество с температурой плавления $231-232\,^{0}\mathrm{C}$. ЯМР $^{1}\mathrm{H}$ (CDCl₃), δ , м. д., Γ ц: 7.87 (м, $^{3}\mathrm{J}=8.26$, 2H, CH_{Ap}), 7.34 (д, $^{3}\mathrm{J}=8.02$, 2H, CH_{Ap}), 6.86 (с, 1H, CH_{Het-Ar}), 2.47 (с, 3H, CH₃). ЯМР $^{13}\mathrm{C}$ (CDCl₃), δ , м. д., Γ ц.: 164.43 (C_{Ap}), 160.92 (C_{Ap}), 156.23 (C_{Ap}), 151.04 (к, $^{2}\mathrm{J}=35.63$, C-CF₃), 144.82 (C_{Ap}), 130.43 (C_{Ap}), 127.96 (CH_{Ap}), 125.18 (CH_{Ap}), 120.45 (к, $^{1}\mathrm{J}=275.11$, CF₃), 107.71 (к, $^{3}\mathrm{J}=3.07$, CH_{Het-ar}), 21.86 (-CH₃). ИК-спектр, v, см⁻¹: 3086 (слаб), 3036 (слаб), 2958 (слаб), 1699 (сильн), 1512 (сильн), 1494 (сильн), 1414 (сред), 1275 (сред), 1138 (сред), 1027 (сред), 952 (слаб), 868 (сред), 846 (сред), 815 (сильн), 698 (сред), 604 (сред). Масс спектр FD MS m/z (%): 312 (100), 291(7), 181(9), 167(81), 118(24), 117(23), 118(14), 92(23), [M⁺,]. $^{+}$,]. Масс-спектр высокого разрешения (HR MS, ESI) для соединения со структурной формулой С₁₃H₈ON₃F₃S показал следующие значения: Расчётное значение (m/z): 311.03347, экспериментально полученное значение (m/z): 311.03312. Элементный анализ (% массовой доли)

продемонстрировал: Расчётные значения С, 50.16; H, 2.59; N, 13.50, экспериментальные данные: С, 50.31; H, 2.56; N, 13.31.

2-(2-метилфенил)-7-(трифторметил)-5-оксо-5Н-Синтез [1,3,4]тиадиазоло[3,2-а]пиримидина (6с). В сухую круглодонную колбу, оснащённую магнитной мешалкой и обратным холодильником, под атмосферой 2-бромо-7-(трифторметил)-5H-[1,3,4]тиадиазоло[3,2аргона загружали а пиримидин-5-он (0,334 ммоль, 100 мг, 1,0 экв.), 2-метилфенилбороновую кислоту (0,367 ммоль, 1,1 экв.), ацетат палладия (II) (0,033 ммоль, 0,1 экв.), лиганд Xantphos (0,067 ммоль, 0,2 экв.) и карбонат калия (0,668 ммоль, 2,0 экв.). К реакционной смеси добавляли сухой 1,4-диоксан (2 мл), предварительно дегазированный продувкой аргоном. Реакционную смесь нагревали при 100 °C в течение 16 часов при интенсивном перемешивании. После охлаждения до комнатной температуры смесь разбавляли водой (10 мл) и экстрагировали органические вещества этилацетатом (3 × 10 мл). Органические экстракты объединяли, сушили над безводным сульфатом натрия, фильтровали и упаривали растворитель под вакуумом.

Выход продукта составляет 77 мг (75 %), представляет жёлтое твёрдое вещество с температурой плавления $131-132~^{0}\mathrm{C}$. ЯМР $^{1}\mathrm{H}$ (CDCl₃), δ , м. д., Гц: $7.65(\mathrm{д}, ^{3}\mathrm{J} = 8.47, 1\mathrm{H}, \mathrm{CH}_{\mathrm{Ap}}), 7.47$ (дд, $^{3}\mathrm{J} = 7.36, ^{4}\mathrm{J} = 1.13, 1\mathrm{H}, \mathrm{CH}_{\mathrm{Ap}}), 7.36-7.42$ (м, 2H, CH_{Ap}), 6.88 (c, 1H, CH_{Het-ar}), 2.67 (c, 3H, CH₃). ЯМР $^{13}\mathrm{C}$ (CDCl₃), δ , м. д., Гц.: 160.51 (С_{Ap}), 160.45 (С_{Ap}), 155.76 (С_{Ap}), 150.76 (к, $^{2}\mathrm{J} = 35.64$, C-CF₃), 137.95 (С_{Ap}), 132.22 (С_{Ap}), 132.05 (СН_{Ap}), 130.04 (СН_{Ap}), 126.66 (СН_{Ap}), 126.58 (СН_{Ap}), 120.12 (к, $^{1}\mathrm{J} = 275.11$, CF₃), 107.32 (к, $^{3}\mathrm{J} = 3.27$, СН_{Het-ar}), 21.38 (СН₃). ИК-спектр, v, см⁻¹: 3083 (слаб), 2961 (слаб), 2918 (слаб), 1702 (сильн), 1602 (слаб), 1510 (сильн), 1407 (сред), 1384 (слаб), 1273 (сильн), 1138 (сред), 1094 (слаб), 1058

(слаб), 958 (слаб), 847 (сред), 759 (сред), 700 (сред), 653 (слаб), 558 (слаб). Масс спектр FD MS m/z (%): 312 (100), 253(10), 180 (9), 167 (11), 148 (45), 149 (49), 135 (24), 116 (17), 117 (55), 92 (20), [M+,]. Масс-спектр высокого разрешения (HR MS, ESI) для соединения со структурной формулой С₁₃H₈ON₃F₃S показал следующие значения: Расчётное значение (m/z): 311.03347, экспериментально полученное значение (m/z): 311.03334. Элементный анализ (% массовой доли) продемонстрировал: Расчётные значения С, 50.17; H, 2.58; N, 13.51, экспериментальные данные: С, 50.64; H, 2.24; N, 13.95.

Синтез 2-(4-Этилфенил)-7-(трифторметил)-5-оксо-5Н-[1,3,4]тиадиазоло[3,2-а]пиримидина (6d). В сухую круглодонную колбу, оснащённую магнитной мешалкой и обратным холодильником, загружали 2бромо-7-(трифторметил)-5Н-[1,3,4]тиадиазоло[3,2-а]пиримидин-5-он ммоль, 100 мг, 1,0 экв.), 4-этилфенилбороновую кислоту (0,367 ммоль, 1,1 экв.), ацетат палладия(II) (0,033 ммоль, 0,1 экв.), лиганд Xantphos (0,067 ммоль, 0,2 экв.) и карбонат калия (0,668 ммоль, 2,0 экв.). К реакционной смеси добавляли сухой 1,4-диоксан (2 мл), предварительно дегазированный продувкой аргоном. Реакционную смесь нагревали при 100 °C в течение 16 часов при интенсивном перемешивании. После охлаждения до комнатной температуры водой экстрагировали разбавляли (10) мл) И органические этилацетатом (3 × 10 мл). Органические экстракты объединяли, сушили над безводным сульфатом натрия, фильтровали и упаривали растворитель под вакуумом.

$$Et$$
 N
 N
 N
 CF_3

Выход продукта 71 мг (66 %), твёрдое жёлтое вещество с температурой плавления 204 - 205 0 C. ЯМР 1 H (CDCl₃), δ , м. д., Γ ц: 7.88 (д, 3 J = 8.33, 2H), CH_{Ap}), 7.37 (д, 3 J = 8.31, 2H, CH_{Ap}), 6.85 (с, 1H, CH_{Het-ar}), 2.74 (к, 3 J = 7.57, 2H, - CH₂), 1.26 (т, 3 J = 7.62, 3H, CH₃).). ЯМР 13 C (CDCl₃), δ , м. д., Γ ц.: 163.65 (С_{Ap}),

161.13 (C_{Ap}), 156.43 (C_{Ap}), 151.25 (K, 2 J $\frac{1}{4}$ 35.75, C-CF₃), 151.18 (C_{Ap}), 129.46 (C_{Ap}) , 128.32 (CH_{Ap}) , 125.57 (CH_{Ap}) , 120.66 $(\kappa, {}^{1}J = 275.01, CF_{3})$, 107.91 $(\kappa, {}^{3}J = 275.01, CF_{3})$ 3.16, CH_{Het-ar}), 29.32 (CH₂), 15.37 (CH₃). ИК-спектр, v, см⁻¹: 3033 (слаб), 2977 (слаб), 2917 (слаб), 1698 (сильн), 1515 (сильн), 1498 (сильн), 1413 (сред), 1303 (слаб), 1275 (сильн), 1186 (сильн), 1144 (сильн), 1048 (слаб), 1026 (сред), 1013 (слаб), 867 (сред), 842 (сред), 698 (сред), 608 (сред), 536 (слаб). Масс спектр FD MS m/z (%): 326 (100), 167(65), 148 (17), 147(9), 135(32), 134(20), 133(23), 115(19), 91(5), [M⁺,]. Масс-спектр высокого разрешения (HR MS, ESI) для соединения со структурной формулой $C_{14}H_{10}ON_3F_3S$ показал следующие значения: Расчётное значение (m/z): 325.04912, экспериментально полученное 325.04890. Элементный анализ (%)(m/z): массовой доли) продемонстрировал: Расчётные значения С, 51.69; Н, 3.10; N, 12.92, экспериментальные данные: C, 51.18; H, 3.21; N, 12.95.

Синтез 2-(3,5-Диметилфенил)-7-(трифторметил)-5-оксо-5Н-[1,3,4]тиадиазоло[3,2-а]пиримидина (6е). В сухую круглодонную колбу, оснащённую магнитной мешалкой и обратным холодильником, загружали 2бромо-7-(трифторметил)-5Н-[1,3,4]тиадиазоло[3,2-а]пиримидин-5-он (0,334)ммоль, 100 мг, 1,0 экв.), 3,5-диметилфенилбороновую кислоту (0,367 ммоль, 1,1 экв.), ацетат палладия(II) (0,033 ммоль, 0,1 экв.), лиганд Xantphos (0,067 ммоль, 0,2 экв.) и карбонат калия (0,668 ммоль, 2,0 экв.). К реакционной смеси добавляли сухой 1,4-диоксан (2 мл), предварительно дегазированный продувкой аргоном. Реакционную смесь нагревали при 100 ⁰C в течение 16 часов при интенсивном перемешивании. После охлаждения до комнатной температуры смесь разбавляли водой (10 мл) и экстрагировали органические вещества этилацетатом (3 × 10 мл). Органические экстракты объединяли, сушили над безводным сульфатом натрия, фильтровали и упаривали растворитель под вакуумом.

Выход продукта составляет 65 мг (60 %), твёрдое жёлтое вещество с температурой плавления 241-242 0 C. ЯМР 1 H (CDCl₃), δ , м. д., Γ ц: 7.56 (c, 2H, CH_{Ap}), 7.24 (c, 1H, CH_{Ap}), 6.85 (c, 1H, CH_{Het-ar}), 2.41 (c, 6H, CH₃). 9MP ¹³C (CDCl₃), δ , M. J., Γ II.: 163.43 (C_{Ap}), 161.26 (C_{Ap}), 156.25 (C_{Ap}), 151.03 (κ , 2 J = 35.74, C-CF₃), 139.71 (C_{Ap}), 135.47 (C_{Ap}), 127.65 (CH_{Ap}), 125.71 (CH_{Ap}), 120.43 (K, $^{1}J = 275.8$, CF₃), 107.66 (κ , $^{3}J = 3.16$, CH_{Het-ar}), 21.21 (CH₃). I/K-cnektp, v, cm⁻¹: 3043 (слаб), 2963 (слаб), 2921 (слаб), 1714 (сильн), 1505 (сильн), 1481 (слаб), 1414 (слаб), 1381 (слаб), 1279 (сильн), 1148 (сильн), 1075 (сред), 1002 (слаб), 885 (сред), 845 (сред), 764 (сред), 708 (сред), 685 (сильн), 624 (слаб), 559 (слаб), 532 (сред). Macc спектр FD MS m/z (%): 326 (100), 267(15), 167(50), 148(17), 134(18), 133(21), 132(13), 123(36), 122(14), 108(30), 92(9), [М⁺,]. Масс-спектр высокого разрешения (HR MS, ESI) для соединения со структурной формулой $C_{14}H_{10}ON_3F_3S$ показал следующие значения: Расчётное значение (m/z): 325.04912, полученное 325.04888. экспериментально значение (m/z): Элементный анализ (% массовой доли) продемонстрировал: Расчётные значения C, 51.68; H, 3.11; N, 12.91, экспериментальные данные: C, 51.21; H, 3.55; N, 12.63.

Синтез 2-(3,4-Диметилфенил)-7-(трифторметил)-5-оксо-5Н- [1,3,4]тиадиазоло[3,2-а]пиримидина (6f). В сухую круглодонную колбу, оснащённую магнитной мешалкой и обратным холодильником, загружали 2-бромо-7-(трифторметил)-5H-[1,3,4]тиадиазоло[3,2-а]пиримидин-5-он (0,334 ммоль, 100 мг, 1,0 экв.), 3,4-диметилфенилбороновую кислоту (0,367 ммоль, 1,1 экв.), ацетат палладия (II) (0,033 ммоль, 0,1 экв.), лиганд Хаптрhos (0,067 ммоль, 0,2 экв.) и карбонат калия (0,668 ммоль, 2,0 экв.). К реакционной смеси

добавляли сухой 1,4-диоксан (2 мл), предварительно дегазированный продувкой аргоном. Реакционную смесь нагревали при 100 °C в течение 16 часов при интенсивном перемешивании. После охлаждения до комнатной температуры смесь разбавляли водой (10 мл) и экстрагировали органические вещества этилацетатом (3 × 10 мл). Органические экстракты объединяли, сушили над безводным сульфатом натрия, фильтровали и упаривали растворитель под вакуумом.

Выход продукта составляет 68 мг (63 %), представляет жёлтое твёрдое вещество с температурой плавления 191 - 192 ⁰C. ЯМР ¹H (CDCl₃), δ , м. д., Γ ц: 7.77(c, 1H, CH_{Ap}), 7.65 (χ , $^{3}J = 7.51$, 1H, CH_{Ap}), 7.27 (χ , $^{3}J = 7.88$, 1H, CH_{Ap}), 6.85 (c, 1H, CH_{Het-ar}), 2.36 (c, 6H, CH₃). ЯМР 13 С (CDCl₃), δ , м. д., Γ ц.:163.37 (С_{Ар}), 161.03 (C_{Ap}), 156.17 (C_{Ap}), 150.93 (κ , $^2J = 35.53$, C-CF₃), 143.52 (C_{Ap}), 138.46(C_{Ap}), 130.77 (C_{Ap}), 128.63 (CH_{Ap}), 125.62 (CH_{Ap}), 125.33 (CH_{Ap}), 120.34 (κ , $^{1}J = 275.12$, CF₃), 107.54 (κ , ³J = 3.27, CH_{Het-ar}), 20.14 (CH₃), 19.68 (CH₃). UK-cnektp, v, cm⁻¹: 3033 (слаб), 2982 (слаб), 2848 (слаб), 1704 (сильн), 1513 (сильн), 1494(сред), 1412 (сред), 1314 (слаб), 1272 (сильн), 1188 (сред), 1134 (сильн), 1075(сред), 1002(слаб), 893 (сред), 845 (сильн), 826 (сред), 792 (слаб), 706 (сильн), 691 (сильн), 625 (сред), 537 (слаб). Масс спектр FD MS m/z (%): 326 (100), 167(62), 148(25), 149(10), 135(11), 134(25), 133(29), 115(11), 104(7), 92(3), [M⁺,]. Maccспектр высокого разрешения (HR MS, ESI) для соединения со структурной формулой С₁₄Н₁₀ОN₃F₃S показал следующие значения: Расчётное значение (m/z): 325.04912, экспериментально полученное значение (m/z): 325.04891. Элементный анализ (% массовой доли) продемонстрировал: Расчётные значения C, 51.69; H, 3.10; N, 12.92, экспериментальные данные: C, 52.02; H, 3.15; N, 12.88.

2-(4-Метоксифенил)-7-(трифторметил)-5-оксо-5Н-

Синтез

[1,3,4]тиадиазоло[3,2-а]пиримидина (6g). В сухую круглодонную колбу, оснащённую магнитной мешалкой и обратным холодильником, под атмосферой аргона загружали 2-бромо-7-(трифторметил)-5H-[1,3,4]тиадиазоло[3,2-а]пиримидин-5-он (0,334 ммоль, 100 мг, 1,0 экв.), 4-метоксифенилбороновую кислоту (0,367 ммоль, 1,1 экв.), ацетат палладия (II) (0,033 ммоль, 0,1 экв.), лиганд Хаптрhos (0,067 ммоль, 0,2 экв.) и карбонат калия (0,668 ммоль, 2,0 экв.). К реакционной смеси добавляли сухой 1,4-диоксан (2 мл), предварительно дегазированный продувкой аргоном. Реакционную смесь нагревали при 100 °С в течение 16 часов при интенсивном перемешивании. После охлаждения до комнатной температуры смесь разбавляли водой (10 мл) и экстрагировали органические вещества этилацетатом (3 × 10 мл). Органические экстракты объединяли, сушили над безводным сульфатом натрия, фильтровали и упаривали растворитель под вакуумом.

Выход продукта составляет 87 мг (78 %), представляет жёлтое твёрдое вещество с температурой плавления $211-212~^{0}$ С. ЯМР 1 Н (CDCl₃), δ , м. д., Γ ц: 7.90 (д, 3 Ј = 8.87, 2H, CH_{Ap}), 7.83 (д, 3 Ј = 8.87, 2H, CH_{Ap}), 6.84 (с, 1H, CH_{Het-ar}), 3.91 (с, 3H, OCH₃). ЯМР 13 С (CDCl₃), δ , м. д., Γ ц.: 163.92 (С_{Ap}), 163.32 (С_{Ap}), 160.34(С_{Ap}), 156.15 (С_{Ap}), 150.84 (к, 2 Ј = 36.17, C-CF₃), 129.76 (С_{Ap}), 120.21 (СН_{Ap}), 120.34 (к, 1 Ј = 275.25, CF₃), 115.04 (СН_{Ar}), 107.56 (к, 3 Ј = 3.17, СН_{Het-ar}), 55.75 (ОСН₃). ИК-спектр, v, см⁻¹: 3078 (слаб), 3022 (слаб), 2958 (слаб), 2847 (слаб), 1711 (сильн), 1602(сильн), 1515 (сред), 1497 (сред), 1438 (сред), 1321 (сред), 1307 (сред), 1277 (сред), 1152 (сильн), 1074 (сред), 1018(сред), 964 (слаб), 859 (сред), 837 (сильн), 783 (сред), 696 (сред), 625 (слаб), 605 (сильн), 528 (слаб). Масс спектр FD MS m/z (%): 328 (100), 167(38), 152(26), 137(13),

136(31), 133(22), 132(25), 107(16), 102(3), 94(4), [M⁺,]. Масс-спектр высокого разрешения (HR MS, ESI) для соединения со структурной формулой $C_{13}H_8O_2N_3F_3S$ показал следующие значения: Расчётное значение (m/z): 327.02838, экспериментально полученное значение (m/z): 327.02848. Элементный анализ (% массовой доли) продемонстрировал: Расчётные значения C, 47.71; H, 2.46; N, 12.84, экспериментальные данные: C, 47.25; H, 2.11; N, 13.29.

Синтез 2-(3-Метоксифенил)-7-(трифторметил)-5-оксо-5Н-[1,3,4]тиадиазоло[3,2-а]пиримидина (6h). В сухую круглодонную колбу, оснащённую магнитной мешалкой и обратным холодильником, под загружали 2-бромо-7-(трифторметил)-5H-[1,3,4]тиадиазоло[3,2-а]пиримидин-5-он ммоль, 100 мг, 1,0 экв.), 3-метоксифенилбороновую кислоту (0,367 ммоль, 1,1 экв.), ацетат палладия (II) (0.033 ммоль, 0.1 экв.), лиганд Xantphos (0.067 ммоль, 0.067 ммоль)0,2 экв.) и карбонат калия (0,668 ммоль, 2,0 экв.). К реакционной смеси добавляли сухой 1,4-диоксан (2 мл), предварительно дегазированный продувкой аргоном. Реакционную смесь нагревали при 100 °C в течение 16 часов при интенсивном перемешивании. После охлаждения до комнатной температуры смесь разбавляли водой (10 мл) и экстрагировали органические вещества этилацетатом (3 × 10 мл). Органические экстракты объединяли, сушили над безводным сульфатом натрия, фильтровали и упаривали растворитель под вакуумом.

$$\stackrel{\mathrm{MeO}}{\overbrace{\hspace{1cm}}}^{N-N} \stackrel{O}{\underset{N}{\longleftarrow}}_{\mathrm{CF_{3}}}$$

Выход продукта составляет 71 мг (65 %), жёлтое твёрдое вещество с температурой плавления 150 – 151 0 С. ЯМР 1 Н (CDCl₃), δ , м. д., Γ ц: 7.43-7.54 (м, 3H, CH_{Ap}), 7.16-7.16 (м, 1H, CH_{Ap}), 6.87 (с, 1H, CH_{Het-ar}), 3.91 (с, 3H, OCH₃). ЯМР 13 С (CDCl₃), δ , м. д., Γ ц.: 163.56 (С_{Ap}), 160.95 (С_{Ap}), 160.66(С_{Ap}), 156.35 (С_{Ap}),

151.26 (к, 2 J = 36.14, C-CF₃), 130.94 (С_{Ар}), 129.23 (СН_{Ар}), 120.88 (СН_{Ар}), 120.55 (к, 1 J = 275.07, CF₃), 120.23 (СН_{Ар}), 112.42 (СН_{Ар}), 107.93 (к, 3 J = 3.31, СН_{нет-аг}), 56.06 (ОСН₃). ИК-спектр, v, см⁻¹: 3056 (слаб), 2944 (слаб), 2917 (слаб), 1696 (сильн), 1608 (слаб), 1506 (сильн), 1486 (сильн), 1444 (слаб), 1417 (сильн), 1372 (слаб), 1297(слаб), 1277 (сред), 1226 (сред), 1171 (сред), 1134 (сильн), 1075 (сред), 1026 (сред), 992 (слаб), 877 (сред), 785 (сильн), 744 (слаб), 687 (сильн), 627 (слаб), 565 (слаб), 532 (слаб). Масс спектр FD MS m/z (%): 328 (100), 167(76), 152(26), 137(11), 136(25), 135(16), 134(27), 107(26), 104(9), 94(5), [М⁺,]. Масс-спектр высокого разрешения (HR MS, ESI) для соединения со структурной формулой $C_{13}H_8O_2N_3F_3S$ показал следующие значения: Расчётное значение (m/z): 327.02838, Элементный анализ (% массовой доли) продемонстрировал: Расчётные значения C, 47.72; H, 2.45; N, 12.85, экспериментальные данные: 47.42; H, 2.58; N, 12.53.

2-(2-Метоксифенил)-7-(трифторметил)-5-оксо-5Н-Синтез [1,3,4]тиадиазоло[3,2-а]пиримидина (6і). В сухую круглодонную колбу, оснащённую магнитной мешалкой и обратным холодильником, загружали 2бромо-7-(трифторметил)-5H-[1,3,4]тиадиазоло[3,2-а]пиримидин-5-он (0,334)ммоль, 100 мг, 1,0 экв.), 2-метоксифенилбороновую кислоту (0,367 ммоль, 1,1 экв.), ацетат палладия(II) (0,033 ммоль, 0,1 экв.), лиганд XantPhos (0,067 ммоль, 0,2 экв.) и карбонат калия (0,668 ммоль, 2,0 экв.). К реакционной смеси 1,4-диоксан (2 мл), предварительно дегазированный добавляли сухой продувкой аргоном. Реакционную смесь нагревали при 100 ^оС в течение 16 часов при интенсивном перемешивании. После охлаждения до комнатной температуры смесь разбавляли водой (10 мл) и экстрагировали органические вещества этилацетатом (3 × 10 мл). Органические экстракты объединяли, сушили над безводным сульфатом натрия, фильтровали и упаривали растворитель под вакуумом.

Выход продукта составляет 51 мг (45 %), жёлтое твёрдое вещество с температурой плавления 150 – 151 0 С. ЯМР 1 Н (CDCl₃), δ , м. д., Γ ц: 8.47 (дд, 3 Ј =7.95, $^{4}J=1.57$, 1H, CH_{Ap}), 7.85 (дд, $^{3}J=7.36$, $^{4}J=1.68$, 1H, CH_{Ap}), 7.57-7.62 (м, 1H, CH_{Ap}), 7.13-7.19 (м, 1H, CH_{Ap}), 6.81 (с, 1H, CH_{Het-ar}), 4.07 (с, 3H, OCH₃). ЯМР ¹³С (CDCl₃), δ , м. д., Γ ц.: 164.36 (C_{Ap}), 157.47 (C_{Ap}), 156.45 (C_{Ap}), 151.23 (к, 2 J = 36.16, C-CF₃), 137.02 (C_{Ap}), 134.86 (C_{Ap}), 133.05 (CH_{Ap}), 128.96(CH_{Ap}), 121.86 (CH_{Ap}), 120.61 (κ , $^{1}J = 275.47$, CF₃), 111.85 (CH_{Ap}), 106.63 (κ , $^{3}J = 3.01$, CH_{Het-ar}), 56.25 (ОСН₃). ИК-спектр, v, см⁻¹: 3459 (слаб), 3352 (слаб), 3067 (слаб), 3026 (слаб), 2982 (слаб), 1716 (сильн), 1598 (сред), 1521 (сред), 1498 (сильн), 1466 (сильн), 1435 (сред), 1419 (сред), 1367 (слаб), 1313 (слаб), 1286 (сильн), 1277 (сильн), 1205 (сред), 1161 (сред), 1131 (сред), 1077 (сред), 1022 (сред), 1001 (сред), 696 (слаб), 852 (сред), 755(сильн), 700 (сильн), 608 (сред), 525 (сред). Macc спектр FD MS m/z (%): 326 (100), 325(16), 307(11), 208(20), 181(19), 167(38), 165(15), 152(10), 151(17), 137(5), 136(13), 135(10), 134(16), 133(28), 121(5), 120(13), 120(10), 118(99), 117(13), 109(26), 107(15), 104(11), 103(6), 94(8), 92(9), $[M^+,]$. Масс-спектр высокого разрешения (HR MS, ESI) для соединения со структурной формулой $C_{13}H_8O_2N_3F_3S$ показал следующие значения: Расчётное значение (m/z): 327.02838, экспериментально полученное значение (m/z): 327.02816 Элементный анализ (% массовой доли) продемонстрировал: Расчётные значения С, 47.72; Н, 2.45; N, 12.85, экспериментальные данные: С, 47.72; H, 2.68; N, 13.03.

Синтез 2-(3,5-Диметоксифенил)-7-(трифторметил)-5-оксо-5H-[1,3,4]тиадиазоло[3,2-а]пиримидина (6j). В сухую круглодонную колбу, оснащённую магнитной мешалкой и обратным холодильником, под атмосферой аргона загружали 2-бромо-7-(трифторметил)-5H-[1,3,4]тиадиазоло[3,2-

а]пиримидин-5-он (0.334)100 1,0 ммоль, MΓ. экв.), 3.5диметоксифенилбороновую кислоту (0,367 ммоль, 1,1 экв.), ацетат палладия(II) (0.033 ммоль, 0.1 экв.), лиганд XantPhos (0.067 ммоль, 0.2 экв.) и карбонат калия (0,668 ммоль, 2,0 экв.). К реакционной смеси добавляли сухой 1,4диоксан мл), предварительно дегазированный продувкой Реакционную смесь нагревали при $100~^{0}$ С в течение 16 часов при интенсивном После перемешивании. охлаждения до комнатной температуры разбавляли водой (10) И экстрагировали мл) органические этилацетатом (3 × 10 мл). Органические экстракты объединяли, сушили над безводным сульфатом натрия, фильтровали и упаривали растворитель под вакуумом.

$$\stackrel{\mathrm{MeO}}{\longrightarrow} \stackrel{\mathrm{O}}{\longrightarrow} \stackrel{\mathrm{O}}{\longrightarrow} \stackrel{\mathrm{O}}{\longrightarrow} \stackrel{\mathrm{CF}_3}{\longrightarrow}$$

Выход продукта составляет 105 мг (88 %), представляет твёрдое жёлтое вещество с температурой плавления $204-205\,^{0}$ С. ЯМР 1 Н (CDCl₃), δ , м. д., Γ ц: 7.04 (д, 4 J = 2.15, 2H, CH_{Ap}), 6.86 (с, 1H, CH_{Het-Ar}), 6.66 (т, 4 J = 2.15, 1H, CH_{Ap}), 3.87 (с, 6H, OCH₃). ЯМР 13 С (CDCl₃), δ , м. д., Γ ц.: 163.42 (С_{Ap}), 161.64 (С_{Ap}), 160.84 (С_{Ap}), 156.22 (С_{Ap}), 151.12 (к, 2 J = 36.3, C-CF₃), 129.5 (С_{Ap}), 120.41 (к, 1 J = 275.22, CF₃), 107.75 (к, 3 J = 3.3, CH_{Het-Ar}), 105.94 (CH_{Ap}), 105.62(CH_{Ap}), 56.0 (ОСН₃). ИК-спектр, v, см⁻¹: 3075 (слаб), 2964 (слаб), 2916 (слаб), 2845 (слаб), 1712 (сильн), 1592 (сильн), 1514 (сильн), 1455 (сред), 1426 (сред), 1412 (слаб), 1390 (сред), 1350 (сред), 1315 (слаб), 1278 (сильн), 1206(сильн), 1140 (сильн), 1075(слаб), 1062 (сред), 1028 (сред), 987 (слаб), 927 (слаб), 885(слаб), 858 (сред), 767 (сред), 707 (сред), 675 (сред), 536 (слаб). Масс спектр FD MS m/z (%): 356 (100), 275(28), 182(17), 167(57), 166(34), 165(17), 164(63), 139(11), 124(10), 104(5), 92(2), [М⁺,]. Масс-спектр высокого разрешения (HR MS, ESI)

для соединения со структурной формулой $C_{14}H_{10}O_3N_3F_3S$ показал следующие значения: Расчётное значение (m/z): 357.03895, экспериментально полученное значение (m/z): 357.03863. Элементный анализ (% массовой доли) продемонстрировал: Расчётные значения C, 47.05; H, 2.83; N, 11.75, экспериментальные данные: C, 47.34; H, 2.58; N, 11.53.

2-(2,5-Диметоксифенил)-7-(трифторметил)-5-оксо-5Н-Синтез [1,3,4]тиадиазоло[3,2-а]пиримидина (6k). В сухую круглодонную колбу, оснащённую магнитной мешалкой и обратным холодильником, под атмосферой 2-бромо-7-(трифторметил)-5H-[1,3,4]тиадиазоло[3,2аргона загружали а]пиримидин-5-он (0.334)ммоль, 100 1.0 экв.), 2,5-MΓ. диметоксифенилбороновую кислоту (0,367 ммоль, 1,1 экв.), ацетат палладия (II) (0.033 ммоль, 0.1 экв.), лиганд XantPhos (0.067 ммоль, 0.2 экв.) и карбонат калия (0,668 ммоль, 2,0 экв.). К реакционной смеси добавляли сухой 1,4диоксан мл). предварительно дегазированный продувкой Реакционную смесь нагревали при 100 °C в течение 16 часов при интенсивном После охлаждения перемешивании. до комнатной температуры водой (10)И экстрагировали разбавляли мл) органические этилацетатом (3 × 10 мл). Органические экстракты объединяли, сушили над безводным сульфатом натрия, фильтровали и упаривали растворитель под вакуумом.

$$\stackrel{\mathrm{OMe}}{\overbrace{\hspace{1cm}}^{N}}\stackrel{O}{\underset{N}{\overset{}}}\stackrel{O}{\underset{N}{\overset{}}}\stackrel{O}{\underset{CF_{3}}{\overset{}}}$$

Выход продукта составляет 41 мг (35 %), представляет твёрдое жёлтое вещество с температурой плавления 71-72 °C. ЯМР ¹H (CDCl₃), δ , м. д., Гц: 8.16 (д, ³J = 3.18, 1H, CH_{Ap}), 7.42 (дд, ³J = 9.13, ⁴J = 3.11, 1H, CH_{Ap}), 7.27 (с, 1H, CH_{Ap}), 7.07 (с, 1H, CH_{Het-ar}), 4.25 (с, 3H, OCH₃), 4.11 (с, 3H, OCH₃). ЯМР ¹³C (CDCl₃), δ , м. д., Гц.: 164.34 (С_{Ap}), 156.35 (С_{Ap}), 154.24 (С_{Ap}), 151.13 (к, ²J =

35.97, C-CF₃), 122.34 (C_{Ap}), 120.74 (C_{Ap}), 119.05 (κ , 1J = 275.64, CF₃), 118.55 (C_{Ap}), 116.96 (CH_{Ap}), 113.41 (CH_{Ap}), 111.21 (CH_{Ap}), 106.52 (κ , 3J - 3.06, CH_{Het-Ar}), 56.61 (OCH_3), 56.25 (OCH_3). UK-спектр, v, cm^{-1} : 3446 (cna6), 3352 (cna6), 3066 (cna6), 2982 (cna6), 2945 (cna6), 2843 (cna6), 1713 (cunbh), 1611 (cna6), 1580 (cna6), 1503 (cunbh), 1477 (cped), 1416 (cped), 1336 (cna6), 1277 (cunbh), 1238 (cna6), 1221 (cna6), 1204 (cped), 1180 (cna6), 1165 (cna6), 1154 (cna6), 1132 (cna6), 1078 (cped), 1005 (cna6), 867 (cna6), 808 (cped), 700(cped). Macc cnektp FD MS m/z (%): 356 (100), 341(16), 337(8), 193(10), 180(15), 165(18), 162(21), 161(24), 150(11), 148(16), 147(36), 122(14), 120(11), 108(3), 107(3), 92(5), [M^+ ,]. Масс-спектр высокого разрешения (det MR) (det MR) ESI) для соединения со структурной формулой $det C_{14}H_{10}O_3N_3F_3S$ показал следующие значения: Расчётное значение (det MR): 357.03868. Элементный анализ (% массовой доли) продемонстрировал: Расчётные значения det MR, 2.81; det MR, 11.75, экспериментальные данные: det C, 46.83; det MR, 3.11; det N, 11.83.

Синтез 2-(4-Этоксифенил)-7-(трифторметил)-5-оксо-5Н- [1,3,4]тиадиазоло[3,2-а]пиримидина (6l). В сухую круглодонную колбу, оснащённую магнитной мешалкой и обратным холодильником, под атмосферой аргона 2-бромо-7-(трифторметил)-5H-[1,3,4]тиадиазоло[3,2-а]пиримидин-5-он (0,334 ммоль, 100 мг, 1,0 экв.), 4-этоксифенилбороновую кислоту (0,367 ммоль, 1,1 экв.), ацетат палладия(II) (0,033 ммоль, 0,1 экв.), лиганд ХапtPhos (0,067 ммоль, 0,2 экв.) и карбонат калия (0,668 ммоль, 2,0 экв.). К реакционной смеси добавляли сухой 1,4-диоксан (2 мл), предварительно дегазированный продувкой аргоном. Реакционную смесь нагревали при 100 ⁰С в течение 16 часов при интенсивном перемешивании. После охлаждения до комнатной температуры смесь разбавляли водой (10 мл) и экстрагировали органические вещества этилацетатом (3 × 10 мл). Органические экстракты объединяли, сушили над безводным сульфатом натрия, фильтровали и упаривали растворитель под вакуумом.

Выход продукта составляет 101 мг (90 %), представляет твёрдое жёлтое вещество с температурой плавления 197 - 198 0 С. ЯМР 1 Н (CDCl₃), δ , м. д., Γ ц: 7.87 (π , $^{3}J = 8.87$, 2H, CH_{Ap}), 7.01 (π , $^{3}J = 8.66$, 2H, CH_{Ap}), 6.83 (c, 1H, CH_{Het-ar}), 4.12 (κ , ${}^{3}J = 6.97$, 2H, OCH₂), 1.44 (τ , ${}^{3}J = 7.04$, 3H, CH₃). π MP 13 C (CDCl₃), δ , κ . д., Γ ц.: 163.44(C_{Ap}), 163.37 (C_{Ap}), 160.45 (C_{Ap}), 156.23 (C_{Ap}), 150.9 (κ , $^2J = 36.05$, C-CF₃), 129.85 (C_{Ap}), 120.45 (κ , ¹J = 275.1, CF₃), 120.03 (C_{Ap}), 116.13 (C_{Ap}), 115.67 (CH_{Ap}) , 115.52 (CH_{Ap}) , 107.62 (κ , $^{3}J = 3.18$, CH_{Het-ar}), 64.23 (OCH₂), 14.72 (CH₃). ИК-спектр, v, см⁻¹: 2977 (слаб), 2920 (слаб), 2848 (слаб), 1713 (сильн), 1603 (сильн), 1575 (слаб), 1513 (сред), 1494 (сильн), 1473 (сред), 1414 (сред), 1393 (слаб), 1314 (слаб), 1303 (слаб), 1275 (m), 1260 (сильн), 1202 (слаб), 1174 (m), 1142 (сильн), 1118 (слаб), 1076 (сред), 1026 (сред), 920 (сред), 843(сред), 811 (слаб), 698 (сильн), 604 (сильн). Масс спектр FD MS m/z (%): 342 (100), 314(24), 195(5), 181(15), 167(63), 149(11), 138(35), 122(22), 121(21), 119(25), 109(10), 94(3). $[M^+,]$. Масс-спектр высокого разрешения (HR MS, ESI) для соединения со структурной формулой $C_{14}H_{10}O_2N_3F_3S$ показал следующие значения: Расчётное значение (m/z): 342.05186, экспериментально полученное значение (m/z): 342.05235. Элементный анализ (% массовой доли) продемонстрировал: Расчётные значения C, 49.26; H, 2.94; N, 12.32, экспериментальные данные: C, 49.82; H, 3.01; N, 11.87.

Синтез 2-(2-Этоксифенил)-7-(трифторметил)-5-оксо-5Н- [1,3,4]тиадиазоло[3,2-а]пиримидина (6m). В сухую круглодонную колбу, оснащённую магнитной мешалкой и обратным холодильником, под атмосферой аргона загружали 2-бромо-7-(трифторметил)-5H-[1,3,4]тиадиазоло-[3,2-а]пиримидин-5-он (0,334 ммоль, 100 мг, 1,0 экв.), 2-этоксифенилбороновую кислоту (0,367 ммоль, 1,1 экв.), ацетат палладия(II) (0,033 ммоль, 0,1 экв.),

лиганд XantPhos (0,067 ммоль, 0,2 экв.) и карбонат калия (0,668 ммоль, 2,0 экв.). К реакционной смеси добавляли сухой 1,4-диоксан (2 мл), предварительно дегазированный продувкой аргоном. Реакционную смесь нагревали при $100~^{0}$ С в течение 16~ часов при интенсивном перемешивании. После охлаждения до комнатной температуры смесь разбавляли водой (10~ мл) и экстрагировали органические вещества этилацетатом ($3 \times 10~$ мл). Органические экстракты объединяли, сушили над безводным сульфатом натрия, фильтровали и упаривали растворитель под вакуумом.

Выход продукта составляет 45 мг (40 %), представляет твёрдое жёлтое вещество с температурой плавления 88 - 89 °C. ЯМР ¹Н (CDCl₃), δ , м. д., Γ ц: 7.84 (дд, ${}^{3}J = 7.27$, ${}^{4}J = 1.64$, 1H, CH_{Ap}), 7.38 - 7.47 (м, 1H, CH_{Ap}), 7.02 (т, ${}^{3}J =$ 7.33, 1H, CH_{Ap}), 6.87 (μ , J = 8.35, 1H, CH_{Ap}), 6.07 (c, 1H, CH_{Het-ar}), 4.15 (μ , J = 8.35, 1H, CH_{Ap}), 6.07 (c, 1H, CH_{Het-ar}), 4.15 (μ , J = 8.35, 1H, CH_{Ap}), 6.07 (c, 1H, CH_{Het-ar}), 4.15 (μ , J = 8.35, 1H, CH_{Ap}) 6.98, 2H, OCH₂), 1.48 (т, ${}^{3}J = 6.97$, 3H, CH₃). ЯМР ${}^{13}C$ (CDCl₃), δ , м. д., Γ ц.: 163.96 (C_{Ap}), 160.96 (C_{Ap}), 160.26 (C_{Ap}), 156.32 (C_{Ap}), 150.95 (κ , $^2J = 36.60$, C_{Ap}) CF₃), 136.81 (CH_{Ap}), 134.75 (C_{Ap}), 132.85 (CH_{Ap}), 121.16 (CH_{Ap}), 119.35 (κ , ¹J = 274.65, CF₃), 110.9 (CH_{Ar}), 106.46 (κ , ³J = 3.66, CH_{Het-ar}), 63.97 (OCH₂), 14.9 (CH₃). ИК-спектр, v, см⁻¹: 3442 (слаб), 3353 (сильн), 3067 (слаб), 2986 (слаб), 2917 (слаб), 2848 (слаб), 1707 (сред), 1597 (сильн), 1572 (сред), 1503 (слаб), 1472 (сред), 1447 (сильн), 1393 (сильн), 1342 (сильн), 1291 (сред), 1278(сред), 1228 (сильн), 1163 (сред), 1154(сред), 1106 (сильн), 1034 (сильн), 975 (слаб), 924 (сред), 775 (сред), 755 (сильн), 673 (сильн), 608 (сред), 541 (слаб). Масс спектр FD MS m/z (%): 342 (79), 328(11), 327(71), 323(13), 314(100), 268(16), 245(18), 181(34), 167(99), 149(14), 148(11) 145(56), 144(11), 136(32), 130(15), 120(37), 119(29), 108(17), 107(39), 104(6), 92(20), $[M^+,]$. Масс-спектр высокого разрешения (HR MS, ESI) для соединения со структурной формулой $C_{14}H_{10}O_2N_3F_3S$ показал следующие значения: Расчётное значение (m/z): 342.05186, экспериментально полученное значение (m/z): 342.05207. Элементный анализ (% массовой доли) продемонстрировал: Расчётные значения C, 49.26; H, 2.94; N, 12.32, экспериментальные данные: C, 49.62; H, 2.72; N, 12.72.

Синтез 2-(2-Фторфенил)-7-(трифторметил)-5-оксо-5Н-[1,3,4]тиадиазоло[3,2-а]пиримидина (6n). В сухую круглодонную колбу, оснащённую магнитной мешалкой и обратным холодильником, под атмосферой 2-бромо-7-(трифторметил)-5H-[1,3,4]тиадиазоло[3,2загружали аргона а пиримидин-5-он (0,334 ммоль, 100 мг, 1,0 экв.), 2-фторфенилбороновую кислоту (0,367 ммоль, 1,1 экв.), ацетат палладия(II) (0,033 ммоль, 0,1 экв.), лиганд XantPhos (0,067 ммоль, 0,2 экв.) и карбонат калия (0,668 ммоль, 2,0 К реакционной смеси добавляли сухой 1,4-диоксан экв.). (2 предварительно дегазированный продувкой аргоном. Реакционную смесь нагревали при 100 °C в течение 16 часов при интенсивном перемешивании. После охлаждения до комнатной температуры смесь разбавляли водой (10 мл) и экстрагировали органические вещества этилацетатом (3 × 10 мл). Органические экстракты объединяли, сушили над безводным сульфатом натрия, фильтровали и упаривали растворитель под вакуумом.

Выход продукта составляет 53 мг (51 %), представляет твёрдое жёлтое вещество с температурой плавления 147 -148 0 C. ЯМР 1 H (CDCl₃), δ , м. д., Гц: 8.36-8.41 (м, 1H, CH_{Ap}), 7.61-7.66 (м, 1H, CH_{Ap}), 7.34-7.42 (м, 1H, CH_{Ap}), 7.25-7.31 (м, 1H, CH_{Ap}), 6.84(с, 1H, CH_{Het-ar}). ЯМР 13 C (CDCl₃), δ , м. д., Гц.: 163.75 (С_{Ap}), 160.82 (д, 1 J = 254.76, C-F), 156.04(C_{Ar}), 154.55 (д, 3 J = 4.87, CH_{Ap}), 151.25

(к, 2J = 35.95, C-CF₃), 135.29 (д, 3J = 9.34, CH_{Ap}), 129.12 (д, 5J = 0.95, C_{Ap}), 125.51 (д, 4J = 3.28, CH_{Ap}), 124.13 (д, 2J = 24.74, C_{Ap}), 120.34 (к, 1J = 275.21, CF₃), 116.65 (д, 2J = 21.45, CH_{Ap}), 107.32 (к, 3J = 3.11, CH_{Het-ar}). ИК-спектр, v, см⁻¹: 3066 (слаб), 2916 (слаб), 2847 (слаб), 1706 (сильн), 1614 (сред), 1582 (сред), 1506 (сильн), 1465 (сред), 1414 (сред), 1313 (слаб), 1257 (сильн), 1213 (сред), 1181 (сред), 1155 (сильн), 1103 (сред), 1075 (сред), 1016 (сред), 967 (слаб), 888 (сред), 867 (сильн), 828 (сред), 794 (сильн), 698 (сред), 607 (сред). Масс спектр FD MS m/z (%): 316 (100), 295(8), 195(4), 181(12), 165(83), 138(56), 124(11), 122(14), 96(15), [М⁺,]. Масс-спектр высокого разрешения (HR MS, ESI) для соединения со структурной формулой $C_{12}H_5ON_3F_4S$ показал следующие значение (m/z): 315.00807. Элементный анализ (% массовой доли) продемонстрировал: Расчётные значения : C, 45.71; H, 1.61; N, 13.34, экспериментальные данные: C, 45.92; H, 2.02; N, 13.72.

Синтез 2-(3-Фторфенил)-7-(трифторметил)-5-оксо-5H-[1,3,4] В тиадиазоло[3,2-а]пиримидина (60).сухую круглодонную колбу, оснащённую магнитной мешалкой и обратным холодильником, загружали 2бромо-7-(трифторметил)-5H-[1,3,4]тиадиазоло[3,2-а]пиримидин-5-он (0,334)ммоль, 100 мг, 1,0 экв.), 3-фторфенилбороновую кислоту (0,367 ммоль, 1,1 экв.), ацетат палладия(II) (0,033 ммоль, 0,1 экв.), лиганд XantPhos (0,067 ммоль, 0,2 экв.) и карбонат калия (0,668 ммоль, 2,0 экв.). К реакционной смеси добавляли сухой 1,4-диоксан (2 мл), предварительно дегазированный продувкой аргоном. Реакционную смесь нагревали при 100 °C в течение 16 часов при интенсивном перемешивании. После охлаждения до комнатной температуры смесь разбавляли водой (10 мл) и экстрагировали органические вещества этилацетатом (3 × 10 мл). Органические экстракты объединяли, сушили над безводным сульфатом натрия, фильтровали и упаривали растворитель под вакуумом.

Выход продукта составляет 55 мг (65%), представляет твёрдое жёлтое вещество с температурой плавления 165 - 166 ⁰C. ЯМР ¹H (CDCl₃), δ , м. д., Γ ц: 7.70-7.76 (M, 2H, CH_{Ap}), 7.51-7.58 (M, 1H, CHAr_{Ap}), 7.31-7.37 (M, 1H, CH_{Ap}), 6.86 (c, 1H, CH_{Het-ar}). FMP^{-13}C (CDCl₃), δ , M. μ ., $\Gamma \mu$.: 163.22 (C_{Ap}), 163.12 (μ , μ = 250.42, C-F), 159.43 (μ , $^{4}J = 3.22$, $^{2}C_{Ap}$), 156.01 ($^{2}C_{Ap}$), 151.16 ($^{2}C_{Ap}$), 151.16 ($^{2}C_{Ap}$), 150.43 (131.61 (д, ${}^{3}J = 8.24$, C_{Ap}), 129.77 (д, ${}^{3}J = 8.25$, CH_{Ap}), 123.96 (д, ${}^{4}J = 3.23$, CH_{Ap}), 120.77 (μ , $^2J = 21.45$, CH_{Ap}), 120.34 (μ , $^1J = 275.04$, CF_3), 114.84 (μ , $^2J = 24.75$, CH_{Ap}), 107.96 (к, ${}^{3}J = 3.14$, CH_{Het-Ar}). ИК-спектр, v, см⁻¹: 3076 (слаб), 2966 (слаб), 2917 (слаб), 1707 (сильн), 1611 (слаб), 1505 (сильн), 1485 (сильн), 1413 (слаб), 1372 (слаб), 1315 (слаб), 1278 (сильн), 1215 (сред), 1175 (сред), 1143(сильн), 1076 (сред), 1035 (сред), 984(слаб), 911 (слаб), 886 (сред), 747 (сильн), 686 (сред), 546 (слаб). Масс спектр FD MS m/z (%): 316 (100), 297(8), 195(4), 181(14), 167(93), 138(68), 124(13), 122(18), 96(27), $[M^+,]$. Масс-спектр высокого разрешения (HR MS, ESI) для соединения со структурной формулой $C_{12}H_5ON_3F_4S$ показал следующие значения: Расчётное значение (m/z): 315.00840, экспериментально полученное значение (m/z): 315.00748. Элементный анализ (% массовой доли) продемонстрировал: Расчётные значения: C, 45.70; H, 1.62; N, 13.32, экспериментальные данные: C, 45.22; H, 1.88; N, 13.22.

Синтез 2-(3-Фторметилфенил)-7-(трифторметил)-5-оксо-5Н- [1,3,4]тиадиазоло[3,2-а]пиримидина (6р). В сухую круглодонную колбу, оснащённую магнитной мешалкой и обратным холодильником, под атмосферой аргона загружали 2-бромо-7-(трифторметил)-5H-[1,3,4]тиадиазоло[3,2-а]пиримидин-5-он (0,334 ммоль, 100 мг, 1,0 экв.), 3-фторметилфенилбороновую

кислоту (0,367 ммоль, 1,1 экв.), ацетат палладия(II) (0,033 ммоль, 0,1 экв.), лиганд ХапtPhos (0,067 ммоль, 0,2 экв.) и карбонат калия (0,668 ммоль, 2,0 экв.). К реакционной смеси добавляли сухой 1,4-диоксан (2 мл), предварительно дегазированный продувкой аргоном. Реакционную смесь нагревали при 100 °C в течение 16 часов при интенсивном перемешивании. После охлаждения до комнатной температуры смесь разбавляли водой (10 мл) и экстрагировали органические вещества этилацетатом (3 × 10 мл). Органические экстракты объединяли, сушили над безводным сульфатом натрия, фильтровали и упаривали растворитель под вакуумом.

Выход продукта составляет 68 мг (55 %), представляет твёрдое жёлтое вещество с температурой плавления 152 - 153 °C. ЯМР ¹H (CDCl₃), δ , м. д., Γ ц: 8.25 (c, 1H, CH_{Ap}), 8.16 (π , $^{3}J = 8.25$, 1H, CH_{Ap}), 7.93 (π , $^{3}J = 7.91$, 1H, CH_{Ap}), 7.72 $(T, {}^{3}J = 7.86, 1H, CH_{Ap}), 6.87$ (c, 1H, $CH_{Het-ar})$. ЯМР ${}^{13}C$ (CDCl₃), δ , м. д., Γ ц.: 163.13 (C_{Ap}),159.25 (C_{Ap}), 156.01 (C_{Ap}), 151.26 (κ , $^2J = 36.06$, C-CF₃), 132.64 (κ , 2J = 33.54, C-CF₃), 131.18 (C_{Ap}), 130.51(CH_{Ap}), 130.14 (κ , ³J = 3.67, CH_{Ap}), 128.83 (CH_{Ap}) , 124.77 (κ , ${}^{3}J = 3.66$, CH_{Ap}), 123.27 (κ , ${}^{1}J = 272.47$, CF_{3}), 120.33 (κ , ${}^{1}J =$ 275.66, CF₃), 108.12 (к, 3 J = 3.07, CH_{Het-ar} ИК-спектр, v, см⁻¹: 3043 (слаб), 2962(слаб), 2919 (слаб), 1708 (сильн), 1618 (слаб), 1589 (слаб), 1621 (сильн), 1510 (сильн), 1489 (сред), 1419 (сред), 1342 (сильн), 1276 (сильн), 1195 (сред), 1144 (сред), 1123 (сред), 1075 (сред), 1031 (сильн), 975 (слаб), 913 (слаб), 874 (сред), 811 (сильн), 745 (сред), 695 (сильн), 586 (сред). Масс спектр FD MS m/z (%): 366 (100), 347(19), 188(47), 181(13), 174(12), 167(90), 146(16), 138(15), 126(7), 121(8), 94(5), [M⁺,]. Масс-спектр высокого разрешения (HR MS, ESI) для соединения со структурной формулой $C_{13}H_5ON_3F_6S$ показал следующие значения: Расчётное значение (m/z): 365.00520, экспериментально полученное значение (m/z): 365.00401. Элементный анализ (% массовой доли) продемонстрировал: Расчётные значения: С, 42.74; H, 1.37; N, 11.51, экспериментальные данные: С, 42.84; H, 1.81; N, 11.44.

2-(4-трифторметоксифенил)-7-(трифторметил)-5-оксо-5Н-Синтез [1,3,4]тиадиазоло[3,2-а]пиримидина (6q). В сухую круглодонную колбу, оснащённую магнитной мешалкой и обратным холодильником, под атмосферой 2-бромо-7-(трифторметил)-5H-[1,3,4]тиадиазоло[3,2аргона загружали а]пиримидин-5-он (0,334 ммоль, 100 мг, 1,0 экв.), 4-(трифторметокси) фенилбороновую кислоту (0,367 ммоль, 1,1 экв.), ацетат палладия (II) (0,033 ммоль, 0,1 экв.), лиганд XantPhos (0,067 ммоль, 0,2 экв.) и карбонат калия (0,668 ммоль, 2,0 экв.). К реакционной смеси добавляли сухой 1,4-диоксан (2 мл), предварительно дегазированный продувкой аргоном. Реакционную смесь нагревали при 100 °C в течение 16 часов при интенсивном перемешивании. После охлаждения до комнатной температуры смесь разбавляли водой (10 мл) и экстрагировали органические вещества этилацетатом (3 × 10 мл). Органические экстракты объединяли, сушили над безводным сульфатом натрия, фильтровали и упаривали растворитель под вакуумом.

Выход продукта составляет 78 мг (60 %), представляет твёрдое жёлтое вещество с температурой плавления $168\text{-}169~^{0}\text{C}$. ЯМР ^{1}H (CDCl₃), δ , м. д., Γ ц: 8.01-8.05 (м, 2H, CH_{Ap}), 7.42 (дд, $^{3}\text{J} = 8.96$, $^{4}\text{J} = 0.97$, 2H, CH_{Ap}), 6.88 (с, 1H, CH_{Het-ar}). ЯМР ^{13}C (CDCl₃), δ , м. д., Γ ц.: 163.26 (С_{Ap}), 159.24 (С_{Ap}), 156.06 (С_{Ap}), 153.02 (С_{Ap}), 151.21 (к, $^{2}\text{J} = 36.82$, C-CF₃), 129.85 (С_{Ap}), 126.24 (СH_{Ap}), 124.03 (к, $^{1}\text{J} = 275.51$, CF₃), 121.67 (СН_{Ap}), 120.37 (к, $^{1}\text{J} = 259.51$, OCF₃), 108.03 (к, $^{3}\text{J} = 3.05$, СН_{Het-ar}). ИR-спектр, v, см⁻¹: 3103 (слаб), 3066 (слаб), 2961 (слаб), 1715 (сильн), 1605 (слаб), 1588(слаб), 1517 (сильн), 1498 (сильн), 1412 (сред), 1302 (слаб),

1257 (сред), 1245 (сред), 1172 (сильн), 1137 (сильн), 1071 (сред), 1026 (сред), 965 (слаб), 893 (сред), 852 (сильн), 843 (сильн), 744 (слаб), 702 (сильн), 602 (сред). Масс спектр FD MS m/z (%): 382 (100), 206(34), 190(18), 181(14), 167(87), 149(5), 139(14), 109(17), 94(4), $[M^+,]$. Масс-спектр высокого разрешения (HR MS, ESI) для соединения со структурной формулой $C_{13}H_5O_2N_3F_6S$ показал следующие значения: Расчётное значение (m/z): 381.00012, экспериментально полученное значение (m/z): 380.99940. Элементный анализ (% массовой доли) продемонстрировал: Расчётные значения: C, 40.96; H, 1.33; N, 11.03, экспериментальные данные: C, 40.76; H, 1.55; N, 10.75.

Синтез 2-(3-Цианофенил)-7-(трифторметил)-5-оксо-5Н-[1,3,4]тиадиазоло[3,2-а]пиримидина (6r). В сухую круглодонную колбу, оснащённую магнитной мешалкой и обратным холодильником, под атмосферой аргона 2-бромо-7-(трифторметил)-5H-[1,3,4]тиадиазоло[3,2-а]пиримидин-5-он (0,334 ммоль, 100 мг, 1,0 экв.), 3-цианофенилбороновую кислоту (0,367 ммоль, 1,1 экв.), ацетат палладия(II) (0,033 ммоль, 0,1 экв.), лиганд XantPhos (0,067 ммоль, 0,2 экв.) и карбонат калия (0,668 ммоль, 2,0 экв.). К реакционной смеси добавляли сухой 1,4-диоксан (2 мл), предварительно дегазированный продувкой аргоном. Реакционную смесь нагревали при 100 °C в течение 16 часов при интенсивном перемешивании. После охлаждения до комнатной температуры смесь разбавляли водой (10 мл) и экстрагировали органические вещества этилацетатом (3 × 10 мл). Органические экстракты объединяли, сушили над безводным сульфатом натрия, фильтровали и упаривали растворитель под вакуумом.

$$N$$
CF3

Выход продукта составляет 71 мг (55 %), представляет твёрдое жёлтое вещество с температурой плавления 229 – 230 0 С. ЯМР 1 Н (CDCl₃), δ , м. д., Γ ц:

 $8.25 \text{ (T, }^4\text{J} = 1.43, 1\text{H, CH}_{Ap}), 8.04-8.23 \text{ (M, 1H, CH}_{Ap}), 7.91-7.94 \text{ (M, 1H, CH}_{Ap}), 7.73$ $(T, {}^{3}J = 7.75, 1H, CH_{Ap}), 6.90 (c, 1H, CH_{Het-ar}).$ ЯМР ${}^{13}C$ (CDCl₃), δ , м. д., Γ ц.: $162.96 (C_{Ap}), 158.36 (C_{Ap}), 155.86 (C_{Ap}), 151.32 (\kappa, {}^{2}J = 36.72, C-CF_{3}), 136.46 (CN),$ 131.76 (C_{Ap}), 131.23 (C_{Ap}), 130.83 (CH_{Ap}), 129.32 (CH_{Ap}), 120.27 (κ , $^{1}J = 275.11$, CF₃), 117.05 (CH_{Ap}), 114.63 (CH_{Ap}), 108.25 (κ , ${}^{3}J = 2.76$, CH_{Het-ar}). HK-cnektp, v, см-1: 3072 (сред), 3034 (слаб), 2958 (слаб), 2917 (сред), 2848 (сред), 2233 (сред), 2231 (сред), 1703 (сильн), 1578 (слаб), 1524 (сильн), 1509 (сред), 1416 (сред), 1282 (сильн), 1195 (сильн), 1144 (сильн), 1078 (сред), 1039 (сред), 996 (слаб), 895 (слаб), 871 (сильн), 809 (сильн), 747 (сред), 684(сильн), 561 (сильн). Масс спектр FD MS m/z (%): 323 (100), 295(9), 181(13), 167(99), 147(48), 139(13), 129(15), 103(22), 94(5), [M⁺,]. Масс-спектр высокого разрешения (HR MS, ESI) для соединения со структурной формулой $C_{13}H_5ON_4F_3S$ показал следующие значения: Расчётное значение (m/z): 322.01307, экспериментально полученное 322.01214. Элементный анализ (% значение (m/z): массовой доли) продемонстрировал: Расчётные значения: С, 48.44; Н, 1.55; N, 17.68, экспериментальные данные: C, 48.61; H, 2.15; N, 17.95.

2-(3-Нитрофенил)-7-(трифторметил)-5-оксо-5Н-Синтез [1,3,4]тиадиазоло[3,2-а]пиримидина (6s). В сухую круглодонную колбу, оснащённую магнитной мешалкой и обратным холодильником, под атмосферой 2-бромо-7-(трифторметил)-5H-[1,3,4]тиадиазоло[3,2аргона загружали а пиримидин-5-он (0,334 ммоль, 100 мг, 1,0 экв.), 3-нитрофенилбороновую кислоту (0,367 ммоль, 1,1 экв.), ацетат палладия(II) (0,033 ммоль, 0,1 экв.), лиганд XantPhos (0,067 ммоль, 0,2 экв.) и карбонат калия (0,668 ммоль, 2,0 реакционной смеси добавляли сухой 1,4-диоксан предварительно дегазированный продувкой аргоном. Реакционную смесь нагревали при 100 °C в течение 16 часов при интенсивном перемешивании. После охлаждения до комнатной температуры смесь разбавляли водой (10 мл) и экстрагировали органические вещества этилацетатом (3 × 10 мл). Органические экстракты объединяли, сушили над безводным сульфатом натрия, фильтровали и упаривали растворитель под вакуумом.

$$O_2N$$
 O_2N
 O_2N
 O_3
 O_3
 O_4
 O_5
 O

Выход продукта составляет 76 мг (65 %), представляет твёрдое жёлтое вещество с температурой плавления 248-249 0 C. ЯМР 1 H (CDCl₃), δ , м. д., Γ ц: 8.75 (T, ${}^{4}J = 1.85$, 1H, CH_{Ap}), 8.46-8.52 (M, 1H, CH_{Ap}), 8.37-8.38 (M, 1H, CH_{Ap}), 7.83 $(T, {}^{3}J = 8.06, 1H, CH_{Ap}), 6.93$ (c, 1H, CH_{Het-ar}). ЯМР ${}^{13}C$ (CDCl₃), δ , м. д., Γ ц.: 163.02 (C_{Ap}), 158.27 (C_{Ap}), 155.85 (C_{Ap}), 151.33 (κ , $^2J = 36.33$, C-CF₃), 148.94 (C_{Ap}) , 133.25 (C_{Ap}) , 131.12 (CH_{Ap}) , 129.54 (CH_{Ap}) , 127.83 (CH_{Ap}) , 122.87 (CH_{Ap}) , 120.27 (к, ${}^{1}J = 275.11$, CF₃), 108.23 (к, ${}^{3}J = 3.26$, CH_{Het-ar}). ИК-спектр, v, см⁻¹: 3086 (слаб), 3034(слаб), 2851 (слаб), 1694 (сильн), 1616 (слаб), 1581 (слаб), 1507 (сильн), 1435 (слаб), 1346 (сильн), 1276 (сильн), 1259 (сред), 1189 (сред), 1151 (сильн), 1075 (сред), 1041 (слаб), 998 (слаб), 911 (сред), 875 (сильн), 812 (сред), 711 (сред), 564 (слаб). Масс спектр FD MS m/z (%): 343 (98), 297(3), 181(15), 167 (100), 149 (7), 135 (11), 121 (45), 103 (6), 95 (7), [М+,]. Масс-спектр высокого разрешения (HR MS, ESI) для соединения со структурной формулой $C_{12}H_5O_3N_4F_3S$ показал следующие значения: Расчётное значение (m/z): экспериментально полученное 342.00290, значение (m/z): 342.98217. Элементный анализ (% массовой доли) продемонстрировал: Расчётные значения: C, 42.12; H, 1.46; N, 16.36, экспериментальные данные: C, 42.17; H, 1.45; N, 16.43.

Синтез 2-(3-Фенилфенил)-7-(трифторметил)-5-оксо-5Н- [1,3,4]тиадиазоло [3,2-а]пиримидина (6t). В сухую круглодонную колбу, оснащённую магнитной мешалкой и обратным холодильником, под атмосферой 2-бромо-7-(трифторметил)-5H-[1,3,4]тиадиазоло[3,2-а]пиримидин-5-он (0,334 ммоль, 100 мг, 1,0 экв.), [1,1'-бифенил]-3-бороновую кислоту (0,367 ммоль, 1,1 экв.), ацетат палладия(II) (0,033 ммоль, 0,1 экв.), лиганд ХапtPhos (0,067 ммоль, 0,2 экв.) и карбонат калия (0,668 ммоль, 2,0 экв.). К реакционной смеси

добавляли сухой 1,4-диоксан (2 мл), предварительно дегазированный продувкой аргоном. Реакционную смесь нагревали при $100~^{\circ}$ С в течение 16 часов при интенсивном перемешивании. После охлаждения до комнатной температуры смесь разбавляли водой (10 мл) и экстрагировали органические вещества этилацетатом (3 × 10 мл). Органические экстракты объединяли, сушили над безводным сульфатом натрия, фильтровали и упаривали растворитель под вакуумом.

$$N$$
 N
 N
 N
 CF_3

Выход продукта составляет 87 мг (70 %), представляет твёрдое жёлтое вещество с температурой плавления 201 - 202 ⁰C. ЯМР ¹H (CDCl₃), δ , м. д., Γ ц: 8.14 (T, 4 J = 1.68,1H, CH_{Ap}), 7.81-7.91 (M, 2H, CH_{Ap}), 7.58-7.63 (M, 3H, CH_{Ap}), 7.43-7.52 (м, 3H, CH_{Ap}), 6.85 (с, 1H, CH_{Het-ar}). ЯМР ¹³С (CDCl₃), δ, м. д., Гц.: 163.38 (C_{Ap}) , 160.82 (C_{Ap}) , 156.15 (C_{Ap}) , 151.07 $(\kappa, {}^{2}J = 36.11, CCF_{3})$, 143.15 (C_{Ap}) , 139.22 (C_{Ap}) , 132.35 (C_{Ap}) , 130.16 (CH_{Ap}) , 129.22 (CH_{Ap}) , 128.53 (CH_{Ap}) , 128.40 (CH_{Ap}) , 127.35 (CH_{Ap}), 126.76 (CH_{Ap}), 126.42 (CH_{Ap}), 120.41 (κ , ¹J = 275.13, CF₃), 107.82 $(\kappa, {}^{3}J = 3.11, CH_{Het-ar})$. ИК -спектр, v, см⁻¹: 3071 (слаб), 3036 (слаб), 2918 (слаб), 2847 (слаб), 1701 (сильн), 1598 (слаб), 1585 (слаб), 1501 (сильн), 1471 (сред), 1415 (сильн), 1366 (слаб), 1313(слаб), 1276 (сильн), 1237 (слаб), 1185 (сред), 1161 (сред), 1145 (сильн), 1076 (сред), 1016 (слаб), 917 (слаб), 874 (сред), 851 (слаб), 755 (сильн), 697 (сильн), 625 (сред), 558 (слаб). Масс спектр FD MS m/z (%): 372 (100), 344(3), 196(22), 182(18), 181(20), 178(35), 167(46), 151(24), 152(10), 138(5), 92(3), [M⁺,]. Масс-спектр высокого разрешения (HR MS, ESI) для соединения со структурной формулой $C_{18}H_{10}ON_3F_3S$ показал следующие значения: Расчётное значение (m/z): 373.04912, экспериментально полученное 373.04855. Элементный анализ (m/z): (% массовой значение продемонстрировал: Расчётные значения: С - 57.92, Н - 2.71, N-11.26. экспериментальные данные: C- 57.78, H- 2.86, N-11.57

ГЛАВА 3. ОБСУЖДЕНИЕ РУЗУЛЬТАТОВ

3.1. Ингибирующие, биологические свойства изученных гетероциклических соединений и их молекулярный докинг

Гетероциклические соединения представляют собой один из наиболее значимых и структурно разнообразных классов органических соединений, обладающих широким спектром биологической активности и функциональной значимости. Их уникальная электронная и пространственная организация, обусловленная присутствием В цикле атомов гетероэлементов кислорода, серы и др.), определяет специфическую реакционную способность и конформационные особенности, что, в свою очередь, обусловливает их фундаментальную роль в химии природных и синтетических биологически активных веществ. В последние десятилетия гетероциклические структуры активно исследуются как универсальные фармакофорные платформы, способные к целенаправленной модификации с целью конструирования соединений заданными фармакологическими свойствами. Высокая способность таких систем к образованию различных типов межмолекулярных взаимодействий ковалентных, водородных, ион-дипольных, π – π -стэкинговых и координационных позволяет им эффективно взаимодействовать с активными центрами ферментов, рецепторов, нуклеиновых кислот и других биомишеней. Это делает гетероциклы незаменимыми структурными элементами проектировании современных лекарственных субстанций.

Особое внимание в органическом синтезе и медицинской химии уделяется конденсированным полициклическим гетероциклическим И системам, содержащим несколько атомов гетероэлементов в единой π -сопряжённой системе. Такие соединения обладают выраженной электронной устойчивость способность делокализацией, ЧТО определяет ИХ И разнообразным химическим трансформациям. В частности, производные пиримидина, имидазола, тиазола, тиадиазола и их конденсированных форм демонстрируют широкий диапазон биологической активности, включая

противомикробное, противоопухолевое, антимикотическое, противовоспалительное, антиоксидантное и антиметаболитное действие.

Пиримидиновое ядро является одной из наиболее значимых структурных единиц в биологически активных соединениях. Оно входит в состав оснований (цитозина, тимина, урацила), нуклеиновых также коферментов и витаминов, что объясняет его высокую биологическую значимость. Производные пиримидина применяются широко фармацевтической промышленности как антиметаболиты, ингибиторы противоопухолевые и противовирусные ферментов, агенты. Благодаря возможности введения различных электронодонорных и электроноакцепторных заместителей, пиримидиновое кольцо представляет собой удобную матрицу для направленного синтетического модифицирования с целью оптимизации биологической активности.

Имидазольный очередь, характеризуется выраженной цикл, свою базичностью и способностью к донорно-акцепторным взаимодействиям, что обуславливает его роль в функционировании множества биосистем. Он входит аминокислоты гистидина, коферментов состав ряда природных антибиотиков. Синтетические производные имидазола и его конденсированных форм активно применяются в качестве антимикотических, противоопухолевых, Конденсация противовоспалительных И антиоксидантных агентов. имидазольного фрагмента с другими гетероциклами, такими как тиазол, пиридин или пиримидин, позволяет значительно расширить диапазон их фармакологической активности счёт синергетического эффекта за гетероатомных центров.

В последние годы особое внимание исследователей привлекают пиримидинконденсированные полиазагетероциклы, содержащие структурные элементы других фармакофорных фрагментов — пиридина, имидазола, тиазола и тиадиазола. Эти системы демонстрируют повышенную стабильность, выраженную полярность и способность к образованию устойчивых комплексов с биологически значимыми металлами. Такие свойства способствуют их

использованию в качестве координационных лигандов, ингибиторов ферментативных реакций и потенциальных противоопухолевых агентов.

Среди указанных соединений особый интерес представляют производные 1,3,4тиадиазоло[3,2-а]пиримидина, сочетающие в себе структурные элементы двух фармакофорных систем — тиадиазольного и пиримидинового фрагментов. Наличие атомов азота и серы в единой конденсированной системе придаёт соединениям класса выраженные электронодонорные данного И электроноакцепторные свойства, а также способность к координации с ионами переходных металлов. Это обуславливает их потенциальную активность в качестве антибактериальных, противовирусных, противоопухолевых И антиоксидантных агентов.

1,3,4-Актуальность разработки методов производных новых синтеза тиадиазоло[3,2-а]пиримидина обусловлена необходимостью поиска эффективных, высокоселективных и экологически безопасных подходов к построению данных систем. Современные тенденции органического синтеза направлены на использование мягких условий, катализаторов различной природы (в том числе кислотно-основных и переходнометаллических), а также микроволновой и ультразвуковой активации. Введение таких подходов позволяет сократить продолжительность реакций, повысить выход целевых продуктов и минимизировать количество побочных соединений.

В работе настоящей рассматриваются как каталитические, так И некаталитические методы синтеза новых производных 1,3,4-тиадиазоло[3,2а пиримидина. Основное внимание уделено влиянию условий реакции, природы исходных веществ и используемых катализаторов на выход и чистоту продуктов. Проводится комплексное исследование полученных соединений с использованием современных физико-химических методов анализа, включая ЯМР-спектроскопию (^1H и ^13C), ИК-спектроскопию, массспектрометрию и элементный анализ. В отдельных случаях для подтверждения пространственного строения применяется рентгеноструктурный анализ.

Одним из ключевых аспектов исследования является выявление корреляции между структурными особенностями синтезированных соединений и их биологической активностью. Оценка антимикробной и противоопухолевой активности проводится в отношении ряда модельных микроорганизмов и клеточных линий. Полученные результаты позволяют определить структурнобиологические зависимости электронной И установить влияние И модификации пространственной молекулы eë фармакологический на потенциал.

Научная новизна настоящего исследования заключается в разработке новых 1,3,4направлений синтеза функционализированных производных тиадиазоло[3,2-а]пиримидина, оптимизации реакционных условий установлении закономерностей их реакционной способности. Практическая значимость работы определяется возможностью использования синтезированных соединений В качестве перспективных прототипов биологически обладающих антимикробными, активных веществ, противоопухолевыми и антиоксидантными свойствами.

Таким образом, комплексное исследование, включающее разработку эффективных методов синтеза, изучение строения и биологической активности 1,3,4-тиадиазоло[3,2-а]пиримидина, собой производных представляет актуальное и перспективное направление современной гетероциклической химии. Результаты проведённой работы могут послужить основой для дальнейшего целенаправленного поиска новых фармакологически активных соединений и способствовать развитию синтетических подходов к созданию полиазагетероциклических систем с прогнозируемыми свойствами.

3.2. Синтез соединения 7-(трифторметил)-5-оксо-5H-1,3,4-тиадиазоло[3,2а]пиримидина и исследование его ингибирующих свойств

Процесс синтеза 2-бромо-7-(трифторметил)-5-оксо-5H-1,3,4-тиадиазоло[3,2-а]пиримидина (3) был выполнен с использованием доступных коммерческих реагентов. Исходными веществами для синтеза стали 5-бромзамещённый 2-амино-1,3,4-тиадиазол (1) и трифторметилацетоуксусный

эфир (2), как показано на **Схеме 3.1** Процесс синтеза проводился в соответствии с известными методиками, разработанными для получения производных 5-оксо-5H-1,3,4-тиадиазоло[3,2-а]пиримидина, что позволило успешно синтезировать целевое соединение с высокой эффективностью.

$$Br \xrightarrow{N-N} NH_2 + F_3C \xrightarrow{Q} OC_2H_5 \longrightarrow Br \xrightarrow{N-N} S \xrightarrow{N-N} CF_3$$

Схема 3.1. - Реакция циклоконденсации соединений 1 и 2

Реакции с анилинами протекают с высокой эффективностью, что делает их удобным инструментом для введения ароматических фрагментов в структуру целевого соединения. В случае использования алкиламинов, таких как метиламин или этиламин, наблюдалось снижение выходов, однако применение более длинноцепочечных алифатических аминов (например, пропиламина или бутиламина) позволило значительно улучшить выходы продуктов (5h-j). Это может быть связано с увеличением нуклеофильности аминов при удлинении углеродной цепи, что облегчает процесс замещения. Кроме того, проведение реакции Сузуки-Мияуры с участием соединения 3 и арилбороновых открывает дополнительные кислот возможности функционализации молекулы. Данный подход позволяет вводить в структуру различные ароматические и гетероароматические фрагменты, что расширяет спектр потенциальных биологически активных соединений. 2-бромо-7-(трифторметил)-5-оксо-5H-1,3,4-тиадиазоло[3,2модификация представляют собой важный этап в разработке а]пиримидина биологически активных соединений.

Схема 3.2. - Получение 2 аминзамещенных 5 из соединений 3 и 4

Реакция ароматического нуклеофильного замещения проводилась с использованием 2 эквивалентов амина в метаноле (МеОН) в качестве растворителя. Процесс длился 5 часов при температуре 20°C. Выходы продуктов (5) варьировались в зависимости от структуры амина **5a**: $R_1 = H$, $R_2 =$ C_6H_5 (91 %), **5b**: $R_1 = H$, $R_2 = 4$ -FC₆H₄ (90 %), **5c**: $R_1 = H$, $R_2 = 3$ -MeOC₆H₄ (60 %), **5d**: $R_1 = H$, $R_2 = 4$ -EtOC₆H₄ (90 %), **5e**: $R_1 = H$, $R_2 = 4$ -iPrC₆H₄ (87 %), **5f**: $R_1 = H$, $R_2 = 4 - H_2NC_6H_4$ (65 %), **5g**: $R_1 = H$, $R_2 =$ аллил (75 %), **5h**: $R_1 = H$, $R_2 =$ nPr (56 %), **5i**: $R_1 = H$, $R_2 = nBu$ (66 %), **5j**: $R_1 = H$, $R_2 = nPent$ (72 %), **5k**: $R_1 = H$, $R_2 = nPent$ $(Me)_2NCH_2CH_2$ (45 %), **5l**: $R_1 = Me$, $R_2 = NH_2$ (51 %), **5m**: $R_1 = nBu$, $R_2 = nBu$ (67 %), **5n**: $R_1 = Me$, $R_2 = C_6H_5$ (50 %). Реакции с ароматическими аминами (соединения 5a-5f) характеризуются высокими выходами продуктов (60-91%), что свидетельствует о высокой реакционной способности данного класса нуклеофилов. Анилины, обладающие ароматической π-системой, способны эффективно стабилизировать переходное состояние за счёт делокализации электронной плотности, что способствует более лёгкому образованию целевых продуктов. Наличие электронодонорных заместителей (например, -ОСН₃, -OC₂H₅, -iPrO) в ароматическом кольце не оказывает существенного ингибирующего эффекта, а в некоторых случаях даже улучшает выходы, повышая нуклеофильность аминогруппы. При использовании алкиламинов (5h-5j) наблюдается заметное снижение выходов реакций. Это, вероятно, связано с меньшей стабилизацией промежуточных комплексов и ограниченной электронной делокализацией, характерной для алифатических аминов. Тем не менее увеличение длины углеродной цепи от n-пропила до n-пентила приводит к постепенному росту выходов (от 56% до 72%). Данный эффект можно объяснить усилением гидрофобных взаимодействий И стабилизацией переходного состояния за счёт увеличения алкильной поверхности. В случае реакций с N-замещёнными аминами (5k-5n) получены умеренные выходы (45-67%), по-видимому, обусловлено стерическими затруднениями, ограничивающими доступ аминогруппы к реакционному центру. Кроме того,

наличие дополнительных заместителей на атоме азота может изменять распределение электронной плотности, снижая его нуклеофильность. Особенно это заметно для метилгидразина (51, 51%) и N-метиланилина (5n, 50%), где одновременно проявляется влияние как стерических, так и электронных факторов.

Таким образом, анализ полученных данных демонстрирует, что предложенные условия реакции обеспечивают эффективную функционализацию соединения 3, особенно в случае взаимодействия с ароматическими аминами. Это указывает на высокую универсальность разработанного метода и его перспективность для получения широкого спектра аминопроизводных, отличающихся по структуре и функциональным свойствам.

Таблица 3.1.- Результаты реакции соединения 3 с различными аминами

Соединение	Rı	R ₂	Выход %	Тип амина	Пояснения
5a	Н	C ₆ H ₅	91	Ароматический (анилин)	Высокая реакционная способность
5b	Н	4-FC ₆ H ₄	90	Ароматический (пара-фтор)	Высокий выход, электронно- акцепторный завещатель
5c	Н	3-MeOC ₆ H ₄	60	Ароматический (метокси)	Сниженный выход из-за донорного эффекта
5d	Н	4-EtOC ₆ H ₄	90	Ароматический (этокси)	Высокий выход
5e	Н	4-iPrC ₆ H ₄	87	Ароматический (изопропокси)	Немного снижен изза стерики
5f	Н	4-H ₂ NC ₆ H ₄	65	Ароматический (пара-амино)	Средний выход
5g	Н	Аллил	75	Алифатический (ненасыщенный)	Умеренный выход
5h	Н	nPr	56	Алифатический (n-пропил)	Снижение выхода
5i	Н	nBu	66	Алифатический (n-бутил)	Улучшение выхода при удлинении цепи
5 <u>j</u>	Н	nPent	72	Алифатический (n-пентил)	Максимум среди алифатических
5k	Н	(Me) ₂ NCH ₂ CH ₂	45	N-замещённый	Низкий выход из-за стерики

51	Me	NH ₂	51	Гидразинпроизводные	Низкий выход, стерическое и электронное
					влияние
5m	nBu	nBu	67	N-замещённый	Средний выход
5n M			50	N-метиланилин	Низкий выход,
	Me	C ₆ H ₅			стерические и
					электронные
					эффекты

- Ароматические амины (5a–5f) дают высокие выходы (60–91%), что подтверждает их высокую реакционную способность.
- Алифатические амины (5g-5j) показывают умеренные выходы, но увеличение длины цепи повышает выход (от 56% до 72%).
- N-замещённые амины (5k–5n) дают умеренные или низкие выходы (45–67%), что связано со стерическими затруднениями и электронными эффектами.

Структуры всех синтезированных соединений были подтверждены с использованием данных ЯМР ¹H, ¹³С и ИК-спектроскопии. В частности, для соединения $5a (R_1 = H, R_2 = C_6H_5)$ спектр ЯМР ¹H был записан в CD₃SOCD₃ (диметилсульфоксид-d₆), и наблюдались следующие характерные сигналы (δ, м.д., Гц) 10.86 (с, 1H, NH) сигнал протона аминогруппы, указывающий на наличие водородной связи, 7.63 (дд, $3J = 8.75 \, \Gamma$ ц, $4J = 1.12 \, \Gamma$ ц, $2H, \, CH_{Ap}$) сигналы ароматических протонов, характерные для замещённого бензольного кольца, 7.44 (т, $3J = 7.81 \, \Gamma$ ц, 2H, CH_{Ap}) дополнительные сигналы ароматических протонов, 7.13 (т, 3J = 7.36 Γ ц, 1H, CH_{Ap}) — сигнал протона в пара-положении бензольного кольца, 6.87 (c, 1H, CHHet-Ar) протона гетероциклического фрагмента, связанного с ароматическим кольцом.

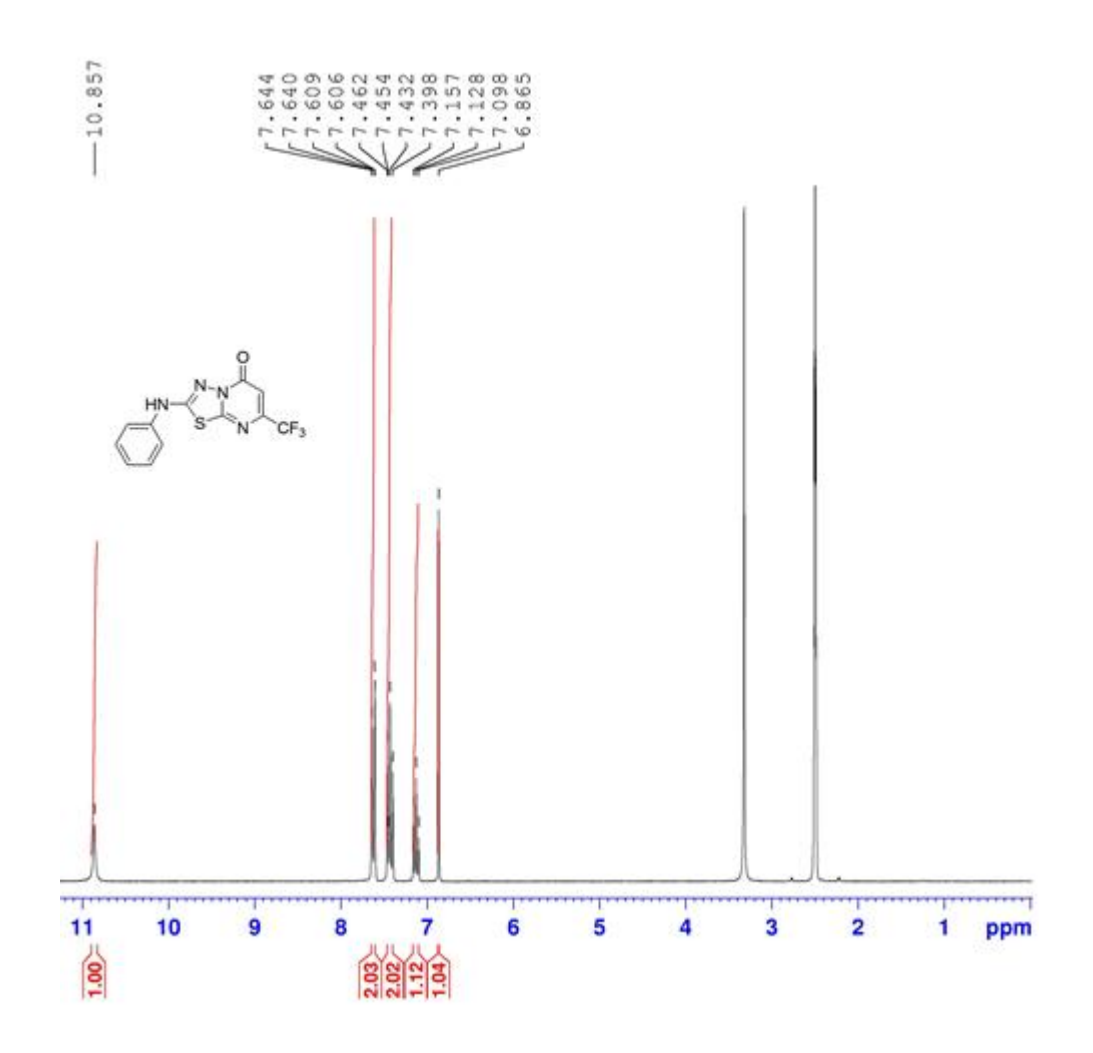


Рисунок 3.1. - Спектр протонного магнитного резонанса (ЯМР ¹Н) 2-фениламино-7-(трифторметил)-5-оксо-5Н-1,3,4-тиадиазоло[3,2-а]пиримидина (5а) в дейтерированном диметилсульфоксиде (CD₃SOCD₃)

На спектре ЯМР 13 С соединения **5а** в CD₃SOCD₃ наблюдаются характерные сигналы: 107.04 (CH_{Het-ar}), 118.44 и 123.63 (CH_{Ap}), 120.77 (CF₃, 1 J = 274.68 Гц), 129.44 (CH_{Ap}), 138.96 (C_{Ap}), 148.12 (C-CF₃, 2 J = 34.77 Гц), 154.17, 154.86 и 161.17 (С_{Ap}). Сигналы подтверждают наличие ароматических и гетероциклических фрагментов, а также наличие трифторметильной группы (CF₃), что согласуется с ожидаемой структурой соединения.

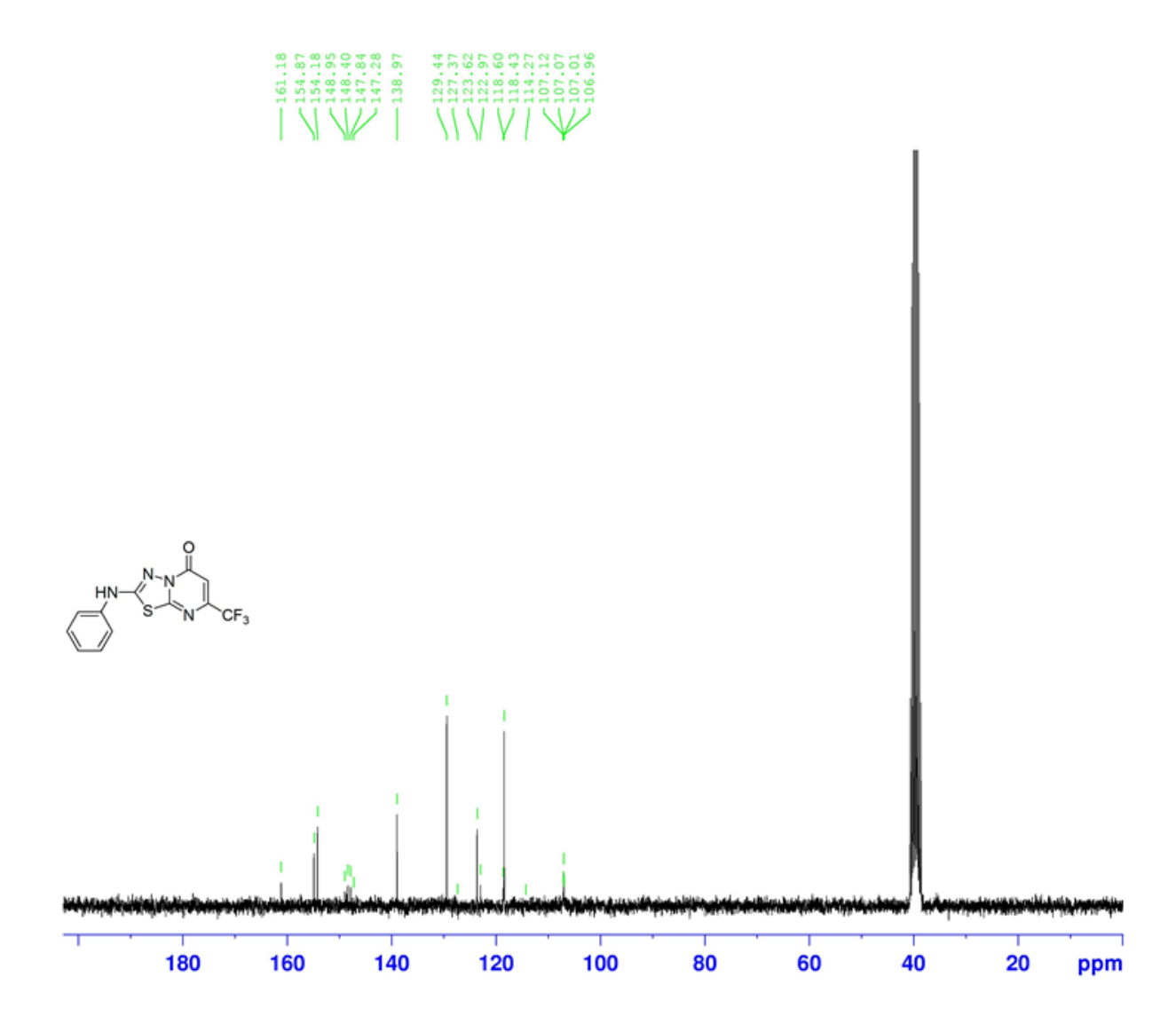


Рисунок 3.2. - Спектр ЯМР ¹³С 2-фениламино-7-(трифторметил)-5-оксо-5H-1,3,4-тиадиазоло[3,2-а]пиримидина (5а) в CD₃SOCD₃.

На следующем этапе работы была реализована реакция кросс-сочетания по методу Сузуки-Мияуры, направленная на функционализацию исходного гетероциклического субстрата. В качестве исходного соединения использовался **2-бромо-7-(трифторметил)-5-оксо-5H-1,3,4-тиадиазоло**[**3,2-а**]пиримидин (3),содержащий реакционноспособный атом брома в положении, благоприятном для замещения в условиях палладий-катализируемой реакции. Процесс кросссочетания проводился в присутствии катализатора Pd(OAc)2 и фосфинового лиганда Xantphos, что обеспечивало эффективное образование активного способствовало комплекса палладия стабильному протеканию И каталитического цикла. В качестве основания использовался карбонат калия

(К2СО3), а реакционную среду составлял 1,4-диоксан, обеспечивающий хорошую растворимость реагентов и стабильность катализатора. Реакцию проводили при температуре 100 °C в течение 16 часов, что позволило достичь соотношения между скоростью оптимального протекания процесса катализатора. Взаимодействие соединения сохранностью рядом арилбороновых кислот, различающихся по электронной природе и положению заместителей в ароматическом кольце, привело к образованию продуктов кросс-сочетания ба-6t с выходами от умеренных до высоких (см. схему 3.3). Полученные результаты показали, что электронная и пространственная природа заместителей в арилбороновой кислоте оказывает значительное влияние на арилбороновые кислоты, эффективность реакции: содержащие электронодонорные группы (-Me, -OMe, -EtO), обеспечивали высокие выходы (до 90%), тогда как соединения с электроноакцепторными заместителями (-СN, -NO₂, -CF₃) давали умеренные выходы.

Таким образом, проведённая реакция Сузуки–Мияуры подтвердила возможность селективного введения арильных заместителей в структуру гетероциклической системы 3, что открывает перспективы для дальнейшего модифицирования данного ядра и создания библиотеки новых функциональных производных с потенциальной биологической активностью.

Реакционная способность ограничивалась стерическими препятствиями, особенно при использовании арилбороновых кислот, замещённых в ортоположении, что приводило к снижению выходов. Арилбороновые кислоты с электронодонорными заместителями показали более высокие выходы благодаря повышенной нуклеофильности, что способствовало эффективному протеканию реакции.

Таким образом, реакция Сузуки-Мияуры эффективным оказалась методом ДЛЯ функционализации соединения 3, особенно случае арилбороновых электроноизбыточными Ha кислот заместителями. следующем этапе исследования была проведена реакция кросс-сочетания по Сузуки-Мияуре с приминением соединения 3, катализируемая Pd(OAc)₂ в сочетании с бидентальным лигандом Xantphos.

Br
$$CF_3$$
 $Ar-B(OH)_2$ $Ar - (35-90\%)$

Схема 3.3.- Реакция кросс-сочетания по Сузуки-Мияуре с приминением соединения 3

Условия реакции включали арилбороновую кислоту (1.1 эквивалент), Xantphos (2.0 эквивалент), K₂CO₃ (2.0 эквивалент), Pd(OAc)₂ (10 мол %) и 1,4-диоксан в качестве растворителя при 100 °C в течение 16 часов. В результате взаимодействия с различными арилбороновыми кислотами были получены продукты кросс-сочетания 6 с выходами от умеренных до отличных: 2,3-(MeO)₂C₆H₃ (35 %), 2-EtOC₆H₄ (40 %), MeOC₆H₄ (45 %), 2- 2-FC₆H₄ (51 %), 3-NCC₆H₄ (56 %), 3-F₃CC₆H₄ (56 %), 3,3-(Me)₂C₆H₃ (61 %), 4-F₃COC₆H₄ (61 %), 3,4-(Me)₂C₆H₃ (62 %), 3-FC₆H₄ (65 %), 4-EtC₆H₄ (66 %), 3-N₂OC₆H₄ (66 %), 3-MeOC₆H₄ (66 %), 3-H₅C₆C₆H₄ (71 %), 2-MeC₆H₄ (74,5 %), 4-MeOC₆H₄ (79 %), 4-MeC₆H₄ (82 %), 3,3-(MeO)₂C₆H₃ (86 %), C₆H₅ (89,9 %), 4-EtOC₆H₄ (90 %).

Реакционная способность была ограничена стерическими препятствиями, что приводило к снижению выходов при использовании арилбороновых кислот, замещённых в орто-положении. Напротив, арилбороновые кислоты с электронодонорными заместителями обеспечивали более высокие выходы благодаря повышенной нуклеофильности, что способствовало эффективному протеканию реакции. Таким образом, реакция Сузуки-Мияуры оказалась эффективным методом для функционализации соединения 3, особенно в случае арилбороновых кислот с электроноизбыточными заместителями.

Таблица 3. 2. - Выходы соединений 6 с различными арилбороновыми кислотами

Соединение	Заместитель в арильном радикале (R)	Выход,	Характер заместителя	Пояснения
ба	2,3-(MeO) ₂ C ₆ H ₃	35	Орто,	Низкий выход из-за
	2,5-(1/100)200113		электронодонорный	стерических препятствий
6b	2-EtOC ₆ H ₄	40	Орто, электронодонорный	Стерические затруднения
6c	MeOC ₆ H ₄	45	Мета/пара, донорный	Умеренный выход
<i>C</i> .1	2 EC II	51	Орто,	Стерическое влияние
6d	2-FC ₆ H ₄		электронноакцепторный	частично снижает выход
6e	3-NCC ₆ H ₄	56	Мета, акцепторный	Средний выход
6f	3-CF ₃ C ₆ H ₄	56	Мета, акцепторный	Средний выход
6g	3,3-(Me) ₂ C ₆ H ₃	61	Мета, донорный	Умеренно высокий выход
6h	4-CF ₃ OC ₆ H ₄	61	Пара, акцепторный	Хороший выход
6i	3,4-(Me) ₂ C ₆ H ₃	62	Донорный	Умеренно высокий выход
бј	3-FC ₆ H ₄	65	Мета, акцепторный	Хороший выход
6k	4-EtC ₆ H ₄	66	Пара, донорный	Хороший выход
61	3-NO ₂ C ₆ H ₄	66	Мета, акцепторный	Средний выход
6m	3-MeOC ₆ H ₄	66	Мета, донорный	Хороший выход
6n	3-C ₆ H ₅ C ₆ H ₄	71	Ароматический	Высокий выход
60	2 MaC.H.	74.5	Орто, донорный	Стерически нагруженный,
60	2-MeC ₆ H ₄			но всё ещё высокий выход
6р	4-MeOC ₆ H ₄	79	Пара, донорный	Высокий выход
6q	4-MeC ₆ H ₄	82	Пара, донорный	Отличный выход
6r	3,3-(MeO) ₂ C ₆ H ₃	86	Мета, донорный	Очень высокий выход
6s	C ₆ H ₅	89.9	Без заместителей	Почти количественный выход
6t	4-EtOC ₆ H ₄	90	Пара, донорный	Максимальный выход

- Орто-замещённые арилбороновые кислоты → пониженные выходы из-за стерических препятствий.
- Пара- и мета-донорные заместители (Ме, МеО, EtO) → высокие выходы (до 90 %) благодаря повышенной нуклеофильности.

• Акцепторные группы (CN, NO₂, CF₃) \rightarrow умеренные выходы (55–66 %).

Для структурной идентификации всех синтезированных соединений серии 6 был использован комплекс спектроскопических методов, включая ядерный магнитный резонанс (ЯМР) на протонах (¹H) и углеродах (¹3C), а также инфракрасная спектроскопия (ИK). Эти методы позволили детально полученных анализировать структуры продуктов И подтвердить ИΧ идентичность. В спектре ЯМР ¹Н соединения ба, зарегистрированном в CDCl₃ (δ, м.д., Гц), наблюдались характерные сигналы, соответствующие протонам ароматической и гетероароматической систем 107.8 (к, $^{3}J = 3.06 \Gamma \mu$, CH_{Het-ar}), 120.4 (κ, ${}^{1}J = 275.11$ Γц, CF₃), 127.8, 128.04, 129.7 (CH_{Ap}), 130.7 (C_{Ap}), 152.1 (κ, ${}^{2}J$ = 36.30 Γ_{II} , C-CF₃), 156.17, 160.83, 163.41 (C_{Ap}), 7.98 (χ , ^{3}J = 7.85 Γ_{II} , 2H, CH_{Ap}), 7.53-7.67 (м, 3H, CH_{Ap}), 6.86 (с, 1H, CH _{Het-ar}). В спектре ЯМР ¹³С (CDCl₃) 6a были идентифицированы сигналы, соединения соответствующие углеродным атомам ароматического и гетероароматического фрагментов 107.79 (CH_{Het-ar}), 120.41 (CF₃), 127.91, 128.04, 129.75 (CH_{Ap}), 130.69 (C_{Ap}), 151.10 (C-CF₃), 156.17, 160.84, 163.42 (С_{Ар}). Полученные спектроскопические данные находятся в полном соответствии с предполагаемой структурой соединения ба и подтверждают её корректность, что согласуется с литературными данными для аналогичных химических систем.

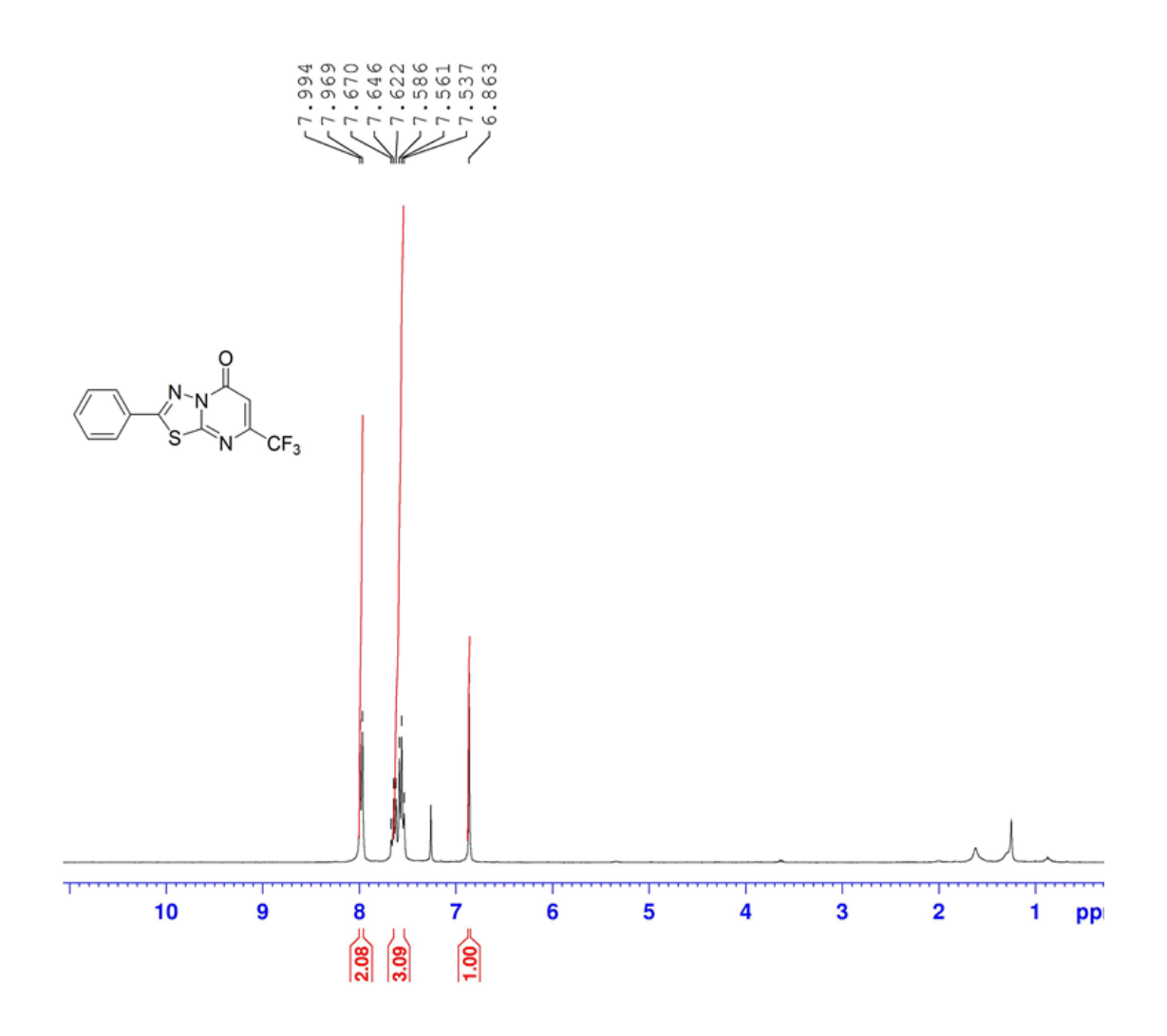


Рисунок 3.3. - Спектр ЯМР ¹Н 2-фенил-7-(трифторметил)-5-оксо-5H-1,3,4тиадиазоло[3,2-а]пиримидина (6а) в CDCl₃

На спектре ЯМР ¹³С соединения ба в CDCl₃ (δ , м.д., Γ ц,) зафиксированы характерные сигналы: 107.78 (κ , ³J = 3.06 Γ ц, CH _{Het-ar}), 120.42 (κ , ¹J = 274.10 Γ ц, CF₃), 127.92, 128.05, 129.76 (CH_{Ap}), 130.68 (C_{Ap}), 151.11 (κ , ²J = 36.31 Γ ц, C-CF₃), 156.16, 160.83, 163.41 (С_{Ap}). Наблюдаемые сигналы подтверждают наличие ароматических и гетероциклических фрагментов, а также трифторметильной группы в структуре соединения ба, что соответствует предложенной химической структуре.

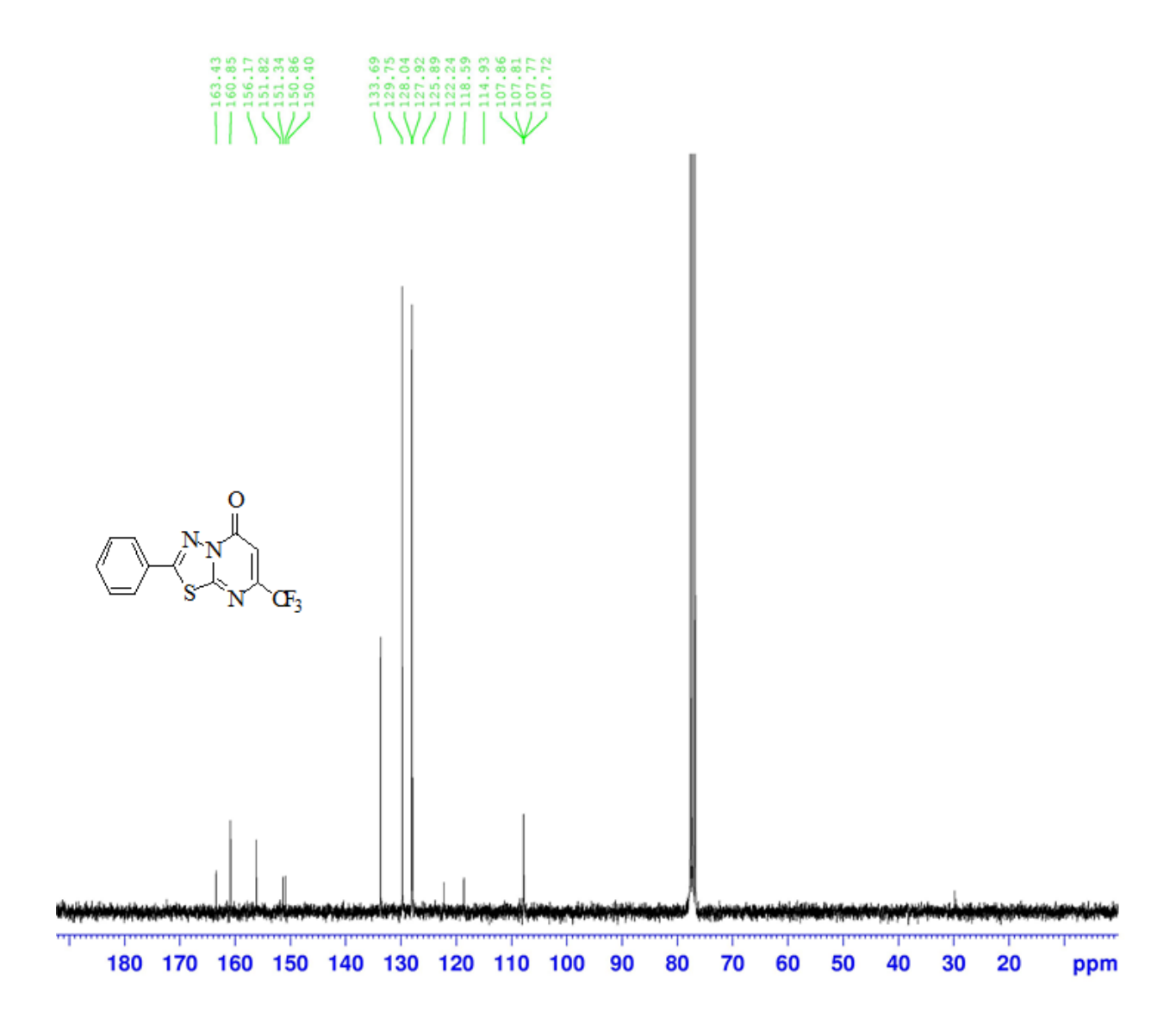


Рисунок 3.4. - Спектр ЯМР ¹³С 2-фенил-7-(трифторметил)-5-оксо-5H-1,3,4тиадиазоло[3,2-а]пиримидина (6а) в CDCl₃.

Механизм реакции кросс-сочетания по Сузуки включает три ключевые стадии: окислительное присоединение, трансметаллирование И Ha первой элиминирование. называемой восстановительное стадии, присоединением, арилгалогенид взаимодействует окислительным приводит образованию катализатором на основе палладия, что арилпалладиевого комплекса. Этот этап является важным, поскольку именно на нём происходит активация арилгалогенида, что способствует его дальнейшему вовлечению в реакцию с борной кислотой на стадии трансметаллирования. На (трансметаллирование) арилбороновая второй стадии кислота eë производное взаимодействует с арилпалладиевым комплексом, образуя

промежуточный диарилпалладиевый комплекс. На заключительной стадии (восстановительное элиминирование) происходит образование конечного биарильного соединения с регенерацией катализатора. Данный механизм представлен на схеме 3.4.

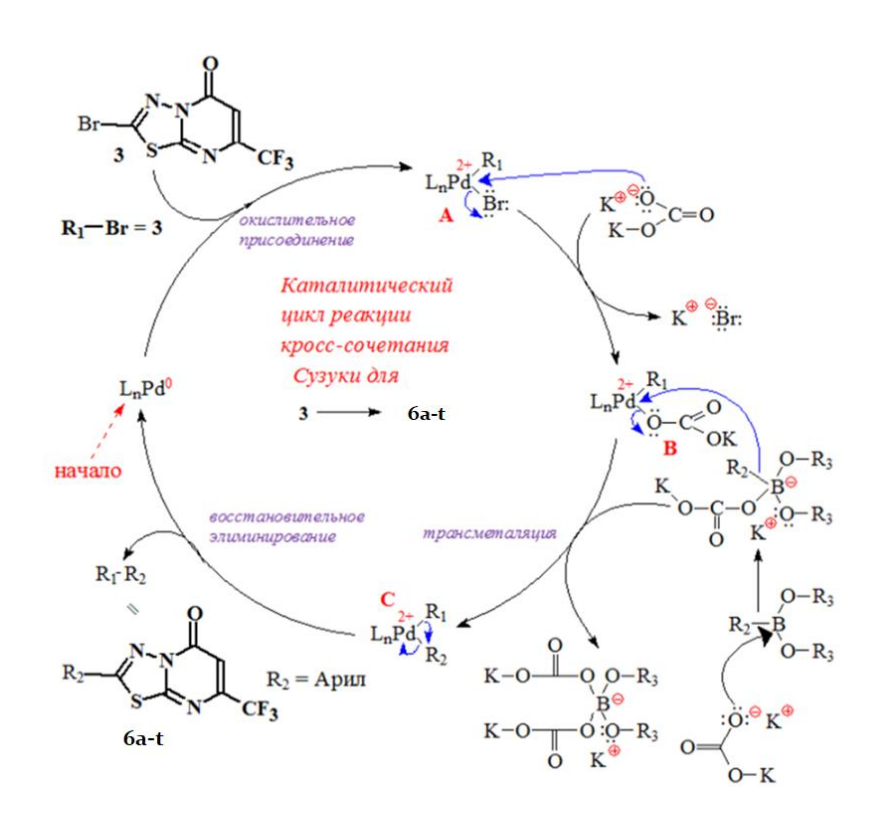


Схема 3.4. - Механизм реакции кросс-сочетания Сузуки для получения соединений 6 из соединения 3.

После стадии прекаталитической активации, заключающейся В образовании активного каталитического комплекса L_nPd^0 (Xantphos(L) + $Pd(OAc)_2 \rightarrow L_nPd^0$), иницируется каталитический цикл. На первом этапе происходит окислительное присоединение арилгалогенида 3 к палладиевому центру, что приводит к формированию металлоорганического интермедиата А. Далее, при взаимодействии интермедиата А с карбонатом калия, образуется промежуточное соединение В, содержащее палладий в высшей степени окисления. На стадии трансметаллирования интермедиат В реагирует с боратным комплексом, что приводит к образованию диарилпалладиевого комплекса С. Завершающей стадией цикла является восстановительное элиминирование, в результате которого образуется целевое биарильное соединение R_1 - R_2 , а катализатор регенерируется в активную форму L_nPd^0 , готовую к новому каталитическому циклу.

3.3. Влияние структуры на биологическую активность соединений

Изучение ингибирующей активности соединений против ферментов обеих серий 7-(трифторметил)-5-оксо- 5H-1,3,4-тиадиазоло[3,2-а]пиримидина (таблица. 3) показало существенные различия в их эффективности. Соединения из серии 5а-п, в которых во втором положении находится аминогруппа, и являющиеся производные серии 6a-t, 2-арилзамещенными аналогами, продемонстрировали различные уровни ингибирования. Например, соединение 5g с аллиловым заместителем при аминогруппе проявило значительное ингибирующее действие на человеческую тканеспецифическую щелочную фосфатазу (h-TNAP) по сравнению со щелочной фосфатазой человеческого кишечника (h-IAP). Однако селективность ингибирования оставалась ограниченной, достигая лишь приблизительно 3-кратного различия (fold). При этом введение заместителей в фенильное кольцо не привело к значительному улучшению ингибирующих свойств ПО сравнению \mathbf{c} незамещённым соединением 5а, что указывает на важность структуры аминогруппы для эффективности ингибирования. При сравнительном анализе ингибирующей 5c. 5d5f активности соединений отношении человеческой тканеспецифической щелочной фосфатазы (h-TNAP) установлено, что введение аминогруппы в фенильное кольцо (5f) значительно усиливает ингибирующий эффект. В то же время, замещение фенильного кольца метокси- (5c) и этоксигруппами (5d) оказалось менее эффективным. Соединения 5c и 5d показали сопоставимый ингибирующий потенциал против обоих изоферментов, однако, наличие метокси-группы в мета-положении (5c) обеспечило более высокую активность по сравнению с этокси-группой в параположении (5d). Дальнейшие исследования продемонстрировали, что введение алкильных заместителей, таких как пропил, в параположение фенильного кольца (5e) также оказывает влияние на ингибирующую активность. Однако модификации в других положениях, включая замещение аминогруппы (5h, 5i, 5j), не привели к

значительному улучшению ингибирующих свойств. Полученные результаты подчёркивают ключевую роль структурных особенностей заместителей и их пространственного расположения в молекуле для повышения эффективности ингибирования. Среди алкилзамещённых производных соединения с менее стерически затруднёнными заместителями, такими как 5і и 5і, не показали ингибирующей улучшения активности, ктох продемонстрировали И повышенную чувствительность. При этом наблюдалось противоположное поведение в отношении человеческой кишечной щелочной фосфатазы (h-IAP) производные с более короткими алкильными заместителями, такие как 5h, проявили усиленную ингибирующую активность против h-IAP, тогда как соединение 5 оказалось менее активным. Добавление п-бутильной группы в молекулу 5т существенно снизило её ингибирующую активность против обоих изоферментов.

B ряду 2-арилзамещённых 7-(трифторметил)-5H-5-оксо-1,3,4тиадиазёоло[3,2-а]пиримидинов (6а-t), за исключением соединений 6с, 6h и 6k, наибольшую селективность К ингибированию человеческой тканеспецифической щелочной фосфатазы (h-TNAP) проявили соединения 6i и 6m, тогда как 6d и 6q проявили селективность в отношении h-IAP. Соединения 6g (h-TNAP; 0.28 ± 0.02 µM, h-IAP; 0.48 ± 0.02 µM) и 6a (h-TNAP; 0.21 ± 0.02 μ M, h-IAP; $0.43 \pm 0.07 \mu$ M) показали сходные ингибирующие эффекты против обоих изоферментов. Детальный анализ взаимосвязи между химической структурой и биологической активностью выявил, что соединение ба, не содержащее заместителей в арильном кольце, оказалось наиболее эффективным ингибитором h-TNAP, превосходя по активности 4-метокси-производное 6g. Эти данные подчёркивают важность минимальной стерической нагрузки для максимальной ингибирующей эффективности. достижения Соединения, заместители (6е и 6f), продемонстрировали содержащие диметильные значительно более высокий ингибирующий потенциал по сравнению с монометилзамещённым аналогом 6b (IC₅₀ \pm SEM = 1,06 \pm 0,05 μ M). Наиболее выраженный эффект был отмечен для соединения с 3,3-диметильной группой в арильном кольце (6e), которое показало значение $IC_{50} \pm SEM = 0.52 \pm 0.08 \ \mu M$. Эти данные указывают на то, что наличие двух метильных групп в арильном фрагменте существенно усиливает ингибирующую активность.

Кроме того, было установлено, что введение метильной группы в метаположение фенильного кольца играет ключевую роль в повышении активности соединений против человеческой тканеспецифической щелочной фосфатазы (hTNAP). Это подчеркивает важность стерических и электронных эффектов заместителей в арильном кольце для оптимизации ингибирующих свойств.

Для человеческой кишечной щелочной фосфатазы (h-IAP) наблюдалось монометилзамещённое противоположное поведение производное (6b)ингибирующей продемонстрировало улучшение активности. Изменение положения метоксигруппы в структуре соединений существенно повлияло на их ингибирующие свойства. Когда метоксигруппа находилась в параположении фенильного кольца, наблюдалось значительное ингибирование как h-TNAP, так и h-IAP, при этом соединения проявляли большую селективность к h-TNAP. Однако, перемещение метоксигруппы в орто-положение привело к снижению ингибирующей активности против h-TNAP и полному отсутствию ингибирования h-IAP. Эти результаты подтверждають важность пространственного расположения заместителей ДЛЯ селективности И активности соединений.

В случае соединения бе, метильная группа в мета-положении фенильного кольца продемонстрировала наибольшую эффективность ингибирования по сравнению с другими положениями заместителя. Исключение составило соединение 5с, которое показало сопоставимый результат. Эти данные свидетельствуют о том, что расположение метильной группы в мета-позиции оказывает значительное влияние на активность соединения, что подтверждает важность точной модификации структуры для оптимизации ингибирующих свойств. Эти результаты подчёркивают важность положения и природы заместителей в арильном кольце для модуляции ингибирующей активности и селективности в отношении различных изоформ щелочной фосфатазы.

Таблица 3.3. - Ингибирование щелочных фосфатаз (h-TNAP и h-IAP)

1 2 3 4	5c 5d 5e 5e	0,38±0,06 1,58±0,11 1,98±0,12	0,44±0,07 0,02±0,16
3 4	5e		$0,02\pm0,16$
4		1,98±0,12	
	5e		31,5±3,67
+		1,98±0,12	31,5±3,67
5	5g	$0,29\pm0,03$	$0,89\pm0,07$
6	5h	1,44±0,14	$0,31\pm0,01$
7	5i	$0,88\pm0,09$	$0,71 \pm 0,07$
8	5j	0,61±0,05	$0,76\pm0,06$
9	5k	0,45±0,04	3,75±102
10	5l	2,02±0,17	2,22±0,06
11	5m	1,53±0,13	4,63±1,16
12	6a	0,21±0,02	$0,43\pm0,07$
13	6b	1,06±0,05	0,36±0,04
14	6d	>100	4,55±1,08
15	6e	0,52±0,08	$0,46\pm0,05$
16	6f	0,54±0,11	1,75±0,14
17	6g	$0,28\pm0,02$	$0,48\pm0,02$
18	6i	3,48±0,25	>100
19	6g	1,15±0,16	0,76±0,12
20	6 l	0,93±0,12	0,79±0,15
21	6m	4,52±0,91	>100
22	6n	>100	>100
23	60	1,39±0,1	$0,74\pm0,09$
24	6p	0,52±0,08	$0,68\pm0,03$
25	6q	>100	$0,24\pm0,02$
26	6r	$0,56\pm0,04$	1,12±0,26
27	6s	$0,62\pm0,02$	$0,\!48\pm0,\!04$
28	6t	1,12±0,25	$1,67\pm0,25$
Левамизол		19,2±0,1	-
L-Фенилаланин		-	80,02±1,1

Примечание: Значения выражены, как среднее значение - SEM и n = 3. IC₅₀ - концентрация, при которой ингибируется 50% фермента.

Наличие атома фтора в фенильном кольце и его позиция оказывают значительное влияние на ингибирующую активность соединений. В ортозамещённом фторсодержащем соединении би наблюдалось полное отсутствие ингибирующей активности по отношению к h-TNAP и h-IAP, что может быть связано со стерическим препятствием в активном центре. В то же время метапроизводное бо проявило заметное ингибирование обоих изоферментов, а сравнение 6p позволило выявить влияние пространственного расположения заместителей. Особенно примечательным оказалось соединение ба, содержащее пара-трифторметоксигруппу, которое показало наивысшую селективность в отношении активность И h-IAP, вероятно, липофильности благоприятного сочетания И электронных эффектов. Производные с нитро - и циангруппами (6r-6t) также проявили ингибирование, но их эффективность уступала 6q. Таким образом, структурные особенности арильных заместителей существенно влияют на уровень и изоферментную избирательность ингибирования.

Таким образом, выявленные зависимости между структурой активностью подтверждают, что 2-арилзамещённые 7-(трифторметил)-5H-5оксо-1,3,4-тиадиазоло[3,2-а] пиримидины представляют собой перспективную структурную основу для селективного ингибирования щелочных фосфатаз. Дальнейшая оптимизация их структуры, направленная на усиление сродства и изоферментной селективности, может способствовать разработке эффективных терапевтических агентов. Проведённое молекулярное докинг-моделирование (на примере соединений ба и ба) позволило визуализировать предпочтительные конформации и ключевые взаимодействия лигандов с активными центрами h-TNAP и h-IAP, что подтверждает экспериментальные данные и служит основой для рационального дизайна новых ингибиторов. Для соединения ба, не содержащего заместителей в арильном кольце, было установлено, что его ориентация в активном центре h-TNAP способствует образованию устойчивых взаимодействий с ключевыми аминокислотными остатками, что объясняет его высокую ингибирующую активность. В случае соединения ба, содержащего

трифторметокси-группу (F₃CO) в пара-положении, моделирование показало, что его повышенная липофильность и стерические свойства обеспечивают оптимальное связывание с активным центром h-IAP. Трифторметокси-группа способствует образованию дополнительных гидрофобных взаимодействий, что усиливает сродство лиганда к ферменту и объясняет его селективность в отношении h-IAP. Результаты молекулярного моделирования подтвердили, что пространственная организация и электронные свойства заместителей в арильном кольце играют ключевую роль в определении эффективности и селективности ингибирования. Эти данные могут быть использованы для дальнейшей оптимизации структуры соединений с целью разработки более мощных и селективных ингибиторов щелочных фосфатаз.

3.4. Молекулярное моделирование взаимодействий (докинг) соединений ба и бо

Молекулярное моделирование стыковки (докинг) было проведено с целью анализа предпочтительной ориентации и характера взаимодействия наиболее активных соединений В активных центрах изоферментов человеческой тканеспецифической щелочной фосфатазы (h-TNAP) и кишечной щелочной фосфатазы (h-IAP). Такой подход позволил определить ключевые структурные факторы, ответственные за сродство И потенциальную ингибиторную активность исследуемых молекул по отношению к данным ферментам.

На рисунке 3.5 представлена модель предполагаемого комплекса между соединением ба и аминокислотными остатками активного центра фермента h-TNAP. Согласно результатам докинга, лиганд располагается в каталитической полости фермента в положении, оптимальном для образования устойчивых межмолекулярных контактов. Наиболее значимый вклад в стабилизацию комплекса вносят водородные связи и гидрофобные взаимодействия с рядом аминокислотных остатков, участвующих в каталитической функции фермента.

В частности, функциональные группы соединения ба образуют направленные водородные связи с полярными остатками, расположенными в

непосредственной близости от активного центра, что обеспечивает точное позиционирование лиганда в каталитической щели. При этом ароматический фрагмент молекулы участвует в π – π -стэкинг-взаимодействиях с ароматическими аминокислотными остатками (например, HIS и PHE), что дополнительно повышает стабильность комплекса.

Энергетические параметры стыковки (значения свободной энергии связывания) указывают на высокое сродство соединения ба к ферменту h-TNAP, что согласуется с экспериментальными данными о его активности. Таким образом, проведённое моделирование позволило не только определить основные типы взаимодействий между лигандом и белком, но и выявить участки фермента, наиболее значимые для связывания, что может быть использовано при дальнейшем рациональном дизайне ингибиторов щелочных фосфатаз.

Согласно результатам моделирования, образуется семь значимых межмолекулярных контактов, включая четыре водородные связи (обозначены зелёными пунктирными линиями) и три π - π -взаимодействия (розовые линии). Карбонильная группа пиримидинового пунктирные фрагмента формирует водородные связи с остатками His154 и Arg167. Кроме того, атомы азота тиадиазольного и пиримидинового колец участвуют в образовании водородных связей с Arg151 и His434 соответственно. Такое множественное взаимодействие различных функциональных групп молекулы ба с ключевыми аминокислотами активного центра h-TNAP, по-видимому, обуславливает её выраженную ингибирующую активность. Исследования молекулярной стыковки соединения 6q с моделью активного центра кишечной щелочной фосфатазы (h-IAP) (рисунок 3.6) показали наличие трёх устойчивых π-π-взаимодействий водородных связей И четырёх ключевыми аминокислотными остатками фермента. В частности, π – π -взаимодействия были обнаружены между ароматическими кольцами фенильным, пиримидиновым и тиадиазольным соединения 6q и остатками His320 и His317. Карбонильная группа 6q формирует две водородные связи с остатками Arg150 и His153, в то

время как дополнительная водородная связь вовлекает атом кислорода боковой взаимодействие. Совокупность аналогичное ЭТИХ свидетельствует о высокой степени комплементарности соединения 6q к вероятно, обусловливает активному центру h-IAP, что, высокую ингибирующую активность и селективность. Эти взаимодействия, наряду с повышенной липофильностью, обусловленной наличием трифторметоксигруппы, объясняют высокую селективность и ингибирующую активность отношении h-IAP. Полученные соединения 6 дв данные подчёркивают водородных связей и π - π -взаимодействий для стабилизации важность комплексов лиганд фермент и подтверждают ключевую роль структуры лиганда в определении его ингибирующей активности и селективности. Эти результаты могут быть использованы для дальнейшей оптимизации структуры соединений с целью разработки более эффективных И селективных ингибиторов щелочных фосфатаз. Атом кислорода метоксигруппы соединении 6q формирует дополнительную водородную связь с остатком Gln108, способствуя стабилизации комплекса лиганд фермент. Фторсодержащие заместители обоих соединений ба и бо участвуют в формировании специфичных взаимодействий c активными центрами изоферментов. При этом фтор в структуре 6q демонстрирует более выраженное сродство к h-IAP по сравнению с аналогичным взаимодействием в комплексе ба с h-TNAP. Эти особенности молекулярного связывания визуализированы на рисунках 3.5 и 3.6 подчёркивая различия в степени стабилизации комплексов.

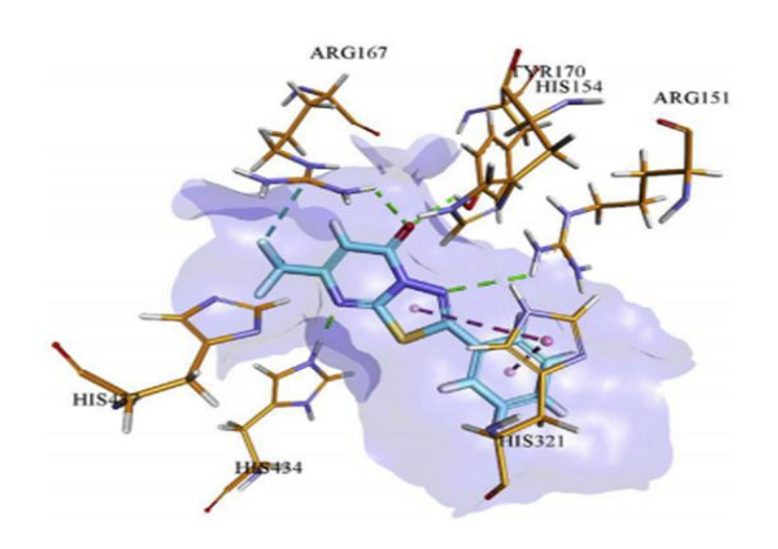


Рисунок 3.5. Модель предполагаемого связывания соединения 6а (голубой) с активным центром фермента h-TNAP (золотой). Водородные взаимодействия обозначены зелёными пунктирными линиями, π–π-взаимодействия – розовыми пунктирными линиями

В результате молекулярного моделирования установлено, что соединение **ба** надёжно фиксируется в активном центре фермента h-TNAP за счёт формирования ряда специфических межмолекулярных взаимодействий 3.6). Лиганд образует несколько (рисунок водородных связей аминокислотными остатками ARG151, ARG167, HIS321 и HIS434, что обеспечивает стабильную ориентацию молекулы в каталитической полости. Кроме ароматические соединения вовлечены τογο, кольца В π – π взаимодействия с остатками HIS154 и TYR170, усиливающими гидрофобное связывание. Такое сочетание полярных и π - π -взаимодействий способствует прочной фиксации соединения ба в активном центре и указывает на его потенциальную способность ингибировать фермент h-TNAP.

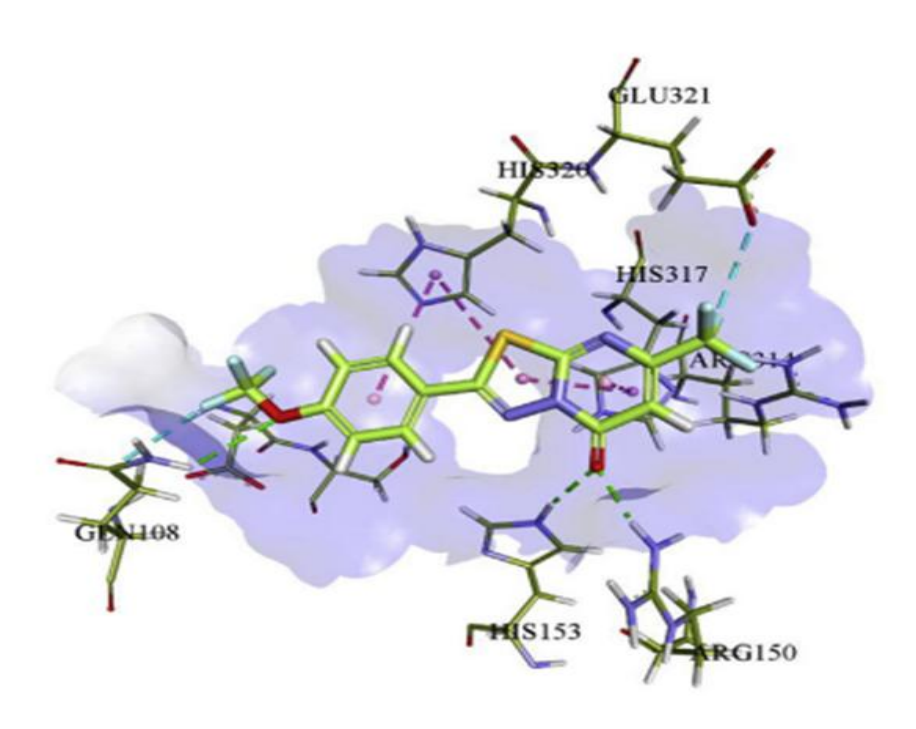


Рисунок 3.6. Модель предполагаемого связывания соединения 6q (светлозелёный) с активным центром фермента h-IAP (маслиновый). Водородные взаимодействия обозначены зелёными пунктирными линиями, π–π-взаимодействия – розовыми пунктирными линиями

Молекулярное моделирование показало, что соединение 6q прочно фиксируется в активном центре фермента человеческой кишечной щелочной фосфатазы (h-IAP) за счёт комплекса специфических межмолекулярных взаимодействий (рисунок 3.6). Результаты докинга свидетельствуют о том, что лиганд занимает устойчивое положение в каталитической полости фермента, что обеспечивается системой направленных водородных связей и гидрофобных контактов. В частности, молекула соединения формирует серию водородных связей с аминокислотными остатками GLU108, ARG150, HIS317, HIS326 и GLU321, которые стабилизируют ориентацию лиганда и способствуют его точному позиционированию вблизи активных центров.

Дополнительно ароматическая фрагмент соединения 6q вовлекается в π - π -взаимодействие с остатком HIS153, что способствует усилению гидрофобного связывания и дополнительной стабилизации комплекса. Такое взаимодействие играет важную роль в удержании лиганда в оптимальной конформации, предотвращая его смещение из активного центра. Анализ

межмолекулярных контактов указывает на то, что совокупность водородных, благоприятную электростатических взаимодействий создаёт энергетическую конфигурацию комплекса, при которой молекула бо надёжно фиксируется в каталитической полости фермента. Это позволяет предположить, что соединение обладает высокой сродством к h-IAP и потенциальной способностью ингибировать его каталитическую активность за счёт блокирования доступа субстрата к активному сайту. Таким образом, результаты молекулярного моделирования не только подтверждают структурную комплементарность между соединением 6q и ферментом h-IAP, но и демонстрируют механистическую основу их взаимодействия. Полученные данные могут служить основой для дальнейшего рационального дизайна более ингибиторов h-IAP, обладающих эффективных улучшенными фармакологическими характеристиками и избирательностью действия.

ВЫВОДЫ

- 1. Установлено, что 2-бромо-7-(трифторметил)-5H-5-оксо-1,3,4-тиадиазоло[3,2-а]пиримидин является универсальным исходным соединением для реакций нуклеофильного ароматического замещения (S_nAr) и кросс-сочетания по методу Сузуки–Мияуры, что подтверждает его широкие возможности для дальнейшей функционализации [4-A, 3-A, 5-A, 7-A, 10-A].
- 2. Синтезированные 2-замещённые производные характеризуются стабильностью и высокой выходностью, что подтверждает эффективность применённых методов синтеза и пригодность полученного ядра для дальнейших химико-биологических исследований [1-A, 3-A, 6-A, 10A, 14-A].
- 3. Фармакологическое исследование in vitro показало способность синтезированных соединений ингибировать изоформы щелочной фосфатазы (h-TNAP и h-IAP), при этом отмечена относительно низкая селективность между мишенями, что требует дальнейшей оптимизации молекулярной структуры для повышения специфичности действия [4-A, 6-A, 12-A, 14-A].
- 4. Соединения 5h и 6b выделены как наиболее перспективные кандидаты для разработки селективных ингибиторов щелочной фосфатазы и обладают потенциалом стать лид-структурами для создания терапевтических агентов [1-A, 2-A, 12-A, 13-A].
- 5. Молекулярное моделирование позволило идентифицировать ключевые аминокислотные остатки ферментов, вовлечённые во взаимодействие с ингибиторами, что обеспечивает понимание механизма связывания и создаёт основу для рационального дизайна более эффективных и селективных соединений, а также направляет дальнейшие исследования в области органической химии и молекулярного моделирования [2-A, 6-A,7-A, 5-A, 14-A].

Рекомендации по практическому использованию результатов

- 1. Синтезированные производные 2-бром-7-трифторметил-5H-1,3,4-тиадиазоло[3,2-а]пиримидина обладают ингибирующей активностью в отношении изоформ щелочной фосфатазы (h-TNAP и h-IAP). Эти соединения могут служить основой для разработки новых потенциальных ингибиторов фермента, особенно с учётом их высокой активности в микромолярном диапазоне. Результаты могут быть использованы на ранних стадиях поиска лекарственных кандидатов для лечения заболеваний, связанных с патологической активностью TNAP.
- 2. Проведённый молекулярный докинг позволил установить особенности взаимодействия активных соединений с каталитическим центром ферментов. Это даёт возможность использовать полученные структурные данные как основу для рационального дизайна и структурной модификации молекул с целью повышения селективности к патологически значимым изоформам щелочной фосфатазы. Прогнозируемое изменение заместителей в ключевых позициях поможет улучшить биологический профиль молекул и снизить возможную токсичность.
- 3. Перспективность использования соединений в доклинических испытаниях. Ряд соединений, полученных в ходе исследования, проявили выраженную активность в микромолярных концентрациях, что указывает на возможность их использования в дальнейшем для доклинической оценки эффективности. Эти соединения могут быть протестированы in vitro на различных клеточных линиях, а также in vivo в экспериментальных моделях, имитирующих патологические состояния, ассоциированные с избыточной активностью TNAP.
- 4. Возможность применения в фундаментальных биомедицинских исследованиях. Синтезированные тиадиазолопиримидины представляют интерес не только как потенциальные лекарственные средства, но и как инструменты для изучения роли щелочной фосфатазы в биологических процессах. Их можно использовать в модельных экспериментах для

- изучения механизма действия фермента, его регуляции, а также для оценки влияния ингибирования фермента на физиологические и патологические процессы.
- 5. Использование разработанных синтетических подходов в органическом и медицинском синтезе. Методы синтеза, разработанные и оптимизированные в ходе выполнения диссертационной работы (включая реакцию Сузуки-Мияуры), могут быть использованы для получения широкого спектра функционализированных гетероциклических соединений. Эти подходы применимы в практическом органическом синтезе, в том числе для создания библиотек соединений в рамках программ по высокопроизводительному скринингу потенциально биологически активных молекул.
- 6. Создание базы для разработки отечественных биоактивных соединений Проведённое исследование может стать частью долгосрочной стратегии национальной фармацевтической науки, направленной развития разработку биоактивных особенно новых молекул, ограниченными ресурсами. Полученные данные могут использоваться в образовательных, исследовательских и прикладных целях в рамках научных программ и при подготовке специалистов в области органической и медицинской химии.

СПИСОК ЛИТЕРАТУРЫ

- 1. Арутунян, А.А. Исследования в области синтеза пиримидинов и полициклических азагетероциклов. /А.А. Арутунян // дис. ... канд. хим. наук. Ереван: 2017, 247 с.
- 2. Куканиев, М.А. Синтез и химические превращения конденсированных производных 1,3,4-тиадиазола / М.А. Куканиев // дис. ... д-ра хим. наук. Душанбе: 1997, 463 с.
- 3. Куканиев, М.А. Химия и биологическая активность 1,3,4-тиадиазоло[3,2-а]пиримидина. /М.А. Куканиев, Т.М. Салимов, К.Х. Хайдаров // Москва: Спутник, 2004, -С. 157-159.
- 4. Куканиев, М.А. 1,3,4-тиадиазоло[3,2-а]пиримидины: синтез, свойства. / М.А. Куканиев, З.Г. Сангов, Р.О. Рахмонов, Ю. Хаджибаев, Т.М. Салимов, Н.М. Игидов // Душанбе, -2019, -С. 128-131.
- 5. Левин, Я.Ф. Конденсированные гетероциклы. Я.Ф. Левин, Н.Ф. Швинк, В.А. Кухтин // О продуктах конденсации этоксиметиленмалонового эфира с 2-аминотиазолами и 2-аминотиазолами // Докл. АН СССР, -1964. сер. хим. № 8, С. 1481–1484.
- 6. Павленко, А.А. Новые линейно связанные и конденсированные системы на основе 2-амино(бензо)тиазолов и их производных: дис. ... канд. хим. наук: -Воронеж: -2006. -С. 135.
- 7. Саид Вали Султан. Синтез и превращения полифункциональных производных 1,3,4-тиадиазоло[3,2-а]пиримидина: дис. ... канд. хим. наук: Душанбе: -2012. С. 107.
- 8. Сангов, З.Г. Синтез и антимикробная активность некоторых производных 1,3,4-тиадиазоло[3,2-а]пиримидина: дис. ... канд. хим. наук: -Душанбе: -2004. С. 114.
- 9. Шарипова, Р.Я. Синтез, превращения и свойства 2-бром-5-нитро-6-метилимидазо[2,1-b][1,3,4]тиадиазола: дис. ... канд. хим. наук: Душанбе. 2004. С. 104.

- 10.Agrofoglio L.A. Palladium-assisted routes to nucleosides / L.A. Agrofoglio, I. Gillaizeau, Y. Saito. //Chemical Reviews. 2003. –Vol. 103, No 5. –P. 1875–1916.
- 11.Alam, S.N. Intestinal alkaline phosphatase prevents antibiotic-induced susceptibility to enteric pathogens / S.N. Alam, H. Yammine, O. Moaven, R. Ahmed, A. K Moss, B. Biswas, N. Muhammad, R. Biswas, A. Raychowdhury, K. Kaliannan, S. Ghosh, M. Ray, S.R. Hamarneh, S. Barua, N.S. Malo, A. K. Bhan, M. S. Malo, R. A. Hodin //Annals of Surgery. 2014. -Vol. 259, No 4. -P. 715–722.
- 12.Ali, A.T. The relationship between alkaline phosphatase activity and intracellular lipid accumulation in murine 3T3-L1 cells and human preadipocytes / A.T. Ali, C.B. Penny, J.E. Paiker, G. Psaras, F. Ikram, N.J. Crowther //Annals of Clinical Biochemistry. 2006, -Vol. 43, -Pt 3, -P. 207–213.
- 13.Allen, C.F. The structure of certain polyazaindenes. II. The product from ethyl acetoacetate and 3-amino-1,2,4-triazole / C.F. Allen, H.R. Beilfuss, Burness G.A., G.A. Reynolds, J.F. Tinker, J.A. VanAllan //J. Org. Chem. -1959, -Vol. 24, No 6, P. 779–787.
- 14.Al-Rashida, M. Therapeutic potential of alkaline phosphatase inhibitors / Al-Rashida M., Iqbal J. //Medicinal Research Reviews. -2014, -Vol. 34, No 4, P. 703–743.
- 15. Amatore, C. Kinetic data for the transmetallation/reductive elimination in palladium-catalyzed Suzuki-Miyaura reactions: Unexpected triple role of hydroxide ions used as base / C. Amatore, A. Jutand, G. Le Duc. // Chemistry A European Journal. 2011, -Vol. 17, No 8, P. 2492–2503.
- 16.Amatore, C. Mechanistic origin of antagonist effects of usual anionic bases (OH-, CO₃ ²⁻) as modulated by their countercations (Na⁺, Cs⁺, K⁺) in palladium-catalyzed Suzuki-Miyaura reactions / C. Amatore, A. Jutand, G. Le Duc. // Chemistry A European Journal. 2012, -Vol. 18, No 21, P. 6616–6625.
- 17. Amatore, C. Intimate mechanism of oxidative addition to zerovalent palladium complexes in the presence of halide ions and its relevance to the mechanism of

- palladium-catalyzed nucleophilic substitutions. / C. Amatore, A. Jutand, A. Suarez. //Journal of the American Chemical Society. 1993, -Vol. 115, No 21, P. 9531–9544.
- 18.Amatore, C. Mechanism of oxidative addition of palladium(0) with aromatic iodides in toluene, monitored at ultramicroelectrodes / C. Amatore, F. Pflüger. //Organometallic. 1990, -Vol. 9, No 8, P. 2276–2282.
- 19.Anderson, G.K, Kinetic and equilibrium studies of oxidative addition to platinum(II) and palladium (II) / G.K. Anderson, R.J. Cross // Chemical Society Reviews. 1980, -Vol. 9, No 2, P. 185–214.
- 20.Anderson, H.C. Matrix vesicles in osteomalacic hypophosphatasia bone contain apatite-like mineral crystals. / H.C. Anderson, H.H. Hsu, D.C Morris, K.N. Fedde, M.P. Whyte // The American Journal of Pathology. 1997, -Vol. 151, No. 6, P. 1555–1561.
- 21.Balasubramaniam, S. Perinatal hypophosphatasia presenting as neonatal epileptic encephalopathy with abnormal neurotransmitter metabolism secondary to reduced co-factor pyridoxal-5'-phosphate availability / S. Balasubramaniam, F. Bowling, K. Carpenter, J. Earl, J. Chaitow, J. Pitt, E. Mornet, D. Sillence, C. Ellaway // Journal of Inherited Metabolic Disease. 2010, -Vol. 33, No. 1, P. 25–33.
- 22.Barder, T.E. Catalysts for Suzuki-Miyaura coupling processes: scope and studies of the effect of ligand structure / T.E. Barder, S.D. Walker, J.R. Martinelli, S.L. Buchwald // Journal of the American Chemical Society. -2005, -Vol. 127, No 13, P. 4685–4696.
- 23.Barnard, C. Palladium-catalyzed C–C coupling: Then and now / C. Barnard // Platinum Metals Review. -2008, -Vol. 52, No 1, P. 38–45.
- 24.Baumgartner-Sigl, S. Pyridoxine-responsive seizures as the first symptom of infantile hypophosphatasia caused by two novel missense mutations (c.677T>C, p.M226T; c.1112C>T, p.T371I) of the tissue-nonspecific alkaline phosphatase gene / S. Baumgartner-Sigl, E. Haberlandt, S. Mumm, S. Scholl-Bürgi, C. Sergi, L. Ryan, K.L. Ericson, M.P. Whyte, W. Högler // Bone. -2007, -Vol. 40, No 6, P. 1655–1661.

- 25.Bentala, H. Removal of phosphate from lipid A as a strategy to detoxify lipopolysaccharide H. Bentala, W.R. Verweij, A. Huizinga-Van der Vlag, A.M. Van Loenen-Weemaes, D.K. Meijer, K. Poelstra // Shock. 2002, -Vol. 18, No. 6, P. 561–566.
- 26.Berman, H.M. The Protein Data Bank / H.M. Berman, Westbrook J., Z. Feng, G. Gilliland, T.N. Bhat, H. Weissig, I.N. Shindyalov, P.E. Bourne // Nucleic Acids Research. -2000, Vol. 28, No 1, P. 235–242.
- 27.Berthod, M. Modified BINAP: The How and the Why / M. Berthod, G. Mignani, G. Woodward, M. Lemaire // Chemical Reviews. -2005, -Vol. 105, No 5, P. 1801–1836.
- 28.Bhongade, B.A. Biological activities of imidazo[2,1-b][1,3,4]thiadiazole derivatives: A review / B.A. Bhongade, S. Talath, R.A. Gadad, A.K. Gadad // J. Saudi Chem. Soc. 2016, -Vol. 20, Suppl. 1,. P. 463–475.
- 29.Bilski, J. The role of intestinal alkaline phosphatase in inflammatory disorders of gastrointestinal tract / J. Bilski, A. Mazur-Bialy, D. Wojcik, J. Zahradnik-Bilska, B. Brzozowski, M. Magierowski, T. Mach, K. Magierowska, T. Brzozowski. // Mediators of Inflammation. -2017, -Vol. 2017, Article ID 9074601.
- 30.Braga, A.A.C. A theoretical study of the transmetalation process in the Suzuki-Miyaura cross-coupling of aryls / A.A.C. Braga, N.H. Morgon, G. Ujaque, A. Lledós, F. Maseras. // Journal of Organometallic Chemistry. -2006, -Vol. 691, No 21, P. 4459–4466.
- 31.Braga, A.A.C. Computational characterization of the role of the base in the Suzuki-Miyaura cross-coupling reaction / A.A.C. Braga, N.H. Morgon, G. Ujaque, F. Maseras. // Journal of the American Chemical Society. -2005, -Vol. 127, No 25, P. 9298–9307.
- 32. Braga, A.A.C. A DFT study of the full catalytic cycle of the Suzuki-Miyaura cross-coupling on a model system / A.A.C. Braga, G. Ujaque, F. Maseras. // Organometallics. -2006, -Vol. 25, No 15, P. 3647–3658.
- 33.Buchet, R. Multisystemic functions of alkaline phosphatases / R. Buchet, J.L. Millán, D. Magne. // Methods in Molecular Biology, -2013, -Vol. 1053, P. 27–51.

- 34. Boechat, G.A. Placental alkaline phosphatase in pediatric adrenocortical cancer / G.A. Boechat, S.T. Stinghen, G. Custodio, M.A. Pianovski, F.R. Figueiredo, J. Jenkins, G.P. Zambetti, R.C. Ribeiro, B.C. Figueiredo. // Journal of Pediatric Hematology/Oncology. -2011, -Vol. 33, No 2, P. 149–153.
- 35.Bortolato, M. Role of metal ions on the secondary and quaternary structure of alkaline phosphatase from bovine intestinal mucosa / M. Bortolato, F. Besson, B. Roux. // Proteins: Structure, Function, and Bioinformatics. -1999, -Vol. 37, No 2, P. 310–318.
- 36.Borosky, G.L. Mechanism of the reaction catalyzed by human placental alkaline phosphatase / G.L. Borosky. // The Journal of Physical Chemistry B. -2014, -Vol. 118, No 49, P. 14302–14313.
- 37. Calvin, G. Organopalladium compounds / G. Calvin, G.E. Coates. // Journal of the Chemical Society. -1960, P. 2008–2016.
- 38.Carrow, B.P. Distinguishing between pathways for transmetalation in Suzuki-Miyaura reactions / B.P. Carrow, J.F. Hartwig. // Journal of the American Chemical Society. -2011, -Vol. 133, No 7, P. 2116–2119.
- 39.Carrow, B.P. Distinguishing between pathways for transmetalation in Suzuki-Miyaura reactions / B.P. Carrow, J.F. Hartwig. // Journal of the American Chemical Society. -2011, -Vol. 133, No 7, P. 2116–2119.
- 40.Casado, A.L. On the Configuration Resulting from Oxidative Addition of RX to Pd(PPh3)4 and the Mechanism of the cis-to-trans Isomerization of [PdRX(PPh3)2] Complexes (R = Aryl, X = Halide) / A.L. Casado, P. Espinet. // Organometallics. -1998, -Vol. 17, No 5, P. 954–959.
- 41. Cauwels, A. Extracellular ATP drives systemic inflammation, tissue damage and mortality / A. Cauwels, E. Rogge, B. Vandendriessche, S. Shiva, P. Brouckaert // Cell Death & Disease. -2014, -Vol. 5, Article e1102.
- 42. Chang, T.C. Regulation of the expression of placental alkaline phosphatase in human choriocarcinoma cells / T.C. Chang, J.K. Wang, M.W. Hung, C.H. Chiao, L.C. Tsai, G.G. Chang // Biochemical Journal. -1994, -Vol. 303, Pt 2, P. 199–204

- 43.Clare, B.W. Carbonic anhydrase inhibitors. Part 86. A QSAR study on some sulfonamide drugs which lower intra-ocular pressure, using the ACE non-linear statistical method / B.W. Clare, C.T. Supuran // Eur. J. Med. Chem. -2000, -Vol. 35, P. 859–865
- 44.Cole, D.E.C. Neurogenetic aspects of hyperphosphatasia in Mabry syndrome / D.E.C. Cole, M.D. Thompson // Subcellular Biochemistry. -2015, -Vol. 76, P. 343–361
- 45.Cruz, T. Identification of altered brain metabolites associated with TNAP activity in a mouse model of hypophosphatasia using untargeted NMR-based metabolomics analysis / T. Cruz, M. Gleizes, S. Balayssac, E. Mornet, G. Marsal, J.L. Millán, M. Malet-Martino, L.G. Nowak, V. Gilard, C. Fonta // Journal of Neurochemistry. -2017, -Vol. 140, No 5, P. 919–940
- 46.De, A. Serum alkaline phosphatase in oral potentially malignant disorders and oral squamous cell carcinoma: A cross-sectional study / A. De, R. Puttannavar, F. Rahman, A. Adak, R. Sahoo, B.S.R. Prakash // Journal of Oral and Maxillofacial Pathology. -2018, -Vol. 22, No 3, P. 445–446
- 47.De Roo, M.G. Infantile hypophosphatasia without bone deformities presenting with severe pyridoxine-resistant seizures / M.G. De Roo, N.G. Abeling, C.B. Majoie, A.M. Bosch, J.H. Koelman, J.M. Cobben, M. Duran, B.T. Poll-The // Molecular Genetics and Metabolism. -2014, -Vol. 111, No 3, P. 404–407
- 48.Diaz-Hernandez, M. Tissue-nonspecific alkaline phosphatase promotes the neurotoxicity of extracellular tau / M. Diaz-Hernandez, A. Gomez-Ramos, A. Rubio, R. Gomez-Villafuertes, J.R. Naranjo, M.T. Miras-Portgal, J. Avila // The Journal of Biological Chemistry. -2010, -Vol. 285, No 42, P. 32539–32548
- 49.Diaz-Hernandez, M. Tissue non-specific alkaline phosphatase promotes axonal growth of hippocampal neurons / M. Diaz-Hernandez, F. Hernandez, M.T. Miras-Portugal, J. Avila // Molecular Biology of the Cell, -2015, -Vol. 26, No 3, P. 375–387
- 50.Düfert, M.A. Suzuki-Miyaura Cross-Coupling of Unprotected, Nitrogen-Rich Heterocycles: Substrate Scope and Mechanistic Investigation / M.A. Düfert, K.L.

- Billingsley, S.L. Buchwald // Journal of the American Chemical Society. -2013, -Vol. 135, No 34, P. 12877–12885
- 51. Đokic-Lisanin, M. Values of alkaline phosphatase and their isoenzyme profiles in patients with cancer in respect to bone and liver metastasis / M. Đokic-Lisanin, V. Pantovic, Z. Jovanovic, G. Samardzic, V. Jurisic // Archives of Oncology. -2013, Vol. 21, No 1-2, P. 14–16
- 52.Doria, G. Synthesis and anti-inflammatory activity of 5-oxo-5H-1,3,4-thiadiazolo[3,2-a]pyrimidine-6-carboxamides / G. Doria, C. Passaratti, R. Magrini, M. Tibolla, A. Buttinoni, M. Ferrari, L. Tremolada // Farmaco Ed. Sci. 1986, -Vol. 41, No 10, P. 737–746
- 53. Estève, D. Alkaline phosphatase and mineralization in adipose-derived stem cells / D. Estève, J. Galitzky, A. Bouloumié, C. Fonta, R. Buchet, D. Magne // Stem Cells International. -2016, -Vol. 2016, Article ID 1604157, P. 1–10
- 54.Farah, H.S. Serum alkaline phosphatase isoenzymes in patients with chronic liver disease / H.S. Farah, A.A. Al-Atoom, G.M. Shehab // Jordan Journal of Biological Sciences. -2012, -Vol. 5, No 2, P. 125–130
- 55. Fawley, J. Intestinal alkaline phosphatase: a review of this enzyme role in the intestinal barrier function / J. Fawley, D.M. Gourlay // Journal of Surgical Research. -2016, -Vol. 202, No 2, P. 225–234
- 56.Fedde, K.N. Alkaline phosphatase knock-out mice recapitulate the metabolic and skeletal defects of infantile hypophosphatasia / K.N. Fedde, L. Blair, J. Silverstein, P. Coburn, L.M. Ryan, R.S. Weinstein, K. Waymire, S. Narisawa, J.L. Millán, G.R. MacGregor, M. P. Whyte // Journal of Bone and Mineral Research. 1999, -Vol. 14, No 12, P. 2015–2026
- 57.Fitton, P. Oxidative addition of aryl halides to palladium (0) / P. Fitton, M.E. Johnson, J.E. McKeon // Chemical Communications (London). -1968, -Vol. No 1, P. 6–7
- 58.Fitton, P. Oxidative additions to palladium (0) / P. Fitton, J.E. McKeon // Chemical Communications (London). -1968, -Vol. No 1, P. 4–5

- 59.Fleisch, H. Mechanism of calcification: inhibitory role of pyrophosphate / H. Fleisch, S. Bisaz // Nature. -1962, -Vol. 195, No 4843, P. 911
- 60.Geddes, K. A new role for intestinal alkaline phosphatase in gut barrier maintenance / K. Geddes, D.J. Philpott // Gastroenterology. -2008, -Vol. 135, -No 1, P. 8–12
- 61.Glennon, R.A. Mesoionic xanthine analogs: phosphodiesterase inhibitory and hypotensive activity / R.A. Glennon, M.E. Rogers, J.D. Smith, M.K. El-Said., J.L. Egle // J. Med. Chem. -1981, -Vol. 24, P. 658–661.
- 62. Glennon, R. A. Mesoionic xanthine analogs: antagonists of adenosine receptors / R. A. Glennon, S. M. Tejani-Butt, W. Padgett, J. W. Daly // *J. Med. Chem.* 1984. Vol. 27. P. 1364–1367.
- 63.Goldberg, R. F. Intestinal alkaline phosphatase is a gut mucosal defense factor maintained by enteral nutrition / R. F. Goldberg, W. G. Austen Jr., X. Zhang, G. Munene, G. Mostafa, S. Biswas, M. McCormack, K. R. Eberlin, J. T. Nguyen, H. S. Tatlidede, H. S. Warren, S. Narisawa, J. L. Millan, R. A. Hodin // *Proc. Natl. Acad. Sci. U. S. A.* 2008. Vol. 105, No. 9. P. 3551–3560.
- 64.Goossen, L. J. The mechanism of the modified Ullmann reaction / L. J. Goossen, D. Koley, H. L. Hermann, W. Thiel // *J. Am. Chem. Soc.* 2005. Vol. 127, No. 31. P. 11102–11114.
- 65.Goossen, L. J. The mechanism of the copper-free Sonogashira coupling reaction / L. J. Goossen, D. Koley, H. L. Hermann, W. Thiel // *Organometallics*. 2005. Vol. 24, No. 10. P. 2398–2410.
- 66.Goossen, L. J. Palladium-catalyzed coupling reactions of aryl chlorides with alkynes: a DFT study / L. J. Goossen, D. Koley, H. L. Hermann, W. Thiel // *Organometallics.* 2006. Vol. 25, No. 1. P. 54–67.
- 67.Gu, R. The prognostic value of alkaline phosphatase and lactate dehydrogenase in small cell lung cancer / R. Gu, Y. Sun // *J. Cancer Res. Ther.* 2018. Vol. 14, Suppl. P. S468–S473.
- 68.Harmey, D. Concerted regulation of inorganic pyrophosphate and osteopontin by Akp2, Enpp1, and Ank: an integrated model of the pathogenesis of mineralization

- disorders / D. Harmey, L. Hessle, S. Narisawa, K. A. Johnson, R. Terkeltaub, J. L. Millan // *Am. J. Pathol.* 2004. Vol. 164, No. 4. P. 1199–1209.
- 69.Harris, H. The human alkaline phosphatases: what we know and what we don't know / H. Harris // Clin. Chim. Acta. 1990. Vol. 186, No. 2. P. 133–150.
- 70.Hessle, L. Tissue-nonspecific alkaline phosphatase and plasma cell membrane glycoprotein-1 are central antagonistic regulators of bone mineralization / L. Hessle, K. A. Johnson, H. C. Anderson, S. Narisawa, A. Sali, J. W. Goding, R. Terkeltaub, J. L. Millan // *Proc. Natl. Acad. Sci. U. S. A.* 2002. Vol. 99, No. 14. P. 9445–9449.
- 71. Hoylaerts, M. F. Functional significance of calcium binding to tissue-nonspecific alkaline phosphatase / M. F. Hoylaerts, S. van Kerckhoven, T. Kiffer-Moreira, C. Sheen, S. Narisawa, J. L. Millan // *PLoS One.* 2015. Vol. 10, No. 3. Art. e0119874.
- 72.Idzko, M. Nucleotide signalling during inflammation / M. Idzko, D. Ferrari, H. K. Eltzschig // *Nature*. 2014. Vol. 509, No. 7500. P. 310–317.
- 73. Janssens, S. Role of Toll-like receptors in pathogen recognition / S. Janssens, R. Beyaert // *Clin. Microbiol. Rev.* 2003. Vol. 16, No. 4. P. 637–646.
- 74.Jeppsson, A. On the regulation of placental alkaline phosphatase / A. Jeppsson. Umeå: Umeå University, 1984. 50 p.
- 75.Johansson Seechurn, C. C. C. Palladium-catalyzed cross-coupling: a historical contextual perspective to the 2010 Nobel Prize / C. C. C. Johansson Seechurn, M. O. Kitching, T. J. Colacot, V. Snieckus // *Angew. Chem. Int. Ed.* 2012. Vol. 51, No. 21. P. 5062–5085.
- 76.Jutand, A. Rate and mechanism of oxidative addition of aryl halides to zerovalent palladium complexes: evidence of halide dissociation / A. Jutand, A. Mosleh // *Organometallics.* 1995. Vol. 14, No. 4. P. 1810–1817.
- 77. Katritzky, A. R. Synthesis and physicochemical properties of thiadiazolo[3,2-a]pyrimidinesulfonamides and thiadiazolo[3,2-a]triazinesulfonamides as candidates for topically effective carbonic anhydrase inhibitors / A. R. Katritzky,

- K. C. Caster, T. H. Maren, C. W. Conroy, A. Bar-Ilan // J. Med. Chem. 1987. Vol. 30. P. 2058–2062.
- 78.Kellett, K. A. B. The role of tissue-nonspecific alkaline phosphatase (TNAP) in neurodegenerative diseases: Alzheimer's disease in focus / K. A. B. Kellett, N. M. Hooper // Subcell. Biochem. 2015. Vol. 76. P. 363–374.
- 79.Kiffer-Moreira, T. Catalytic signature of a heat-stable, chimeric human alkaline phosphatase with therapeutic potential / T. Kiffer-Moreira, C. R. Sheen, K. C. Gasque, M. Bolean, P. Ciancaglini, A. van Elsas, M. F. Hoylaerts, J. L. Millan // *PLoS One.* 2014. Vol. 9, No. 2. Art. e89374.
- 80.Kim, Y. M. A new synthetic route to 2-arylbenzofurans based on the palladium-catalyzed intramolecular Heck reaction / Y. M. Kim, S. Yu // *J. Am. Chem. Soc.* 2003. Vol. 125, No. 7. P. 1696–1697.
- 81.Kukaniev, M. A. Synthesis and conversion of 6-fluoro derivatives of 1,3,4-thiadiazolo[3,2-a]pyrimidine / M. A. Kukaniev, C. Párkányi // *J. Heterocycl. Chem.* 2011. Vol. 48, No. 6. P. 1308–1311.
- 82.Kuo, T. R. Bone biomarker for the clinical assessment of osteoporosis: recent developments and future perspectives / T. R. Kuo, C. H. Chen // *Biomarker Research*. 2017. Vol. 5. Art. 18.
- 83.Komoda, T. The function of carbohydrate moiety and alteration of carbohydrate composition in human alkaline phosphatase isoenzymes / T. Komoda, Y. Sakagishi // *Biochim. Biophys. Acta (BBA) Enzymology.* 1978. Vol. 523, No. 2. P. 395–406.
- 84.Kornis, G. Reaction of beta-keto esters with 2-amino-1,3,4-thiadiazoles. A reinvestigation / G. Kornis, P. J. Marks, C. G. Chidester // *J. Org. Chem.* 1980. Vol. 45. P. 4860–4863.
- 85.Kozlenkov, A. Residues determining the binding specificity of uncompetitive inhibitors to tissue-nonspecific alkaline phosphatase / A. Kozlenkov, M. H. le Du, P. Cuniasse, T. Ny, M. F. Hoylaerts, J. L. Millán // *J. Bone Miner. Res.* 2004. Vol. 19, No. 11. P. 1862–1872.

- 86.Lallès, J. P. Intestinal alkaline phosphatase: multiple biological roles in maintenance of intestinal homeostasis and modulation by diet / J. P. Lallès // *Nutr. Rev.* 2010. Vol. 68, No. 6. P. 323–332.
- 87.Lallès, J. P. Intestinal alkaline phosphatase: multiple biological roles in maintenance of intestinal homeostasis and modulation by diet / J. P. Lallès // *Nutr. Rev.* 2014. Vol. 72, No. 2. P. 82–94.
- 88.Lallès, J. P. Intestinal alkaline phosphatase: novel functions and protective effects / J. P. Lallès // *Nutr. Rev.* 2014. Vol. 72, No. 2. P. 82–94.
- 89.Langer, D. The ectonucleotidases alkaline phosphatase and nucleoside triphosphate diphosphohydrolase 2 are associated with subsets of progenitor cell populations in the mouse embryonic, postnatal and adult neurogenic zones / D. Langer, Y. Ikehara, H. Takebayashi, R. Hawkes, H. Zimmermann // *Neuroscience*. 2007. Vol. 150, No. 4. P. 863–879.
- 90.Lauer, R. F. Cyclic condensation of 2-amino-1,3,4-thiadiazole with 1,3-dicarbonyl compounds / R. F. Lauer, G. J. Zenchoff // *J. Heterocycl. Chem.* 1977. Vol. 13, No. 2. P. 291–293.
- 91.le Du, M. H. Structural evidence of functional divergence in human alkaline phosphatases / M. H. le Du, J. L. Millán // *J. Biol. Chem.* 2002. Vol. 277, No. 51. P. 49808–49814.
- 92.L-Rashida, M. Inhibitors of alkaline phosphatase: therapeutic and diagnostic implications / M. L-Rashida, J. Iqbal // *Mini-Rev. Med. Chem.* 2015. Vol. 15, No. 1. P. 41–51.
- 93. le Du, M. H. Crystal structure of alkaline phosphatase from human placenta at 1.8 Å resolution. Implication for a substrate specificity / M. H. le Du, T. Stigbrand, M. J. Taussig, A. Menez, E. A. Stura // *J. Biol. Chem.* 2001. Vol. 276, No. 12. P. 9158–9165.
- 94.Lee, B. H. Anthelmintic β-hydroxyketoamides (BKAs) / B. H. Lee, M. F. Clothier, F. E. Dutton, G. A. Conder, S. Johnson // *Bioorg. Med. Chem. Lett.* 1998. Vol. 8. P. 3317–3320.

- 95.Lin, S. Placental alkaline phosphatase (PLAP) in sera of pregnant women infected with *Trypanosoma cruzi* / S. Lin, M. J. Sartori, L. Mezzano, S. P. de Fabro // *Placenta*. 2005. Vol. 26, No. 10. P. 789–792.
- 96.Linglart, A. Hypophosphatasia / A. Linglart, M. Biosse-Duplan // Curr. Osteoporos. Rep. 2016. Vol. 14, No. 3. P. 95–105.
- 97. Llinas, P. Structural studies of human placental alkaline phosphatase in complex with functional ligands / P. Llinas, E. A. Stura, A. Menez, Z. Kiss, T. Stigbrand, J. L. Millán, M. H. le Du // *J. Mol. Biol.* 2005. Vol. 350, No. 3. P. 441–451.
- 98.Lomashvili, K. A. Upregulation of alkaline phosphatase and pyrophosphate hydrolysis: potential mechanism for uremic vascular calcification / K. A. Lomashvili, P. Garg, S. Narisawa, J. L. Millán, W. C. O'Neill // *Kidney Int.* 2008. Vol. 73, No. 9. P. 1024–1030.
- 99. Malo, M. S. Intestinal alkaline phosphatase promotes gut bacterial growth by reducing the concentration of luminal nucleotide triphosphates / M. S. Malo, O. Moaven, N. Muhammad, B. Biswas, S. N. Alam, K. P. Economopoulos, S. S. Gul, S. R. Hamarneh, N. S. Malo, A. Teshager, M. M. R. Mohamed, Q. Tao, S. Narisawa, J. L. Millán, E. L. Hohmann, H. S. Warren, S. C. Robson, R. A. Hodin // Am. J. Physiol. Gastrointest. Liver Physiol. 2014. Vol. 306, No. 10. P. G826–G838.
- Malo, M. S. Intestinal alkaline phosphatase promotes gut bacterial growth by reducing the concentration of luminal nucleotide triphosphates / M. S. Malo, O. Moaven, N. Muhammad, B. Biswas, S. N. Alam, K. P. Economopoulos, S. S. Gul, S. R. Hamarneh, N. S. Malo, A. Teshager, M. M. R. Mohamed, Q. Tao, S. Narisawa, J. L. Millán, E. L. Hohmann, H. S. Warren, S. C. Robson, R. A. Hodin // Am. J. Physiol. Gastrointest. Liver Physiol. 2014. Vol. 306, No. 10. P. G826–G838.
- 101. Martin, A. R. Palladium-catalyzed cross-coupling reactions of organoboronic acids with organic electrophiles / A. R. Martin, Y. Yang // *Acta Chem. Scand.* 1993. Vol. 47. P. 221–230.

- 102. Martin, D. L. Are GAD65 and GAD67 associated with specific pools of GABA in brain? / D. L. Martin, K. E. Barke // *Perspect. Dev. Neurobiol.* 1998. Vol. 5, No. 2–3. P. 119–129.
- 103. Martin, R. Palladium-catalyzed Suzuki–Miyaura cross-coupling reactions employing dialkylbiaryl phosphine ligands / R. Martin, S. L. Buchwald // *Acc. Chem. Res.* 2008. Vol. 41, No. 11. P. 1461–1473.
- 104. McQuillin, F. J. Transition Metal Organometallics for Organic Synthesis / F. J. McQuillin, D. G. Parker, G. R. Stephenson. Cambridge: Cambridge University Press, 1991. 440 p.
- 105. Millán, J. L. Mammalian alkaline phosphatases: from biology to applications in medicine and biotechnology / J. L. Millán // Purinergic Signal. – 2006. – Vol. 2, No. 2. P. 335–341.
- 106. Millán, J. L. The role of phosphatases in the initiation of skeletal mineralization / J. L. Millán // *Calcif. Tissue Int.* 2013. Vol. 93, No. 4. P. 299–306.
- 107. Millán, J. L. Enzyme replacement therapy for murine hypophosphatasia / J. L. Millán, S. Narisawa, I. Lemire, T. P. Loisel, G. Boileau, P. Léonard, S. Gramatikova, R. Terkeltaub, N. P. Camacho, M. D. McKee, P. Crine, M. P. Whyte // J. Bone Miner. Res. 2008. Vol. 23, No. 6. P. 777–787.
- 108. Millán, J. L. Alkaline phosphatase and hypophosphatasia / J. L. Millán, M. P. Whyte // *Calcif. Tissue Int.* 2016. Vol. 98, No. 4. P. 398–416.
- Millán, J. L. Mammalian Alkaline Phosphatases: From Biology to Applications in Medicine and Biotechnology. – Weinheim; Chichester: Wiley-VCH, 2006. 337 p.
- 110. Miyaura, N. Cross-coupling reaction of organoboron compounds via base-assisted transmetalation / N. Miyaura // *J. Organomet. Chem.* 2002. Vol. 653, No. 1–2. P. 54–57.
- 111. Miyaura, N. Palladium-catalyzed cross-coupling reactions of organoboron compounds / N. Miyaura, A. Suzuki // *Chem. Rev.* 1995. Vol. 95, No. 7. P. 2457–2483.

- 112. Miyaura, N. A new stereospecific cross-coupling by the palladium-catalyzed reaction of 1-alkenylboranes with 1-alkenyl or 1-alkynyl halides / N. Miyaura, K. Yamada, A. Suzuki // *Tetrahedron Lett.* 1979. Vol. 20, No. 36. P. 3437–3440.
- 113. Miyaura, N. The palladium-catalyzed cross-coupling reaction of phenylboronic acid with haloarenes in the presence of bases / N. Miyaura, T. Yanagi, A. Suzuki // *Synth. Commun.* 1981. Vol. 11, No. 7. P. 513–519.
- 114. Mornet, E. Hypophosphatasia: the mutations in the tissue-nonspecific alkaline phosphatase gene / E. Mornet // *Hum. Mutat.* 2000. Vol. 15, No. 4. P. 309–315.
- 115. Moulin, P. Hypophosphatasia may lead to bone fragility: don't miss it / P. Moulin, F. Vaysse, E. Bieth, E. Mornet, I. Gennero, S. Dalicieux-Laurencin, C. Baunin, M. T. Tauber, J. P. Salles // Eur. J. Pediatr. 2009. Vol. 168, No. 7. P. 783–788.
- 116. Nageshwari, B. Human alkaline phosphatases in health and disease: a mini review / B. Nageshwari, M. Ramchander // *Int. J. Res. Pharm. Sci.* 2013. Vol. 3, No. 3. P. 371–379.
- 117. Neale, F. C. The heat stability of human placental alkaline phosphatase / F. C. Neale, J. S. Clubb, D. Hotchkis, S. Rosen // *J. Clin. Pathol.* 1965. Vol. 18. P. 359–363.
- 118. Nunes, M. L. Pyridoxine-dependent seizures associated with hypophosphatasia in a newborn / M. L. Nunes, F. Mugnol, I. Bica, R. M. Fiori // *J. Child Neurol.* 2002. Vol. 17, No. 3. P. 222–224.
- 119. Okabe, T. Reaction of 2-amino-5-substituted-1,3,4-thiadiazole with 1,3-dicarbonyl compound / T. Okabe, E. Taniguchi, K. Maekawa // *J. Fac. Agric. Kyushu Univ.* 1973. Vol. 17, No. 2. P. 195–202.
- 120. Olech, E. M. Identification of a molecular defect in a stillborn fetus with perinatal lethal hypophosphatasia using a disease-associated genome sequencing approach / E. M. Olech, T. Zemojtel, A. Sowińska-Seidler, P. N. Robinson, S. Mundlos, M. Karczewski // *Pol. J. Pathol.* 2016. Vol. 67, No. 1. P. 78–83.

- 121. O'Neill, L. A. J. The history of Toll-like receptors redefining innate immunity / L.A.J. O'Neill., D. Golenbock, A.G. Bowie // Nature Reviews Immunology. 2013. Vol. 13, No. 6, P. 453–460.
- 122. Orsaria, M. Placental alkaline phosphatase (PLAP) study in ovarian cancer patients / M. Orsaria, A. P. Londero, S. Marzinotto, C. Di Loreto, D. Marchesoni, L. Mariuzzi // Cancer Biomarkers. 2016. Vol. 17, No. 4. P. 479–488.
- 123. Owaki, A. Clinical significance of serum alkaline phosphatase in hemodialysis patients: a retrospective 5-year observational study / A. Owaki, D. Inaguma, A. Tanaka, H. Shinjo, S. Inaba, K. Kurata // Nephron Extra. 2017. Vol. 7, No. 2. P. 78–87.
- 124. Park, B. S. Recognition of lipopolysaccharide pattern by TLR4 complexes / B. S. Park, J. O. Lee // Experimental & Molecular Medicine. 2013. Vol. 45. Art. e66.
- 125. Paul, H. Ueber einige Umsetzungen von 2,5-diamino-1,3,4-thiadiazol mit β-ketocarbonsäureestern und mit Diketonen / H. Paul, A. Sitte // Monatshefte für Chemie. 1971. Vol. 102, No. 2. P. 550–557.
- 126. Percudani, R. The B6 database: a tool for the description and classification of vitamin B6-dependent enzymatic activities and of the corresponding protein families / R. Percudani, A. Peracchi // BMC Bioinformatics. 2009. Vol. 10. Art. 273.
- 127. Peters, E. Alkaline phosphatase protects against renal inflammation through dephosphorylation of lipopolysaccharide and adenosine triphosphate / E. Peters, S. Geraci, S. Heemskerk, M. J. Wilmer, A. Bilos, B. Kraenzlin, N. Gretz, P. Pickkers, R. Masereeuw // British Journal of Pharmacology. 2015. Vol. 172, No. 20. P. 4932–4945.
- 128. Pilgram, K. Bridgehead nitrogen heterocycles. I. 2H (and 4H)-Pyrimido[1,2-b]pyridazin-2(and 4)-one, 3H-Imidazo[1,2-b]pyridazin-2-one, and 7H-(1,3,4-)thiadiazolo[3,2-a]pyrimidin-7-one systems / K. Pilgram, G. Jerome, R. Kuderna, D. Skiles // The Journal of Organic Chemistry. 1971. Vol. 36, No. 23. P. 3506–3510.

- 129. Polshettiwar, V. Silica-supported palladium: Sustainable catalysts for cross-coupling reactions / V. Polshettiwar, C. Len, A. S. Fihri // Coordination Chemistry Reviews. 2009. Vol. 253, No. 21-22. P. 2599–2626.
- 130. Ravenni, N. A human monoclonal antibody specific to placental alkaline phosphatase, a marker of ovarian cancer / N. Ravenni, M. Weber, D. Neri // mAbs. 2014. Vol. 6, No. 1. P. 86–94.
- 131. Rao, S.R. Tumour-derived alkaline phosphatase regulates tumour growth, epithelial plasticity and disease-free survival in metastatic prostate cancer / S.R. Rao, A.E. Snaith, D. Marino, X. Cheng, S.T. Lwin, I.R. Orriss, F.C. Hamdy, C.M. Edwards // British Journal of Cancer. 2017. Vol. 116, No. 2. P. 227–236.
- 132. Russo, F. Synthesis of 1,3,4-thiadiazolo[3,2-α]pyrimidin-5-one and isomeric 7-one derivatives / F. Russo, A. Santagati, M. Santagati // J. Het. Chem. 1985. Vol. 22. P. 297–299.
- 133. Sahu, J. K. Synthesis of condensed pyrimidines: Reactions of heterocyclic amines with ethoxymethylene malonate and ethyl benzoylacete / J. K. Sahu, A. S. Nayak // Indian J. Chem. 1986. Vol. 25B, No. 6. P. 654–655.
- 134. Sartori, M. J. Placental alkaline phosphatase (PLAP) in tissues of pregnant women infected with Trypanosoma cruzi / M. J. Sartori, L. Mezzano, S. Lin, S. Munoz, P. de Fabro // Tropical Medicine & International Health. 2003. Vol. 8, No. 11. P. 832–840.
- 135. Savinov, A. Y. Transgenic overexpression of tissue-nonspecific alkaline phosphatase (TNAP) in vascular endothelium results in generalized arterial calcification / A. Y. Savinov, M. Salehi, M. C. Yadav, I. Radichev, J. L. Millán, O. V. Savinova // Journal of the American Heart Association. 2015. Vol. 4, No. 4. Art. e002499.
- 136. Sapir-Koren, R. Bone mineralization and regulation of phosphate homeostasis / R. Sapir-Koren, G. Livshits // IBMS BoneKEy. 2011. Vol. 8, No. 6. P. 286–300.
- 137. Sebastian-Serrano, A. Tissue-nonspecific alkaline phosphatase regulates purinergic transmission in the central nervous system during development and

- disease / A. Sebastian-Serrano, L. de Diego-Garcia, C. Martinez-Frailes, J. Avila, H. Zimmermann, J. L. Millán, M. T. Miras-Portugal, M. Diaz-Hernandez // Computational and Structural Biotechnology Journal. 2015. Vol. 13. P. 95–100.
- 138. Sebastian-Serrano, A. Neurodevelopmental alterations and seizures developed by mouse model of infantile hypophosphatasia are associated with purinergic signalling deregulation / A. Sebastian-Serrano, T. Engel, L. de Diego-Garcia, L. A. Olivos-Ore, M. Arribas-Blazquez, C. Martinez-Frailes, C. Pérez-Diaz, J. L. Millán, A. R. Artalejo, M. T. Miras-Portugal, D. C. Henshall, M. Diaz-Hernandez // Human Molecular Genetics. 2016. Vol. 25, No. 19. P. 4143–4156.
- 139. Semmelhack, M. F. Palladium-catalyzed coupling of aryl halides with organotin compounds / M. F. Semmelhack, L. S. Ryono // Tetrahedron Letters. 1973. Vol. 14, No. 30. P. 2967–2970.
- 140. Shafiee, A. Selenium heterocycles. 15. Reaction of 2-aminoselenazoles and 2-amino-1,3,4-selendiazoles with acetylenic compounds / A. Shafiee, I. Lalezari // Journal of Heterocyclic Chemistry. 1975. Vol. 12, No. 4. P. 675–681.
- 141. Sharma, U. Alkaline Phosphatase: An Overview. / U. Sharma, D. Ral, R. Prasad // Indian Journal of Clinical Biochemistry. 2014. Vol. 29, No. 3. P. 269–278.
- 142. Sharma, U. Alkaline Phosphatase: An Overview. / U. Sharma, D. Ral, R. Prasad // Indian Journal of Clinical Biochemistry. 2014. Vol. 29, No. 3. P. 260–276.
- 143. Sheen, C. R. Pathophysiological role of vascular smooth muscle alkaline phosphatase in medial artery calcification. / C. R. Sheen, P. Kuss, S. Narisawa, M. C. Yadav, J. Nigro, W. Wang, T. N. Chhea, E. A. Sergienko, K. Kapoor, M. R. Jackson, M. F. Hoylaerts, A. B. Pinkerton, W. C. O'Neill, J. L. Millan // Journal of Bone and Mineral Research. 2015. Vol. 30, No. 5. P. 824–836.
- 144. Shukurov, S. S. Interaction of 2-bromo-7-methyl-5-oxo-5H-1,3,4-thiadiazolo[3,2-α]pyrimidine with methylene-active compounds and acid hydrolysis of its products. / S. S. Shukurov, M. A. Kukaniev, I. M. Nasyrov, K. S.

- Zakharov, R. A. Karakhanov // Russian Chemical Bulletin. 1993. Vol. 42, No. 11. P. 1874–1878.
- 145. Shukurov, S. S. Synthesis and transformations of 2-(5-amino-(mercapto)-1,3,4-thiadiazolylthio)-7-methyl-5-oxo-5H-1,3,4-thiadiazolo[3,2-a]pyrimidines. / S. S. Shukurov, M.A. Kukaniev, I.M. Nasyrov, K.S. Zakharov, R.A. Karakhanov // Russ. Chem. Bull. 1993. Vol. 42. P. 1871–1874.
- 146. Silvent, J. Molecular evolution of the tissue-nonspecific alkaline phosphatase allows prediction and validation of missense mutations responsible for hypophosphatasia. / J. Silvent, B. Gasse, E. Mornet, J. Y. Sire // The Journal of Biological Chemistry. 2014. Vol. 289, No. 35. P. 24168–24179.
- 147. Silpa, L. Direct Access to Fluorinated Thiadiazolo[3,2-a]pyrimidin-7-one Systems. / L. Silpa, J. Petrignet, M. Abarbri // Synlett. 2014. Vol. 25, No. 13. P. 1827–1830.
- 148. Sicre, C. DFT study on the mechanism of the Suzuki-Miyaura cross-coupling reaction assisted by o-(dimethylamino)phenyl substituents. / C. Sicre, A. A. C. Braga, F. Maseras, M. M. Cid // Tetrahedron. 2008. Vol. 64, No. 32. P. 7437–7443.
- 149. Stec, B. Refined structures of placental alkaline phosphatase show a consistent pattern of interactions at the peripheral site. / B. Stec, A. Cheltsov, J. L. Millán // Acta Crystallographica Section F: Structural Biology and Crystallization Communications. 2010. Vol. 66, Pt 8. P. 866–870.
- 150. Stigbrand, T. Present status and future trends of human alkaline phosphatases. /
 T. Stigbrand // Progress in Clinical and Biological Research. 1984. Vol. 166.
 P. 3–14.
- 151. Stille, J. K. Mechanisms of oxidative addition of organic halides to Group 8 transition-metal complexes. / J. K. Stille, K. S. Y. Lau // Accounts of Chemical Research. 1977. Vol. 10, No. 12. P. 434–442.
- 152. Stinghen, S. T. Placental alkaline phosphatase as a biomarker of premalignant changes in the uterine cervix. / S. T. Stinghen, J. F. Moura, P. Zancanella, G. A. Rodrigues, M. A. Pianovski, E. Lalli, D. L. Arnold, J. C. Minozzo, L. G. Callefe,

- R. C. Ribeiro, B. C. Figueiredo // Journal of Biomedicine and Biotechnology. 2006. No. 1. Article ID 59527.
- 153. Straus, D. S. Anti-inflammatory actions of PPAR ligands: new insights on cellular and molecular mechanisms. / D. S. Straus, C. K. Glass // Trends in Immunology. 2007. Vol. 28, No. 12. P. 551–558.
- 154. Su, F. Beneficial effects of alkaline phosphatase in septic shock. / F. Su, R. Brands, Z. Wang, C. Verdant, A. Bruhn, Y. Cai, W. Raaben, M. Wulferink, J. L. Vincent // Critical Care Medicine. 2006. Vol. 34, No. 8. P. 2182–2187.
- 155. Suiko, M. Relationship between the structures and cytotoxic activities of 1,3,4-thiadiazolo[3,2-a]pyrimidines. / M. Suiko, S. Hayashida, S. Nakatsu // Agric. Biol. Chem. 1982. Vol. 46, No. 11. P. 2691–2695.
- 156. Suiko, M. Synthesis and antitumor activity of 2-alkaneshulfinyl (or alkanesulfonyl)-7-methyl-5H-1,3,4-thiadiazolo[3,2-a]pyrimidin-5-ones. / M. Suiko, K. Maekawa // Agric. Biol. Chem. 1977. Vol. 41, No. 10. P. 2047–2053.
- 157. Suiko, M. Mode of RNA synthesis inhibition by 1,3,4-thiadiazolo[3,2-a]pyrimidines. / M. Suiko, E. Taniguchi, K. Maekawa, M. Eto // Agric. Biol. Chem. 1980. Vol. 44, No. 8. P. 1923–1927.
- 158. Suiko, M. RNA synthesis inhibition by 1,3,4-thiadiazolo[3,2-a]pyrimidines. /
 M. Suiko, E. Taniguchi, K. Maekawa, M. Eto // Agric. Biol. Chem. 1979. Vol. 43. P. 741–746.
- 159. Suzuki, A. Recent advances in the cross-coupling reactions of organoboron derivatives with organic electrophiles, 1995–1998. / A. Suzuki // Journal of Organometallic Chemistry. 1999. Vol. 576, No. 1-2. P. 147–168.
- 160. Suzuki, A. Carbon–carbon bonding made easy. / A. Suzuki // Chemical Communications. 2005. No. 38. P. 4759–4763.
- 161. Suzuki, A. Cross-coupling reactions of organoboranes: An easy way to construct C–C bonds (Nobel Lecture). / A. Suzuki // Angewandte Chemie International Edition. 2011. Vol. 50, No. 30. P. 6722–6737.

- 162. Solomon, A. L. The role of placental alkaline phosphatase in the regulation of insulin-like growth factor binding protein-1 in pregnancy complicated by diabetes: PhD thesis. / A. L. Solomon // Manchester: University of Manchester. 2011. P. 282.
- 163. Takinami, H. The mutant (F310L and V365I) tissue-nonspecific alkaline phosphatase gene from hypophosphatasia. / H. Takinami, M. Goseki-Sone, H. Watanabe, H. Orimo, R. Hamatani, M. Fukushi-Irie, I. Ishikawa // Journal of Medical and Dental Sciences. 2004. Vol. 51, No. 1. P. 67–74.
- 164. Tsuji, T. Synthesis of two amidine derivatives by the Vilsmeier-Haack reaction of 3-amino-4(3H)-pyrimidinethiolone and their conversion into 5H-1,3,4-thiadiazolo[3,2-a]pyrimidin-5-ones. / T. Tsuji // Chem. Pharm. Bull. 1974. Vol. 22, No. 2. P. 471–472.
- 165. Tsuji, T. Convenient Synthesis of 2,7-Disubstituted 5H-1,3,4-Thiadiazolo[3,2-a]pyrimidin-5-ones and Related Compounds. / T. Tsuji, R. Takenaka // Bulletin of the Chemical Society of Japan. 1982. Vol. 55, No. 2. P. 637–638.
- 166. Tsuji, T. Syntheses and reactions of 3-amino-4(3H)-pyrimidones. / T. Tsuji, T. Ueda // Chem. Pharm. Bull. 1971. Vol. 19, No. 12. P. 2530–2533.
- 167. Tsuji, T. Syntheses and reactions of N-aminothiouracil and thiadiazolo[3,2-a]pyrimidinones. / T. Tsuji, Y. Otsuka // Chem. Pharm. Bull. 1978. Vol. 26, No. 9. P. 2765–2767.
- 168. Tuin, A. Role of alkaline phosphatase in colitis in man and rats. / A. Tuin, K. Poelstra, A. de Jager-Krikken, L. Bok, W. Raaben, M. P. Velders, G. Dijkstra // Gut. 2009. Vol. 58, No. 3. P. 379–387.
- 169. Urata, H. A novel and convenient method for the preparation of arylboron compounds. / H. Urata, M. Tanaka, T. Fuchikami // Chemistry Letters. 1987. Vol. 16, No. 4. P. 751–752.
- 170. Vallon, V. Adenosine and kidney function. / V. Vallon, B. Mühlbauer, H. Osswald // Physiological Reviews. 2006. Vol. 86, No. 3. P. 901–940.
- 171. Vrabel, L. A. Markedly increased circulating pyridoxal-5'-phosphate levels in hypophosphatasia. Alkaline phosphatase acts in vitamin B6 metabolism. / L. A.

- Vrabel, S. P. Coburn // The Journal of Clinical Investigation. 1985. Vol. 76, No. 2. P. 752–756.
- 172. Watts, N. L. Important the scope and understanding of the symmetric and asymmetric Suzuki coupling reaction: PhD thesis. / N. L. Watts // Norwich: University of East Anglia. 2012. P. 205.
- 173. Weber, T. J. Burden of disease in adult patients with hypophosphatasia: results from patient-reported outcome surveys. / T. J. Weber, E. K. Sawyer, S. Moseley, T. Odrljin, P. S. Kishnani // Metabolism: Clinical and Experimental. 2014. Vol. 65, No. 10. P. 1522–1530.
- 174. Whyte, M. P. Hypophosphatasia: an overview for 2017. / M. P. Whyte // Bone. 2017. Vol. 102. P. 15–25.
- 175. Whyte, M. P. Perinatal hypophosphatasia: tissue levels of vitamin B6 are unremarkable despite markedly increased circulating concentrations of pyridoxal-5'-phosphate. Evidence for an ectoenzyme role for tissue-nonspecific alkaline phosphatase. / M. P. Whyte, J. D. Mahuren, K. N. Fedde, F. S. Cole, E. R. B. McCabe, S. P. Coburn // The Journal of Clinical Investigation. 1988. Vol. 81, No. 4. P. 1234–1239.
- 176. Whyte, M. P. Vitamin B6: an overview. / M. P. Whyte, J. D. Mahuren, C. E. Shideler // American Journal of Medical Technology. 1983. Vol. 49, No. 1. P. 17–22.
- 177. Widdowson, D. A. Palladium catalysed Suzuki reactions of fluoroarenes. / D. A. Widdowson, R. // Chemical Communications. 2003. No. 5. P. 578–579.
- 178. Xiangyu, P. Serum alkaline phosphatase and mortality in patients on peritoneal dialysis. / P. Xiangyu, J. Zhao, Y. Wu // Clinical and Investigative Medicine. 2019. Vol. 42, No. 2. P. E47–E54.
- 179. Yadav, M. C. Loss of skeletal mineralization by the simultaneous ablation of PHOSPHO1 and alkaline phosphatase function: a unified model of the mechanisms of initiation of skeletal calcification. / M. C. Yadav, A. M. Simao, S. Narisawa, C. Huesa, M. D. McKee, C. Farquharson, J. L. Millán // Journal of Bone and Mineral Research. 2011. Vol. 26, No. 2. P. 286–297.

- 180. Yang, Y. Dynamic evolution of the LPS-detoxifying enzyme intestinal alkaline phosphatase in zebrafish and other vertebrates. / Y. Yang, A. M. Wandler, J. H. Postlethwait, K. Guillemin // Frontiers in Immunology. 2012. Vol. 3. Art. 314.
- 181. Yin, L. Carbon–carbon coupling reactions catalyzed by heterogeneous palladium catalysts. / L. Yin, J. Liebscher // Chemical Reviews. 2007. Vol. 107, No. 1. P. 133–173.
- 182. Zimmerman, A. E. Microdiversity of extracellular enzyme genes among sequenced prokaryotic genomes. / A. E. Zimmerman, A. C. Martiny, S. D. Allison // The ISME Journal. 2013. Vol. 7, No. 6. P. 1187–1199.
- 183. Zimmerman, H. Extracellular metabolism of ATP and other nucleotides. / H. Zimmerman // Naunyn-Schmiedeberg's Archives of Pharmacology. 2000. Vol. 362, No. 4-5. P. 299–309.
- 184. Zimmerman, H. Tissue-nonspecific alkaline phosphatase in the developing brain and in adult neurogenesis. / H. Zimmerman, D. Langer // Subcellular Biochemistry. 2015. Vol. 76. P. 61–84.

I. Статьи, опубликованные в изданиях, рекомендуемых ВАК при Президенте Республики Таджикистан

- [1-А] Мамадшоева С.С. О биологической активности производных 1,3,4-тиадиазоло[3,2-а]пиримидина / Халикова М.Дж., Мамадшоева С.С., Наимов И.З., Рахимов И.Ф., Куканиев М.А., Сафаров С.Ш // Медицинский вестник Национальной академии наук Таджикистана 2022. Т. XII, № 3. С. 108–116.
- [2-A] Мамадшоева С.С. Синтез и ингибирующее свойство 8замещенных-3-фторо-2-метил-бензо[4,5][1,3]тиазоло[3,2-а]пиримидинов / Амрохонов А. С., Мамадшоева С.С., Джафари Б., Халикова М. Дж., Саидов А. А., Рахимов И. Ф., Самихов Ш. Р., Лангер П.,. Сафаров С. Ш // Наука и инновация — 2022. С. 116—128.
- [3-А] Мамадшоева С.С. Получение 2-амино-7-(трифторметил)-5-оксо-5H-1,3,4-тиадиазоло[3,2-а]пиримидина / Халикова М.Дж., Наимов И.З., Сафаров С.Ш., Мамадшоева С.С., Джафари Б., Лангер П., Самихов Ш.Р //

- Вестник педагогического университета (Естественные науки). Издание Таджикского государственного педагогического университета им. С. Айни 2021. № 3–4 (11–12). С. 292–300.
- **[4-А] Мамадшоева С.С.** Щелочные фосфатазы нетрадиционные иммунные белки / Мамадшоева С.С., Джафари Б., Халикова М. Дж., Саидов А. А., Рахимов И. Ф., Самихов Ш. Р., Лангер П., Сафаров С. Ш // Наука и инновация 2021. № 4. С. 152–162.
- [5-А] Мамадшоева С.С. 7-(трифторметил)-5-оксо-5H-1,3,4-тиадиазоло[3,2-а]пиримидины как селективные ингибиторы щелочных фосфатаз (TNAP, IAP), энтопо-нуклеотидтрифосфат-гидролаз (ENTPDase 1,2,3,8), дипептидилпептидазы-4 (DPP-4) / Джафари Б., Мамадшоева С. С., Халикова М. Дж., Саидов А. А., Самихов Ш. Р., Лангер П., Сафаров С. Ш // Наука и инновация 2020. № 4. С. 222–231.
- [6-А] Мамадшоева С.С. Щелочные фосфатазы (APs), 2-замещённые-7- (трифторметил)-5-оксо-5H-1,3,4-тиадиазоло[3,2-а]пиримидины как ингибиторы фосфатазы: синтез, структура-активность, молекулярный докинг / Джафари Б., Мамадшоева С. С., Халикова М., Саидов А.А., Самихов Ш. Р., Рахимов И. Ф., Лангер П., Сафаров С. Ш // Вестник Таджикского национального университета. Серия естественных наук 2020. № 2. С. 177—186.
- [7-А] Мамадшоева С.С. Получение 2-арил-7-(трифторметил)-5-оксо-5Н-1,3,4-тиадиазоло[3,2-а]пиримидина / Мамадшоева С. С., Джафари Б., Халикова М. Дж., Наимов И. З., Самихов Ш. Р., Лангер П., Сафаров С. Ш. // Вестник Таджикского национального университета. Серия естественных наук 2020. № 4. С. 242—252.

П. Список работ в материалах международных конференций

[8-A] Мамадшоева С. С. Палладий каталитические реакции кросссочетания Сузуки Мияура для синтеза новых производных гетероциклических систем и их механизмы / Холов М.Ш., Мамадшоева С. С., Сафаров С. Ш // Материалы международной научно-практической конференции «Большие

данные и искусственный интеллект в развитии науки, промышленности и общества» (16–17 октября 2025 г). С. 443-445.

- [9-А] Мамадшоева С. С. Синтез, молекулярный докинг и изучение биологической активности 2-арилированные 12H-бензотиазоло[3,2-b]хиназолин-12-онов против моноаминоксидаз / Наимов И. З., Гайбизода М. К., Мамадшоева С. С., Сафаров С. Ш // Материалы международной научнопрактической конференции «Большие данные и искусственный интеллект в развитии науки, промышленности и общества» (16–17 октября 2025 г.). С. 392-395.
- [10-А] Мамадшоева С.С. Влияние структуры арилбороновых кислот и условий реакции на эффективность кросс-сочетания Сузуки—Мияуры при синтезе производных 2-бром-7-(трифторметил)-5H- [1,3,4]тиадиазоло[3,2-а]пиримидина / Мамадшоева С.С., Халикова С., Сафаров С.Ш // Материалы международной научно-практической конференции «Роль искусственного интеллекта в промышленности, энергетике, строительстве, транспорте, медицине, сельском хозяйстве, цифровизации экономики и инновационном развитии Таджикистана» посвящённой объявлению 2025—2030 годов «Годами развития цифровой экономики и инноваций» (2—3 мая 2025 года), С.138-142.
- [11-А] Мамадшоева С.С. 2-Бром-7-(трифторметил)—5H-5-оксо-1,3,4-тиадиазоло[3,2-а]пиримидин-8-хлор-2-метилбензотиазоло[3,2-а]пиримидин-4-он субстраты для палладий-катализируемой реакции кросс-сочетания Сузуки—Мияуры / Мамадшоева С. С., Холов М. Ш., Бехзод Д., Халикова М. Дж., Саидов А., Рахимов И., Самихов Ш. Р., Петер Л., Сафаров С. Ш. // Материалы III международной научнопрактической конференции на тему: «Развитие химической науки и области их применения», посвященной 80-летию памяти д.х.н., член-корр. нант, профессора Кимсанова Бури Хакимовича (10 ноября 2021 г). С. 91–97.
- [12-А] Мамадшоева С.С. Получение и ингибирующие свойства новых производных 2-бром-7-(трифторметил)-5H-5-оксо-1,3,4-тиадиазоло[3,2-а]пиримидина как потенциальных ингибиторов H-TNAP, H-IAP / Мамадшоева

С.С., Джафари Б., Халикова М.Дж., Карамбахшоев Х.З., Саидов А.А., Самихов Ш.Р., Лангер П., Сафаров С.Ш // Материалы II Международной научно-практической конференции «Роль женщин-ученых в развитии науки, инноваций и технологий» – 2021. С. 163–170.

[13-А] Мамадшоева С.С. Палладий-катализируемая реакция Сузуки-Мияуры для некоторых S- и N-содержащих гетероциклов / Амрохонов А.С., Мамадшоева С.С., Холов М.Ш., Бехзод Д., Халикова М.Дж., СамиховШ. Р., Петер Л., Сафаров С.Ш // Сборник статьей первой международной научно-практической конференции "Перспективы развития исследований в области химии координационных соединений и аспекты их применения", посвященной памяти профессора Баситовой Саодат Мухаммедовны, 80- летию со дня рождения и 60-летию педагогической и научно-исследовательской деятельности доктора химических наук, профессора Азизкуловой Онаджон Азизкуловны. (30-31 марта 2022 г) - С. 247–251.

[14-А] Мамадшоева С.С. Ингибирующие свойства 7-(трифторметил)-5-оксо-5н -1,3,4- тиадиазоло [3,2-а] пиримидинов / Джафари Б., Мамадшоева С. С., Наимов И. З., Халикова М. Дж., Саидов А. А., Самихов Ш. Р., Лангер П., Сафаров С. Ш // Международный симпозиум по инновационному развитию науки . 2020. - С. 209-211.